

อกินัณฑ์การ

สัญญาเลขที่ R25578073

สำนักหอสมุด

รายงานวิจัยฉบับสมบูรณ์

การประเมินสมรรถนะทางด้านเทคนิคและเศรษฐศาสตร์ของ ระบบผลิตไฟฟ้าด้วยเซลล์เชื้อเพลิงแบบอิสระ Technical Performance and Economic Assessment of Fuel Cell Stand-alone Power System

คณะผู้วิจัย สังกัด

- | | |
|--------------------------------|-----------------------------|
| 1. ดร. สุขฤทธิ์ สุขใจ | สังกัด วิทยาลัยพลังงานทดแทน |
| 2. ดร. ฉัตรชัย ศิริสัมพันธวงศ์ | สังกัด วิทยาลัยพลังงานทดแทน |
| 3. นายรัฐพร เงินมีศรี | สังกัด วิทยาลัยพลังงานทดแทน |
| 4. นายคงฤทธิ์ แม่นศิริ | สังกัด วิทยาลัยพลังงานทดแทน |

สำเนาห้องสมุด มหาวิทยาลัยนเรศวร	
วันลงทะเบียน.....	15 ก.ย. 2558
เลขทะเบียน.....	1683961X
เลขเรียกหนังสือ.....	ว 2431
	ป 451
	2558

สนับสนุนโดยงบประมาณแผ่นดิน มหาวิทยาลัยนเรศวร
ประจำปีงบประมาณ 2557

กิตติกรรมประกาศ

คณะกรรมการวิจัยโครงสร้างของคณ สำนักงานคณะกรรมการวิจัยแห่งชาติที่อนุเคราะห์เงินอุดหนุนการวิจัยพัฒนา สาขาวิชาวิทยาศาสตร์กายภาพและคณิตศาสตร์ งบประมาณแผ่นดินประจำปี 2557 และขอขอบคุณมหาวิทยาลัยนเรศวรที่สนับสนุนงานวิจัยอย่างจริงจังและต่อเนื่องมาโดยตลอด

ขอขอบคุณ ผู้ที่มีส่วนร่วมช่วยเหลือในการทดสอบ และเก็บข้อมูลทุกท่าน และขอขอบคุณเจ้าหน้าที่วิทยาลัยพลังงานทดแทนทุกท่านที่มีส่วนช่วยให้งานวิจัยนี้สำเร็จลุล่วงด้วยดี

ดร.สุขุม ศุภใจ



ชื่อโครงการ (ภาษาไทย)

(ภาษาอังกฤษ)

การประเมินสมรรถนะทางด้านเทคนิคและเศรษฐศาสตร์ของระบบผลิตไฟฟ้าด้วยเซลล์เชื้อเพลิงแบบอิสระ

Technical Performance and Economic Assessment of Fuel Cell Stand-alone Power System

ชื่อผู้วิจัย

- ดร. สุขฤตี สุขใจ
- ดร. อัตราชัย ศิริสัมพันธวงศ์
- นายรัฐพร เงินมีศรี
- นายคงฤทธิ์ แม้นศิริ

หน่วยงานที่สังกัด

ได้รับทุนอุดหนุนการวิจัยสาขา
งบประมาณแผ่นดิน ประจำปี
จำนวนเงิน

วิทยาลัยพลังงานทดแทน มหาวิทยาลัยนเรศวร ถ.พิษณุโลก-

นครสวรรค์ อ.เมือง จ.พิษณุโลก 65000

วิทยาศาสตร์กายภาพและคณิตศาสตร์

2557

355,900 บาท ระยะเวลาทำการวิจัย 1 ปี

ตั้งแต่ ตุลาคม 2556 – ธันวาคม 2557

บทคัดย่อ

การศึกษาวิจัยนี้มีวัตถุประสงค์เพื่อศึกษาสมรรถนะทางด้านเทคนิคและเศรษฐศาสตร์ของระบบผลิตไฟฟ้าด้วยเซลล์เชื้อเพลิงแบบอิสระ ซึ่งระบบผลิตเซลล์เชื้อเพลิง มีส่วนประกอบหลักประกอบด้วย เซลล์เชื้อเพลิง (Fuel Cell, FC) ขนาด 1,200 วัตต์ เครื่องแปลงกระแสไฟฟ้า (DC/AC inverter) และ ภาระไฟฟ้าแบบปรับค่าได้ (Variable AC Load) ในงานวิจัยนี้แบ่งการทดสอบออกเป็น 3 ตอนได้แก่ 1) การประเมินสมรรถนะทางด้านเทคนิคของระบบเซลล์เชื้อเพลิงแบบอิสระ 2) การพัฒนาแบบจำลองทางคณิตศาสตร์ของระบบเซลล์เชื้อเพลิง 3) การประเมินทางด้านเศรษฐศาสตร์ของระบบเซลล์เชื้อเพลิงแบบอิสระ จากผลการประเมินสมรรถนะทางด้านเทคนิคของระบบผลิตไฟฟ้าด้วยเซลล์เชื้อเพลิงแบบอิสระ พบว่าระบบผลิตไฟฟ้าด้วยเซลล์เชื้อเพลิงแบบอิสระมีประสิทธิภาพสูงสุดคิดเป็นร้อยละ 37 เมื่อเซลล์เชื้อเพลิงจ่ายไฟฟ้าที่กำลังไฟฟ้าระหว่าง 500 - 900 วัตต์ ในขณะที่ประสิทธิภาพของระบบจะประสิทธิภาพลดลงเมื่อเซลล์เชื้อเพลิงจ่ายไฟฟ้าที่กำลังไฟฟ้าสูงกว่า 900 วัตต์ ผลการวิจัยในส่วนที่ 2 แบบจำลองทางคณิตศาสตร์ของเซลล์เชื้อเพลิงที่พัฒนาขึ้นนั้นใช้วิธีเชมิ เอ้มไพริกัล (Semi-empirical method) ซึ่งสมการที่ใช้สำหรับ Semi-empirical เมื่อการเปรียบเทียบค่ากำลังไฟฟ้าที่ผลิตได้จากเซลล์เชื้อเพลิงจากแบบจำลองทางคณิตศาสตร์และผลทดสอบ พบร่วมกันที่ได้ไปในทิศทางเดียวกันและมีความแตกต่างกันไม่เกินร้อยละ 5 ซึ่งถือว่าอยู่ในเกณฑ์ที่ดี และในส่วนสุดท้ายทำการประเมินสมรรถนะทางด้านเศรษฐศาสตร์ของระบบผลิตไฟฟ้าด้วยเซลล์เชื้อเพลิงแบบอิสระ พบร่วมกันที่ดีและมีความต่อเนื่องกัน

การลงทุน 157,000 บาท ค่าสมมูลประจำปีของราคาระบบทลอดช่วงอายุการใช้งานของระบบ (ALCC) มีค่าเท่ากับ 23,797 บาท โดยระบบฯ มีต้นทุนการผลิตไฟฟ้า (COE) 7.58 บาทต่อกิโลวัตต์ชั่วโมง

คำสำคัญ: สมรรถนะทางด้านเทคนิค; เซลล์เชื้อเพลิง; ระบบอิสระ; การประเมินทางด้านเศรษฐศาสตร์

Abstract

The aims of this research were to evaluate the technical performance and economic assessment of standalone fuel cell system. The main component of system consists of 1,200 W fuel cell stack, DC/AC inverter and variable AC load. There are 3 parts of investigation in this research as follows; 1) the technical performances of standalone fuel cell system were evaluated. 2) The mathematical model of fuel cell system was developed. 3) The economics of standalone fuel cell system were studied. From the results of the first part, they were found that the maximum efficiency of standalone fuel cell system is 37% when the power outputs of fuel cell are 500 Watt – 900 Watt. Whereas, the efficiency of standalone fuel cell system will decrease when the power output of fuel cell is higher than 900 Watts. The second part of this research, the semi-empirical model was used for fuel cell mathematical model. The model validations between the simulation and the experiment give a relative difference less than 5%. The last part of this research, the economic evaluation presented the capital cost, annuity (ALCC), and cost of energy (COE) of a fuel cell stand-alone Power System were 157,000 Baht, 23,797 Baht and 7.58 Baht/kWh, respectively.

Keywords: Technical Performance; Fuel Cell; Standalone system; Economic Assessment

สารบัญ

	หน้า
บทที่ 1	1
บทนำ.....	1
ความสำคัญและที่มาของปัญหา.....	1
วัตถุประสงค์ของโครงการวิจัย.....	2
ประโยชน์ที่ได้รับจากโครงการวิจัย.....	2
ขอบเขตของโครงการวิจัย	3
บทที่ 2	4
ทฤษฎีและงานวิจัยที่เกี่ยวข้อง	4
ประวัติของเซลล์เชื้อเพลิง	4
พัฒนาของเซลล์เชื้อเพลิง.....	4
ข้อดีของเซลล์เชื้อเพลิง.....	6
การประยุกต์ใช้งานเซลล์เชื้อเพลิง.....	6
กรอบแนวความคิดของโครงการ.....	9
การทบทวนวรรณกรรม/สารสนเทศ (Information) ที่เกี่ยวข้อง	10
บทที่ 3	14
วิธีดำเนินการวิจัย.....	14
ตอนที่ 1 การประเมินสมรรถนะทางด้านเทคนิคของระบบเซลล์เชื้อเพลิงแบบอิสระ	14
ตอนที่ 2 การพัฒนาแบบจำลองทางคณิตศาสตร์ของระบบเซลล์เชื้อเพลิง.....	20
ตอนที่ 3 การประเมินด้านเศรษฐศาสตร์ของระบบเซลล์เชื้อเพลิงแบบอิสระ	25
บทที่ 4	28
ผลการทดสอบ และการวิเคราะห์ข้อมูล.....	28
ตอนที่ 1 ผลการประเมินสมรรถนะทางด้านเทคนิคของระบบเซลล์เชื้อเพลิงแบบอิสระ	28
ตอนที่ 2 การพัฒนาแบบจำลองทางคณิตศาสตร์ของระบบเซลล์เชื้อเพลิง.....	34
ตอนที่ 3 การประเมินทางด้านเศรษฐศาสตร์ของระบบเซลล์เชื้อเพลิงแบบอิสระ.....	38
บทที่ 5	40
สรุปและข้อเสนอแนะ.....	40
บรรณานุกรม	42

สารบัญภาพ

	หน้า
รูปที่ 1 การปลดปล่อยก๊าซคาร์บอนไดออกไซด์ของโลกในปี 2578	1
รูปที่ 2 ประวัติของไฮโดรเจนและเซลล์เชื้อเพลิง.....	5
รูปที่ 3 แสดงการทำงานของเซลล์เชื้อเพลิง.....	5
รูปที่ 4 โครงสร้างของเซลล์เชื้อเพลิง	6
รูปที่ 5 รถยนต์เซลล์เชื้อเพลิงจากบริษัท BMW	7
รูปที่ 6 เซลล์เชื้อเพลิงแบบพกพาสำหรับ PDA ของบริษัท Motorola	7
รูปที่ 7 เซลล์เชื้อเพลิงแบบ Residential ที่ทดสอบโดย Japan Gas Association	8
รูปที่ 8 Schematic of future moon base, including a regenerative fuel cell	8
รูปที่ 9 แผนภาพแสดงการทำงานของระบบผลิตไฟฟ้าจากเซลล์เชื้อเพลิง.....	9
รูปที่ 10 ระบบเซลล์เชื้อเพลิงแบบอิสระ	14
รูปที่ 11 เครื่องแปลงกระแสไฟฟ้า	15
รูปที่ 12 การติดตั้งเครื่องมือวัดสำหรับระบบเซลล์เชื้อเพลิงแบบอิสระ	17
รูปที่ 13 จุดตรวจวัดสำหรับระบบเซลล์เชื้อเพลิงแบบอิสระ	18
รูปที่ 14 วงจรสมมูลของเซลล์เชื้อเพลิง.....	21
รูปที่ 15 การจำลองสภาพของภาระไฟฟ้า.....	28
รูปที่ 16 ความสัมพันธ์ระหว่างปริมาณการใช้ไฮโดรเจนกับกำลังไฟฟ้าที่ผลิตได้จากเซลล์เชื้อเพลิง.....	29
รูปที่ 17 ความสัมพันธ์ระหว่างกำลังไฟฟ้าที่ผลิตได้จากเซลล์เชื้อเพลิง กำลังไฟฟ้าที่จ่ายให้ภาระไฟฟ้า ...	30
รูปที่ 18 ความสัมพันธ์ระหว่างค่ากำลังไฟฟ้าที่ผลิตได้จากเซลล์เชื้อเพลิง	31
รูปที่ 19 ความสัมพันธ์ระหว่างค่ากำลังไฟฟ้าฯ กับประสิทธิภาพของเครื่องแปลงกระแสไฟฟ้า.....	32
รูปที่ 20 ความสัมพันธ์ระหว่างค่ากำลังไฟฟ้าฯ กับประสิทธิภาพของระบบฯ	33
รูปที่ 21 การสูญเสียพลังงานในรูปของระบบเซลล์เชื้อเพลิงฯ.....	33
รูปที่ 22 การหาพารามิเตอร์คงที่ด้วยวิธีการทำ Curve Fitting	35
รูปที่ 23 MATLAB/SIMULINK สำหรับเซลล์เชื้อเพลิง.....	35
รูปที่ 24 polarization curve และ P-I characteristic curve ของเซลล์เชื้อเพลิง	36
รูปที่ 25 Voltage drops ที่เกิดจากการสูญเสียในการเปลี่ยนรูปพลังงานของเซลล์เชื้อเพลิง.....	37
รูปที่ 26 การเปรียบเทียบกำลังไฟฟ้าที่ผลิตได้จากเซลล์เชื้อเพลิงระหว่างการทดสอบและแบบจำลอง	38

สารบัญตาราง

	หน้า
ตารางที่ 1 คุณสมบัติทางไฟฟ้าของเซลล์เชือเพลิง	15
ตารางที่ 2 คุณสมบัติทางไฟฟ้าของเครื่องแปลงกระแสไฟฟ้า	16
ตารางที่ 3 การจัดเก็บข้อมูลและตัวแปรที่ใช้สำหรับการทดสอบ	16
ตารางที่ 4 ตัวคูณปรับค่าเข้าสู่มูลค่าปัจจุบัน.....	26
ตารางที่ 5 อายุการใช้งานของอุปกรณ์และค่าบำรุงรักษาต่อปี.....	27
ตารางที่ 6 การลงทุนระบบเซลล์เชือเพลิงแบบอิสระ	38
ตารางที่ 7 การประเมินทางด้านเศรษฐศาสตร์ของระบบเซลล์เชือเพลิงแบบอิสระ.....	39

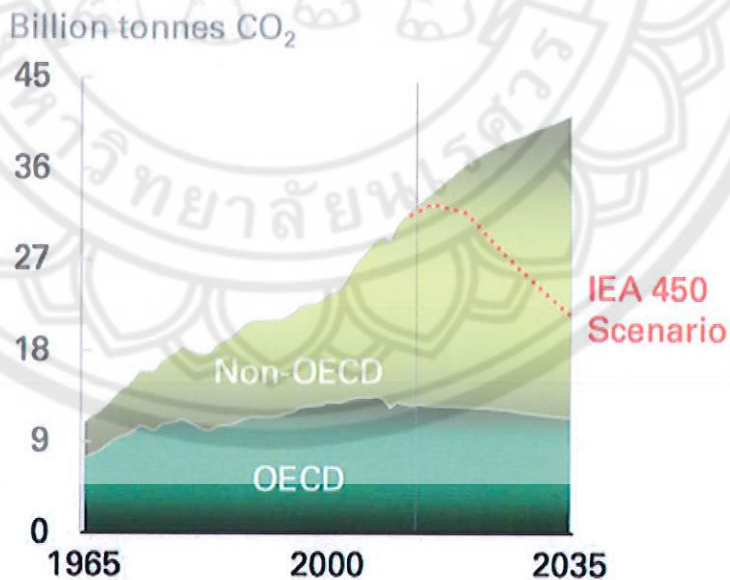


บทที่ 1

บทนำ

ความสำคัญและที่มาของปัญหา

สภาวะอากาศเปลี่ยนแปลง (Climate Change) รุนแรงขึ้นอย่างต่อเนื่อง ส่งผลให้เกิดความแปรปรวนของสภาพภูมิอากาศทั่วโลก ทั้งยังทำให้เกิดความหายใจอย่างใหญ่หลวงไม่ว่าจะเป็นการเกิดคลื่นความร้อนในทวีปยุโรปทำให้มีผู้เสียชีวิตจำนวนมาก พายุเฮอร์ริเคนที่ทำลายเมืองในประเทศไทย สร้างความเสียหายอย่างหนักในตลอดหลายปีที่ผ่านมา และเกิดความแห้งแล้งอย่างรุนแรงและยาวนานในทวีปแอฟริกา สำหรับประเทศไทยนั้นเกิดมหาอุทกภัยครั้งใหญ่ เหตุการณ์เหล่านี้จะทวีความรุนแรงมากยิ่งขึ้น หากยังมีการปล่อยก๊าซเรือนกระจกอย่างต่อเนื่อง นอกจากปัญหาสภาวะอากาศเปลี่ยนแปลงแล้ว ปัญหาหลักอีกประการได้แก่ การเพิ่มขึ้นของประชากรส่งผลต่อการใช้พลังงานเพิ่มขึ้นอย่างต่อเนื่อง โดยแหล่งพลังงานสำรองจากฟอสซิลที่เป็นแหล่งพลังงานหลักที่ใช้บันพันโลกล่มีปริมาณลดลงอย่างต่อเนื่องและจะหมดไปในอนาคตอันใกล้นี้ แม้ว่าปริมาณพลังงานสำรองจากฟอสซิลจะลดลงอย่างรวดเร็ว แต่ความต้องการใช้พลังงานกลับสูงขึ้นอย่างต่อเนื่องและรวดเร็ว เนื่องจากการเพิ่มของประชากร การเติบโตทางเศรษฐกิจและความก้าวหน้าทางเทคโนโลยี จึงส่งผลกระทบอย่างมากต่อสิ่งแวดล้อม เกิดการปล่อยก๊าซเรือนกระจก เพิ่มขึ้นอย่างรวดเร็ว และคาดการณ์ว่าในปี พ.ศ. 2578 จะมีปริมาณก๊าซเรือนกระจกมากกว่า 40,000 ล้านตันต่อปี



รูปที่ 1 ภาพถากการปลดปล่อยก๊าซcarbonไดออกไซด์ของโลกในปี 2578 [1]

เทคโนโลยีพัฒนาทดสอบนี้มืออยู่ท้ายชนิด การเลือกใช้ต้องมีความเหมาะสมกับสภาพภูมิประเทศ และศักยภาพของพื้นที่ สำหรับประเทศไทยเทคโนโลยีที่มีความเหมาะสมสมกับศักยภาพมืออยู่ท้ายเทคโนโลยีได้แก่ เทคโนโลยีผลิตไฟฟ้าจากพลังงานแสงอาทิตย์ พลังงานลม พลังงานน้ำ เป็นต้น ซึ่งเทคโนโลยีที่กล่าวมา นั้นมีข้อจำกัดอยู่ 2 ประการ คือ พื้นที่ในการติดตั้งระบบมีขนาดใหญ่ เนื่องจากประสิทธิภาพในการเปลี่ยนรูป พลังงานต่ำ และความไม่แน่นอนของแหล่งกำเนิดพลังงานซึ่งไม่สามารถกำหนดได้ ดังนั้นจึงแสวงหา เทคโนโลยีอื่นที่มีความเหมาะสมกับสภาพพื้นที่มืออยู่อย่างจำกัดในอนาคต เชลล์เชือเพลิงจึงเป็นอีกเทคโนโลยี หนึ่งที่น่าสนใจเนื่องจากเป็นเทคโนโลยีที่มีประสิทธิภาพในการเปลี่ยนรูปพลังงานสูงถึงร้อยละ 90 และ สามารถประยุกต์ใช้ได้อย่างหลากหลายเช่น ระบบไฟฟ้าสำหรับพื้นที่ชนบทห่างไกล ในครัวเรือน หรือใน อาคารสำนักต่างๆ รวมถึงในโรงงานอุตสาหกรรม ระบบไฟฟ้าสำหรับรถยนต์ไฟฟ้า คอมพิวเตอร์ โทรศัพท์มือถือ วิทยุ หรืออุปกรณ์ไฟฟ้าขนาดเล็กอื่นๆ อุปกรณ์ทางการทหาร เป็นต้น ซึ่งในปัจจุบันยังไม่มี หน่วยงานใดในประเทศไทย ที่ทำการศึกษาการใช้งานเชลล์เชือเพลิงอย่างจริงจัง และต่อเนื่อง ดังนั้นเพื่อให้ ประเทศไทยมีความพร้อมในการที่จะรองรับในเทคโนโลยีดังกล่าว จึงมีความจำเป็นอย่างยิ่งที่บุคลากรด้านวิชาการ ในประเทศไทยจะต้องมีความร่วมมือในการศึกษาอย่างเป็นระบบในด้านเทคโนโลยีเชลล์เชือเพลิง ระบบการ ทดสอบและความเป็นไปได้ในการส่งเสริมการผลิต การใช้งานโดยเร่งด่วน

วัตถุประสงค์ของโครงการวิจัย

- 1 เพื่อออกรูปแบบและติดตั้งระบบผลิตไฟฟ้าจากเชลล์เชือเพลิงแบบอิสระ
- 2 เพื่อประเมินสมรรถนะทางด้านเทคนิคและเศรษฐศาสตร์ของระบบผลิตไฟฟ้าจากเชลล์เชือเพลิง แบบอิสระ
- 3 เพื่อสร้างแบบจำลองทางคณิตศาสตร์ของระบบเชลล์เชือเพลิง

ประโยชน์ที่ได้รับจากการวิจัย

- 1 เพยแพร่องานวิจัยในวารสารภายในประเทศ หรืองานประชุมสัมมนาเชิงวิชาการเครือข่าย พลังงานแห่งประเทศไทย
- 2 ทราบถึงสมรรถนะทางด้านเทคนิคและความคุ้มค่าทางด้านเศรษฐศาสตร์ของระบบผลิตไฟฟ้า แบบอิสระจากเชลล์เชือเพลิง
- 3 ได้แบบจำลองทางคณิตศาสตร์สำหรับนำมายกการผลิตไฟฟ้าของระบบผลิตไฟฟ้าแบบอิสระจาก เชลล์เชือเพลิง
- 4 ผลลัพธ์ที่ได้ของโครงการจะเป็นข้อมูลพื้นฐานสำหรับการประยุกต์ใช้เชลล์เชือเพลิงในอนาคต รวมถึงเป็นแนวทางในการพัฒนาเทคโนโลยีเชลล์เชือเพลิงของประเทศไทย
- 5 ตอบสนองนโยบายภาครัฐในเรื่องของการพัฒนาการใช้แหล่งพลังงานใหม่จากแสงอาทิตย์ของ ประเทศไทย

ขอบเขตของโครงการวิจัย

โครงการวิจัยนี้จะทำการพัฒนาระบบไฟฟ้าแบบอิสระจากเซลล์เชื้อเพลิง ชนิดเยื่อแลกเปลี่ยนprotoon (Proton Exchange Membrane Fuel Cell, PEMFC) ขนาด 1.2 กิโลวัตต์ โดยระบบผลิตไฟฟ้าจากเซลล์เชื้อเพลิงนั้น จ่ายไฟฟ้าให้กับอาคารภายในอาคารทดสอบ พื้นที่โครงการสวนพลังงาน วิทยาลัยพลังงานทดแทน มหาวิทยาลัยเรศวร เพื่อประเมินสมรรถนะทางด้านเทคนิคของระบบ เช่น อัตราการสิ้นเปลืองเชื้อเพลิง คุณภาพไฟฟ้าของระบบ เป็นต้น และสร้างแบบจำลองทางคณิตศาสตร์ของระบบผลิตไฟฟ้าจากเซลล์เชื้อเพลิง



บทที่ 2

ทฤษฎีและงานวิจัยที่เกี่ยวข้อง

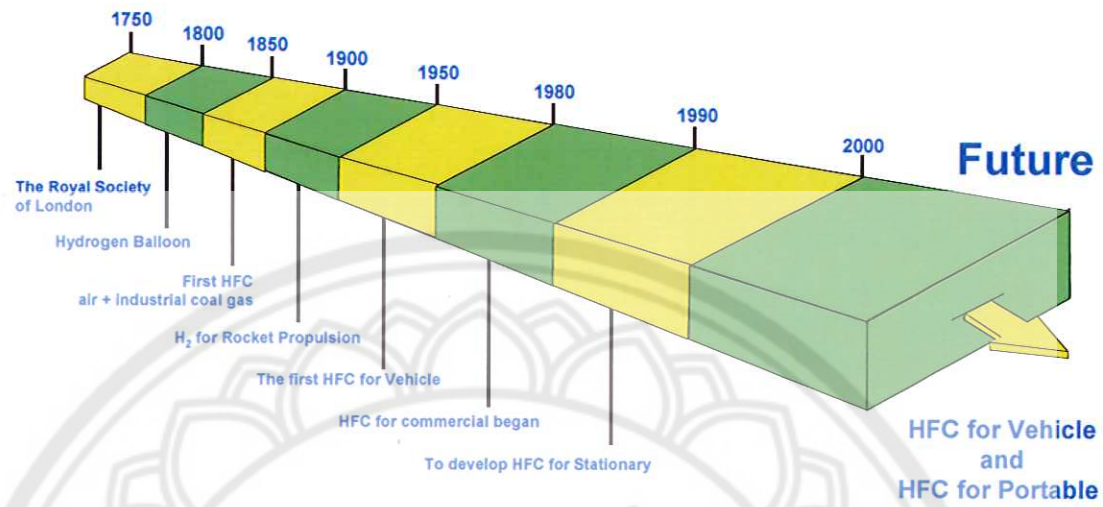
ประวัติของเซลล์เชือเพลิง

หลักการของเซลล์เชือเพลิงถูกค้นพบโดยนักวิทยาศาสตร์ชาวสวีเดน Christian Friedrich Schönbein ในปี ค.ศ. 1838 และตีพิมพ์ในเดือนมกราคมปีถัดมาใน "Philosophical Magazine" อาศัยหลักการจากบทความขึ้นนี้ เซลล์เชือเพลิงได้ถูกสร้างขึ้นโดยนักวิทยาศาสตร์ชาว Welch Sir William Grove ต้นแบบของเขามาได้ตีพิมพ์ในปี 1843 จนในช่วงปี 1950 หลักการของ Grove ได้รับความสนใจอีกครั้ง โดยความต้องการเทคโนโลยีระบบพลังงานไฟฟ้าขนาดเล็กเพื่องานด้านอวกาศและด้านการทหาร ยานอวกาศและเรือสำราญ ต้องการระบบพลังงานไฟฟ้าซึ่งต้องไม่ใช้เทคโนโลยีเครื่องยนต์สันดาปภายใน จนกระทั่งในปี 1959 วิศวกรชาวอังกฤษ Francis Thomas Bacon ได้สร้างเซลล์เชือเพลิงขนาด 5 กิโลวัตต์ได้สำเร็จ ในปีเดียวกันนี้เองที่กลุ่มนี้นำโดย Harry Ihrig ได้ผลิตแทรคเตอร์ขนาด 15 กิโลวัตต์ให้กับ Allis-Chalmers ซึ่งได้นำไปแสดงที่ห้องสมุดแห่งชาติอเมริกา ระบบนี้ใช้ไฟแทนเชื้อมไฮดรอกไซด์เป็นอิเล็กโทรไลต์ ไฮโดรเจนอัดและก๊าซออกซิเจนเป็นสารตั้งต้น ในปีเดียวกันนี้เองที่ Bacon และทีมงานได้สร้างเครื่องผลิตไฟฟ้าขนาด 5 กิโลวัตต์ที่ใช้งานได้จริงสำหรับเครื่องเชื้อม ซึ่งนำไปสู่สิทธิบัตรของ Bacon และในปี 1960 NASA ทุ่มงบประมาณ 10 ล้านเหรียญสหรัฐ เพื่อพัฒนาเซลล์เชือเพลิงแบบไฮโดรเจนเป็นเชือเพลิงสำหรับโครงการอวกาศ เนื่องจากการใช้แบตเตอรี่ธรรมดามีน้ำหนักมากเกินไปสำหรับยานอวกาศ

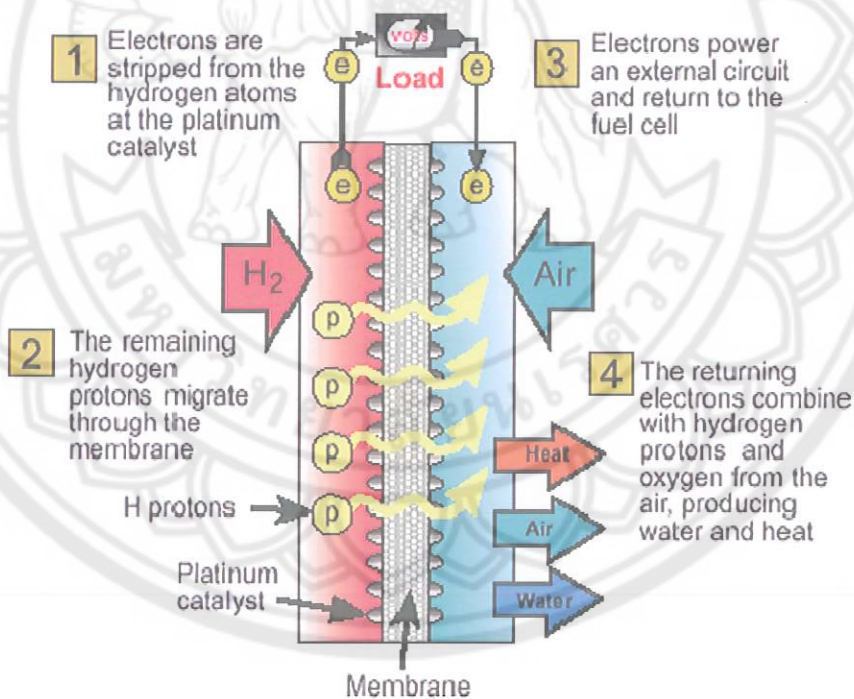
จากนั้นในช่วงปี 1980s และ 1990s โดย Geoffrey Ballard เจ้าของบริษัทเซลล์เชือเพลิงในแคนาดาที่ได้ตั้ง Ballard Power Systems Inc. นำมาซึ่งการใช้ Nafion วัสดุที่ถูกกว่าและทนทาน เป็นอิเล็กโทรไลต์ และการลดการใช้แพลทินัม ทำให้อนุภาคการใช้เซลล์เชือเพลิงสำหรับผู้บริโภค เช่น ในรถยนต์มีความเป็นไปได้มากขึ้นและต้นทศวรรษที่ 90 นักวิทยาศาสตร์และวิศวกร ได้พัฒนาเทคโนโลยีเซลล์เชือเพลิงแบบต่างๆ อย่างต่อเนื่อง ซึ่งสามารถเพิ่มประสิทธิภาพและลดราคาของระบบ ได้ในขณะเดียวกัน ปัจจุบันเซลล์เชือเพลิงสามารถประยุกต์ใช้งานได้หลายรูปแบบ และเป็นเทคโนโลยีที่ปฏิวัติการใช้พลังงานของโลกในอนาคต

พื้นฐานของเซลล์เชือเพลิง

เซลล์เชือเพลิง คืออุปกรณ์ที่สามารถผลิตพลังงานไฟฟ้าและความร้อนด้วยกระบวนการ "Electrochemical" โดยการรวมตัวกันระหว่างเชือเพลิงที่เป็นก๊าซ (ไฮโดรเจน ก๊าซธรรมชาติ โพรเพน) และอากาศ ผลของการรวมตัวกันนี้จะทำให้ได้น้ำซึ่งเป็นเสมือนไออกไซด์ของระบบด้วยเซลล์เชือเพลิงสามารถทำงานได้อย่างต่อเนื่องตราบเท่าที่มีเชือเพลิงป้อนให้ระบบ ไม่ต้องการการประจุใหม่เหมือนกับแบตเตอรี่ นอกจากนี้ยังมีประสิทธิภาพในการแปลงรูปพลังงานที่สูงกว่าเทคโนโลยีการแปลงรูปพลังงานอื่นๆ ที่ใช้กันอยู่ การทำงานปราศจากการเผาไหม้จึงไม่มีมลพิษ ไม่มีการเคลื่อนไหวของอุปกรณ์ดังรูปที่ 3



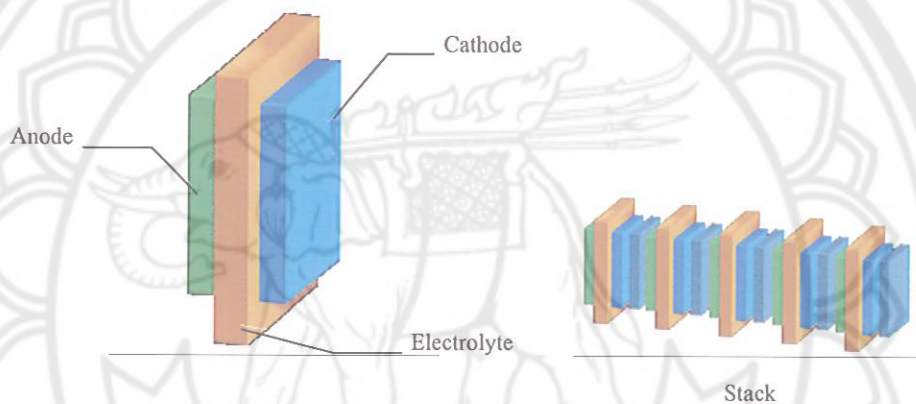
รูปที่ 2 ประวัติของไฮโดรเจนและเซลล์เชื้อเพลิง



รูปที่ 3 แสดงการทำงานของเซลล์เชื้อเพลิง

โดยเมื่อไฮโดรเจนผ่านเข้ามาที่ platinum catalyst ก็จะแตกตัวให้อิเล็กตรอนและโปรตอน อิเล็กตรอนที่เกิดขึ้นจะเคลื่อนที่ไปที่ข้าไฟฟ้า โปรตอนที่เหลืออยู่เคลื่อนที่ผ่านมемเบรน (membrane) อิเล็กตรอนที่เคลื่อนที่มาที่ข้าไฟฟ้าจะงานกับการทางไฟฟ้าภายนอก จากนั้นก็เคลื่อนที่กลับเข้าเซลล์

เซลล์เชือเพลิงเพื่อรวมตัวกับโปรดักชันจากไฮโดรเจนและออกซิเจนจากอากาศ ซึ่งกระบวนการนี้ทำให้ได้ความร้อนและน้ำ เซลล์เชือเพลิงประกอบไปด้วยชั้นของวัสดุสามชั้นเรียงชั้นกัน ชั้นแรกเป็นแອโนด (Anode) ชั้นที่สองเป็นอิเล็กโทรไลต์ (Electrolyte) และชั้นที่สามเป็นแคโทด (Cathode) โดยที่แອโนดและแคโทดทำหน้าที่เป็นตัวเร่งปฏิกิริยา (Catalyst) ส่วนชั้นตรงกลางนั้นเป็นโครงสร้างที่เป็นพานะซึ่งดูดซับอิเล็กโทรไลต์เอาไว้ เซลล์เชือเพลิงแต่ละชิ้นจะใช้อิเล็กโทรไลต์ที่แตกต่างกัน ซึ่งอาจเป็นของเหลว หรือของแข็งในรูปของโครงสร้างเมมเบรน เนื่องจากเซลล์เชือเพลิงหนึ่งเซลล์สามารถผลิตแรงดันไฟฟ้าได้เพียงเล็กน้อยเท่านั้น จึงจำเป็นต้องนำเซลล์เชือเพลิงหลายๆ เซลล์มาต่อเข้าด้วยกัน เพื่อให้ได้ขนาดของแรงดันไฟฟ้าตามต้องการ ซึ่งเรียกว่าลักษณะของการนำเซลล์เชือเพลิงมาต่อ กันหลายๆ เซลล์ว่า "stack" (รูปที่ 4) [2,3]



รูปที่ 4 โครงสร้างของเซลล์เชือเพลิง

ข้อดีของเซลล์เชือเพลิง

- เพิ่มความมั่นคงทางด้านพลังงาน ลดการใช้น้ำมัน ลดการนำเข้าน้ำมัน เพิ่มความสามารถในการจัดหาไฟฟ้าให้กับผู้ใช้
- ความมั่นคงของระบบสูง
- ค่าใช้จ่ายในการเดินระบบต่ำ
- สามารถผลิตไฟฟ้าได้อย่างสม่ำเสมอ และต่อเนื่อง
- สามารถใช้เชือเพลิงได้หลายชนิด เช่น ไฮโดรเจน ก๊าซธรรมชาติ โพรเพน บิวเทน เป็นต้น
- เป็นมิตรกับสิ่งแวดล้อม ไม่มีเสียงดังระหว่างทำงาน
- ประสิทธิภาพสูง 50 – 70% สำหรับการเปลี่ยนรูปเป็นไฟฟ้า และ 90% หากรวมพลังงานความร้อนที่ผลิตได้

การประยุกต์ใช้งานเซลล์เชือเพลิง เซลล์เชือเพลิงสามารถประยุกต์ใช้งาน เป็น 4 แบบได้แก่

1. การประยุกต์ใช้เซลล์เชือเพลิงสำหรับยานยนต์ (Vehicle)
2. การประยุกต์ใช้เซลล์เชือเพลิงแบบพกพา (Portable)

3. การประยุกต์ใช้เซลล์เชื้อเพลิงเพื่อเป็นแหล่งจ่ายไฟฟ้าสำหรับที่พักอาศัย (Residential)
4. การประยุกต์ใช้เซลล์เชื้อเพลิงเพื่อเป็นแหล่งจ่ายไฟฟ้าขนาดใหญ่ (Stationary)

การประยุกต์ใช้เซลล์เชื้อเพลิงสำหรับยานยนต์ (Vehicle)



2000 Series 7 (745h)

FUEL TYPE
Gasoline/liquid hydrogen
ENGINE TYPE
ICE (fuel cell APU)
FUEL CELL SIZE/TYPE
5 kW/PEM
FUEL CELL MANUFACTURER
UTC Fuel Cells
RANGE – 180 mi (300 km)
MPG EQUIVALENT – n/a
MAX SPEED – 140 mph

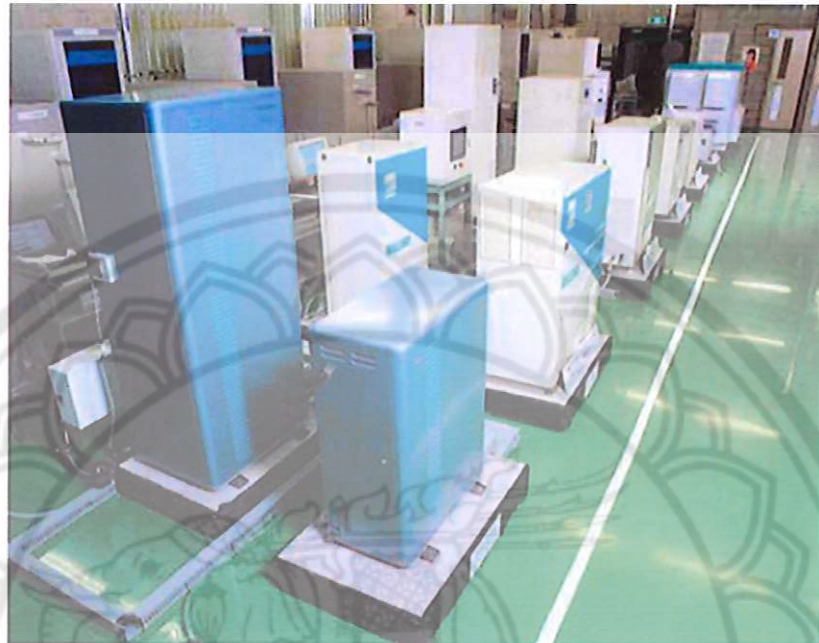
รูปที่ 5 รถยนต์เซลล์เชื้อเพลิงจากบริษัท BMW [5]

การประยุกต์ใช้เซลล์เชื้อเพลิงแบบพกพา (Portable)



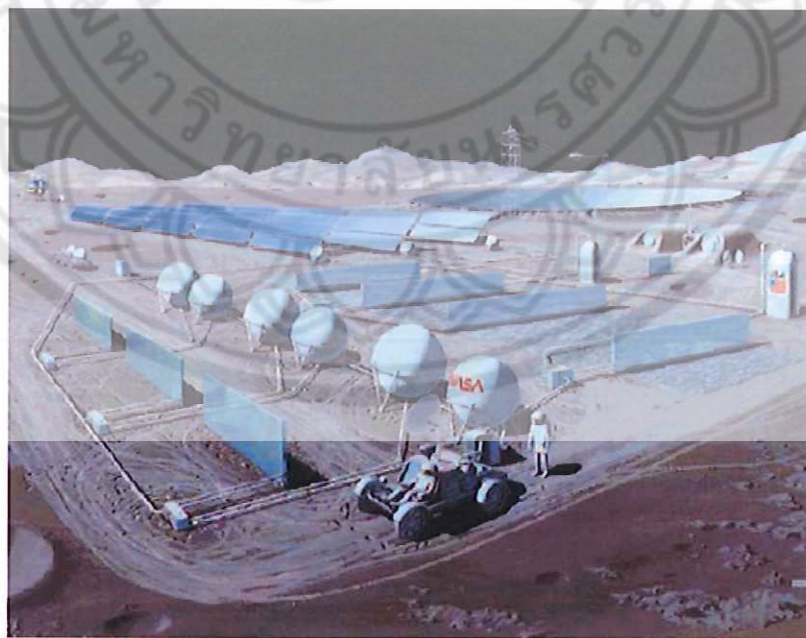
รูปที่ 6 เซลล์เชื้อเพลิงแบบพกพาสำหรับ PDA ของบริษัท Motorola [6]

การประยุกต์ใช้เซลล์เชื้อเพลิงเพื่อเป็นแหล่งจ่ายไฟฟ้าสำหรับที่พักอาศัย (Residential)



รูปที่ 7 เซลล์เชื้อเพลิงแบบ Residential ที่ทดสอบโดย Japan Gas Association [7]

การประยุกต์ใช้เซลล์เชื้อเพลิงเพื่อเป็นแหล่งจ่ายไฟฟ้าขนาดใหญ่ (Stationary)

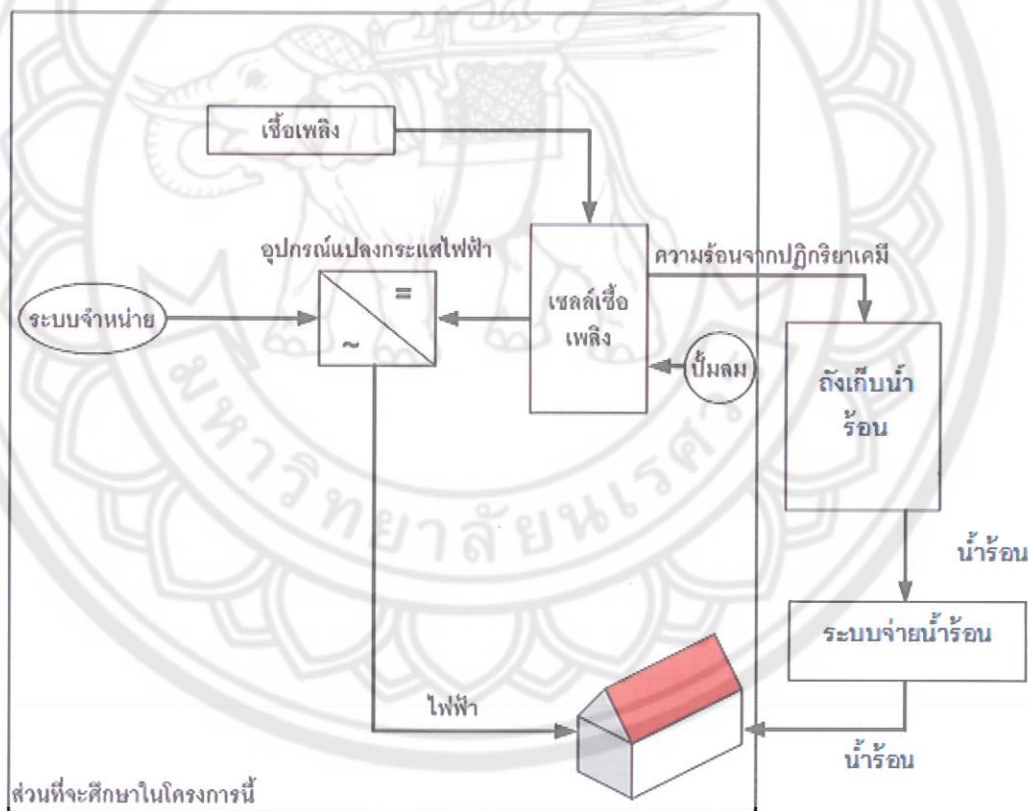


รูปที่ 8 Schematic of future moon base, including a regenerative fuel cell [8]

ด้วยเทคโนโลยีด้านเซลล์เชื้อเพลิงที่ก้าวหน้า ทำให้มีประสิทธิภาพเพียงพอที่จะทดแทนโรงไฟฟ้า พลังงานความร้อนที่ใช้กันอยู่ เซลล์เชื้อเพลิงขนาดใหญ่นั้นมีประสิทธิภาพในการผลิตไฟฟ้าสูง กว่าโรงไฟฟ้าที่มีอยู่ในปัจจุบัน เทคโนโลยีด้านเซลล์เชื้อเพลิงได้ถูกพัฒนาจนสามารถผลิตไฟฟ้าได้โดยตรงจากไฮโดรเจน ในเซลล์เชื้อเพลิง นอกจากนี้ยังสามารถใช้ความร้อน และน้ำที่ได้ไปฉุดกังหันไอน้ำ เพื่อผลิตไฟฟ้าได้อีกด้วย

กรอบแนวความคิดของโครงการ

โครงการนี้จะทำการศึกษาปัจจัยที่มีผลต่อการผลิตไฟฟ้าจากเซลล์เชื้อเพลิงขนาด 1.2 กิโลวัตต์ โดยทำการสำรวจแนวทางด้านเทคนิคของระบบ และความคุ้มค่าทางด้านเศรษฐศาสตร์นอกจากนี้ผู้วิจัย ทำการศึกษาระบบความร้อนที่เหลือทิ้งจากเซลล์เชื้อเพลิงซึ่งมีอุณหภูมิขณะ Operate 60 °C เพื่อนำมาใช้กับระบบทำน้ำร้อนสำหรับครัวเรือน ดังรูปที่ 9



รูปที่ 9 แผนภาพแสดงการทำงานของระบบผลิตไฟฟ้าจากเซลล์เชื้อเพลิง
ร่วมกับระบบทำน้ำร้อนจากพลังงานเหลือทิ้ง

หลักการทำงานของระบบ

1. เชื้อเพลิงไฮโดรเจนจะจ่ายให้กับเซลล์เชื้อเพลิง
2. ปั๊มลมจะดูดอากาศเข้าไปในเซลล์เชื้อเพลิง
3. ภายในเซลล์เชื้อเพลิงจะเกิดปฏิกิริยาทางเคมีระหว่างเชื้อเพลิงไฮโดรเจน ทำให้ได้ไฟฟ้า และความร้อน
4. ไฟฟ้าที่ได้จะผ่านเครื่องแปลงกระแสไฟฟ้าเพื่อแปลงเป็นไฟฟ้ากระแสสลับในการจ่ายให้กับเครื่องใช้ไฟฟ้าภายในอาคาร ในกรณีที่ไฟฟ้าที่ผลิตได้ไม่เพียงพอระบบจะตั้งไฟฟ้าจากระบบจำหน่ายมาจ่ายให้กับภาระไฟฟ้า
5. ในส่วนความร้อนที่เกิดจากการการเกิดปฏิกิริยาเคมีระหว่างเชื้อเพลิงกับอากาศนั้น จะถูกนำไปใช้ผลิตน้ำร้อนและเก็บไว้ในถังเก็บเพื่อการใช้งานในบ้านเรือน

การทบทวนวรรณกรรม/สารสนเทศ (Information) ที่เกี่ยวข้อง

ฉบับรชย ศิริสัมพันธวงศ์ และคณะ. [9] ได้ศึกษาและพัฒนาแบบจำลองทางคณิตศาสตร์ของเซลล์เชื้อเพลิงชนิด proton exchange membrane fuel cell (PEMFC) ซึ่งนำผลที่มาจากการทดสอบมาเปรียบเทียบกับผลจากการทดสอบในห้องปฏิบัติการ เพื่อหา polarization curves ของเซลล์เชื้อเพลิงขนาด 420 W ในสภาวะ full humidify และ cathode stoichiometry ratios เท่ากับ 2 ผลของการเปรียบ polarization curves ระหว่างแบบจำลองทางคณิตศาสตร์ และการทดสอบพบว่า polarization curves ของทั้งสองเป็นไปในทิศทางเดียวกัน ซึ่งมีค่าความคลาดเคลื่อนเท่ากับร้อยละ 3 เท่านั้นเอง

เหตุคนไทย วัฒนธรรม. [10] ได้พัฒนาเซลล์เชื้อเพลิงแก้วชนิดเมมเบรนแลกเปลี่ยนprototonขนาดสูงสุด 500 วัตต์ โดยพัฒนาเซลล์เชื้อเพลิงจากวัสดุที่มีความต้องหาดทั้งในและต่างประเทศ โดยมีการต่อเซลล์เชื้อเพลิงแก้วแบบอนุกรม 8, 20 และ 28 เซลล์ ตามลำดับ ที่แรงดันไฟฟ้า 0.6 โวลต์ต่อเซลล์ ได้ความหนาแน่นกระแสไฟฟ้าเท่ากับ 280, 228 และ 217 มิลลิแอมป์ต่อตารางเซนติเมตร ตามลำดับ โดยมีกำลังไฟฟ้าเท่ากับ 203, 413 และ 547 วัตต์ตามลำดับ และได้ทำการทดสอบเป็นระยะเวลา 50 ชั่วโมง โดยประสิทธิภาพของเซลล์เชื้อเพลิงนั้นมีประสิทธิภาพไม่ลดลง การประเมินความคุ้มค่าทางด้านเศรษฐศาสตร์พบว่า เซลล์เชื้อเพลิงที่พัฒนาขึ้นมีความคุ้มค่าในการลงทุนที่ผลตอบแทนร้อยละ 15 เมื่อราคายังคงเท่ากับ 20 บาท และมีระยะเวลาในการคืนทุนเท่ากับ 8 ปี 3 เดือน นอกจากนี้ได้พัฒนาเครื่องให้ความชื้นกับเชื้อเพลิงเพื่อใช้ในการทดสอบสมรรถนะเซลล์เชื้อเพลิงขนาดใหญ่ให้มีประสิทธิภาพทำความชื้นเชื้อเพลิงที่ป้อนได้ไม่น้อยกว่า 95 % และพัฒนาเทคนิคการตรวจวัดน้ำในเซลล์เชื้อเพลิงได้ผลตามเป้าประสงค์อีกด้วย

เหตุคนไทย วัฒนธรรม. [11] ได้พัฒนาต้นแบบเซลล์เชื้อเพลิงชนิดเมมเบรนแลกเปลี่ยนprototonขนาดสูงสุด 1,000 วัตต์ โดยเริ่มจากการพัฒนาเซลล์เชื้อเพลิงเดี่ยวที่มีพื้นที่หน้าตัด 150 ตารางเซนติเมตร โดยเพิ่มจำนวนเซลล์จาก 8 เป็น 20 และ 28 เซลล์ ตามลำดับ โดยเซลล์เชื้อเพลิงนี้ได้ใช้ส่วนประกอบ

ของอิเลคโทรdememเบรนที่พัฒนาขึ้นเองซึ่งมีส่วนประกอบของ แพลทินัม 0.4 มิลลิกรัมต่อตารางเซนติเมตร และชิ้นส่วนอื่นๆ ที่สร้างขึ้นเองภายใต้มาตรฐาน ISO 9001:2008 ที่ความดันบรรยายกาศ และเมื่อเพิ่มความดันในตัวเซลล์เป็น 10 psig จะได้กำลังไฟฟ้าเท่ากับ 203, 413 และ 547 วัตต์ตามลำดับ ที่ความดันบรรยายกาศ และเมื่อเพิ่มความดันในตัวเซลล์เป็น 10 psig จะได้กำลังไฟฟ้าเท่ากับ 721 วัตต์ คิดเป็นร้อยละ 72 ของเป้าหมายในการผลิต การประเมินความคุ้มค่าทางด้านเศรษฐศาสตร์พบว่า เซลล์เชือเพลิงที่พัฒนาขึ้นมีความคุ้มค่าในการลงทุนที่ผลตอบแทนร้อยละ 9 และ 10 และมีระยะเวลาในการคืนทุนเท่ากับ 11 ปี 8 เดือน และ 10 ปี 11 เดือน เมื่อราคาไฟฟ้าต่อหน่วยมีค่าเท่ากับ 20 บาท และ 21 บาท ตามลำดับ

นอกจาก ชาญสำราญ. [12] ได้พัฒนาเซลล์เชือเพลิงสำหรับเป็นแหล่งจ่ายไฟฟ้าในการขับเคลื่อนรถไฟฟ้าขนาดเล็ก สำหรับการศึกษาในครั้งนี้ได้พัฒนาเซลล์เชือเพลิงจำนวน 2 ชุด แต่ละชุดมีแรงดันไฟฟ้าขนาด 24 โวลต์ และกระแสไฟฟ้า 20 แอม培ร์ โดยต่อขนาดเซลล์เชือเพลิงเข้าด้วยกันเพื่อใช้ในการขับเคลื่อนรถไฟฟ้าที่มีขนาดกำลังมอเตอร์ 750 วัตต์ และบรรทุกผู้โดยสาร 1 คน จากผลการทดสอบพบว่าระบบเซลล์เชือเพลิงสามารถขับเคลื่อนรถได้ความเร็วคงที่ประมาณ 30 กิโลเมตรต่อชั่วโมง

พรพิมล เพ็ชรัตนน. [13] ได้ศึกษาวิจัยระบบจัดการน้ำภายในออกเซลล์เดี่ยวและหอเซลล์เชือเพลิงแบบmembraneแลกเปลี่ยนประตอน (PEMFC) เน้นการศึกษาภาคปฏิบัติโดยการทดสอบระบบให้ความชื้นแก่กําชเชือเพลิงในห้องปฏิบัติการ ได้แก่ "ไฮโดรเจนและออกซิเจน รวมถึงกําชในไตรเจน โดยใช้ระบบจ่ายความชื้นแบบถังทำความชื้น (Bottle Humidifier) ซึ่งวัดความชื้นโดยไฮโกรมิเตอร์ที่ได้รับการสอบเทียบ (Calibration) แล้ว ซึ่งพบว่าอุณหภูมิของเครื่องทำความชื้น มีผลต่อความชื้นสัมพัทธ์มากกว่าการเพิ่มชื้นของอัตราการไหลกําชในช่วง 50 - 500 sccm

เซลล์เดี่ยวและหอเซลล์ 5 ชั้น ได้รับการทดสอบที่สภาพการทำงานต่างกัน "ได้แก่ (1) การเปลี่ยนแปลงอัตราการไหลของกําชไฮโดรเจนและออกซิเจนและอุณหภูมิควบคุมที่เครื่องทำความชื้น (2) อัตราส่วนระหว่างกําชเชือเพลิงทั้งสองกรณีอัตราส่วนการป้อนกําชทั้งสองด้วยอัตราส่วนทางทฤษฎีมวลสารสัมพันธ์ (Stoichiometry ratio) หรือแบบอัตราส่วนเท่ากัน (3) การให้ความชื้นแก่อิเลคโทรดด้านเดียว หรือทั้งสองด้าน หรือไม่ให้เลย รวมถึง (4) การเปลี่ยนแปลงความต่างศักย์ตามเวลาเมื่อเปลี่ยนกรรรมวิธีการ By pass กําชเชือเพลิงจากระบบจ่ายความชื้น หากเกิดการลดลงของความต่างศักย์ ผลกระทบทดสอบเซลล์เชือเพลิงโดยชุดอุปกรณ์ทดสอบ (Test Station) ทำให้ทราบกราฟประสิทธิภาพ (Polarization curve) และทราบค่าความหนาแน่นกำลังไฟฟ้าและความต่างศักย์สูงสุดที่ความหนาแน่นกระแสที่ต้องการ ซึ่งนำไปใช้เป็นสภาวะในการทดสอบการทำงานของเซลล์เชือเพลิงเดี่ยวและหอเซลล์เชือเพลิง 5 ชั้น เพื่อดูการเปลี่ยนแปลงความต่างศักย์ตามเวลา และผลการ By pass กําชเชือเพลิงจากเครื่องทำความชื้นเพื่อลดปัญหาการท่ำงของน้ำในเซลล์เชือเพลิง

การทำความชื้นที่ทั้งด้านออกซิเจน (แคโตด) และไฮโดรเจน (แอโนด) จะให้ประสิทธิภาพสูงสุด และหากอุณหภูมิเครื่องทำความชื้นเพิ่มขึ้นจะทำให้ความหนาแน่นกำลังไฟฟ้าสูงสุดที่ได้เพิ่มขึ้น แต่พบว่ากำลังไฟฟ้าและความต่างศักย์สูงสุดเกิดที่อัตราการไหลไม่สูงนัก นอกจากนี้อัตราส่วนการป้อนกําชทั้งสองด้วยอัตราส่วนทางทฤษฎีมวลสารสัมพันธ์ (Stoichiometry ratio) หรือแบบอัตราส่วน

เท่ากัน ไม่ให้ประสิทธิภาพที่แตกต่างกัน เพราะการใช้ก้าชอกซิเจนเป็นเชือเพลิงด้านแค็ตodeจะไม่ได้รับผลกระทบจากความถี่อยู่ต่อปฎิกริยาหากมีโนโตรเจนปนอยู่ด้วยดังเช่นกรณีใช้อากาศจ่าย

การทดสอบ By pass ก้าชอกซิเจนเป็นสองเท่าในขณะที่ By pass จากเครื่องทำความชื้น จะลดปัญหาความต่างศักย์ทักษิณจากน้ำท่วมได้ดีที่สุดเมื่อเทียบกับกรณีการให้ออกซิเจนเท่าเดียว และที่ระยะเวลาทำงานของหอเซลล์ยาวนานขึ้นหรืออุณหภูมิสูงขึ้น ระยะเวลาในการ By pass จะลดลง และหอเซลล์ 5 ชั้นสามารถทำงาน ที่ระดับความต่างศักย์ 2.34 – 2.37 Volt ได้นานถึง 360 นาที ผู้วิจัยได้ทำการศึกษาในภาคทฤษฎีด้วย โดยการคำนวณอัตราการเปลี่ยนแปลงมวลน้ำในหอเซลล์ที่สภาวะการทำงานต่างกัน จากอัตราการเกิดน้ำด้วยปฏิกริยาไฟฟ้าเคมี และสมดุลของน้ำที่เข้าสู่เซลล์ สมมหรือลดลงในเซลล์ และออกจากการเซลล์เชือเพลิง ทำให้สามารถนำรายอัตราการเปลี่ยนแปลงน้ำในหอเซลล์เชือเพลิงได้ ผลการทำนายแสดงว่าปริมาณน้ำที่สะสมในเซลล์ที่ความหนาแน่นกระแส 80 mA/cm^2 อยู่ในช่วง 9.64 - 11.12 กรม/ ชั่วโมง และเมื่อเปรียบเทียบกรณีให้ความชื้นและไม่ให้ความชื้นแก่ก้าชอกซิเจน พบร้ากรณีหลังสามารถลดปริมาณน้ำที่สะสมอยู่ในเซลล์ลงได้ 9.45%

สายชล สิทธิพงศ์. [14] ได้ออกแบบและสร้างต้นแบบระบบควบคุมการทำงานสำหรับเซลล์เชือเพลิงแบบ Stack ชนิดเมมเบรนแลกเปลี่ยนโปรดอน ได้สร้างระบบควบคุมและทดสอบการทำงานเซลล์ เชือเพลิงในห้องปฏิบัติการและระบบควบคุมการทำงานที่สร้างขึ้นเอง ซึ่งประยุกต์มาจากระบบแรก ระบบควบคุมการทำงานของเซลล์เชือเพลิงที่สร้างขึ้นเองทำงานโดยอัตโนมัติ ซึ่งควบคุมด้วยไมโครคอนโทรลเลอร์สามารถควบคุมให้เซลล์เชือเพลิงทำงานได้อย่างมีประสิทธิภาพ โดยประสิทธิภาพการทำงานของเซลล์เชือเพลิงขึ้นอยู่กับปัจจัย อัตราการไหลของก้าช อุณหภูมิ ความชื้น และความดันการทำงาน การทดสอบการทำงานของเซลล์เชือเพลิงได้เปรียบเทียบประสิทธิภาพการทำงานของเซลล์ เชือเพลิง ระหว่างระบบควบคุมและทดสอบการทำงานเซลล์เชือเพลิงในห้องปฏิบัติการกับระบบควบคุมการทำงานที่สร้างขึ้นเอง ผลการทดสอบเซลล์เชือเพลิงขนาด 1 ชั้น มีประสิทธิภาพการทำงานใกล้เคียงกัน เซลล์เชือเพลิงที่ควบคุมการทำงานด้วยระบบที่สร้างขึ้นเอง ให้กำลังไฟฟ้ามีค่าเท่ากับ 194.97 mW/cm^2 ที่อุณหภูมิการทำงาน 37 - 42 องศาเซลเซียส ความดัน 2 บาร์เกจ ประสิทธิภาพเซลล์เชือเพลิงขนาด 3 และ 5 ชั้น ระบบควบคุมการทำงานที่สร้างขึ้นเองให้ประสิทธิภาพสูงกว่าระบบควบคุมและทดสอบการทำงานในห้องปฏิบัติการอย่างชัดเจน โดยให้กำลังไฟฟ้าสูงสุดเท่ากับ 414.25 mW/cm^2 และ 752.80 mW/cm^2 ตามลำดับ เมื่อความดันเท่ากับ 2 บาร์เกจ ช่วงอุณหภูมิการทำงานที่เหมาะสม 60 - 70 องศาเซลเซียส

วรารณ์ เตปิน และคณะ [15] ได้พัฒนาโปรแกรมคอมพิวเตอร์สำหรับควบคุมระบบเซลล์เชือเพลิง โดยจะเป็นการพัฒนาระบบควบคุมและการวัด การแสดงผล และการบันทึกข้อมูลแบบอัตโนมัติโดยใช้คอมพิวเตอร์ เพื่อความสะดวก และเป็นส่วนเสริมให้กับการดำเนินงานวิจัย จึงได้แบ่งการดำเนินการออกเป็น 2 ส่วน คือ (1) การออกแบบและสร้างวงจรไฟฟ้าเพื่อเชื่อมต่อคอมพิวเตอร์และ (2) การออกแบบโปรแกรมเพื่อการรับข้อมูล ส่งสัญญาณควบคุม บันทึก และเรียกดูข้อมูลของตัวแปรในระบบจากการออกแบบและผลการทดสอบระบบควบคุม พบร้าระบบสามารถส่งสัญญาณควบคุม รับค่า

สัญญาณจากอุปกรณ์ที่ทำการวัด และประมวลผลข้อมูลได้อย่างถูกต้อง โดยมีค่าความถูกต้องไม่เกิน 0.3 เปอร์เซ็นต์ ซึ่งระบบเครื่องมือวัดที่สามารถควบคุมได้ในโครงการนี้ ประกอบด้วย ระบบควบคุมอัตตราการป้อนแก๊ส มีค่าความถูกต้อง 0.56 เปอร์เซ็นต์ การวัดค่าอุณหภูมิของเซลล์เชื้อเพลิงแต่ละเซลล์ ระบบวัดค่าทางไฟฟ้าของกระแสไฟฟ้า คือ ระดับกระแสและแรงดัน โดยมีค่าความถูกต้อง 0.2 และ 0.06 เปอร์เซ็นต์ ตามลำดับ รวมถึงโปรแกรมการส่งสัญญาณควบคุม แสดงผล บันทึก และเรียกข้อมูล โดยใช้โปรแกรม LabVIEW 5.1 ทำให้ระบบมีความสะดวกในการใช้งาน

จากการดำเนินงานทั้งหมดของโครงการ พบร่วมระบบสามารถทำงานตามคำสั่งและสามารถแสดงผลการทำงานของอุปกรณ์ต่างๆ ในระบบเซลล์เชื้อเพลิงได้อย่างถูกต้อง สำหรับแนวทางการพัฒนาต่อไปในอนาคต สามารถที่จะพัฒนาไปสู่ระบบควบคุมโดยใช้คอมพิวเตอร์ที่สมบูรณ์ในลักษณะ supervisory control and monitoring ที่สามารถรองรับระบบขนาดใหญ่ขึ้น หรือมีความซับซ้อนมากขึ้นได้ อย่างเหมาะสม

จากการบทหวานรรนกรรม/สารสนเทศ (Information) ที่เกี่ยวข้อง พบร่วมงานวิจัยส่วนใหญ่นั้นเป็นการวิจัยในส่วนของการพัฒนาเซลล์เชื้อเพลิงเป็นหลัก และอุปกรณ์ในส่วนของการควบคุมเซลล์เชื้อเพลิงโดยส่วนใหญ่จะเป็นเซลล์เชื้อเพลิงขนาดเล็ก (สเกลวัตต์) แต่ในส่วนของการวิจัยเชิงระบบนั้นยังไม่มีการวิจัยเป็นรูปธรรมภายในประเทศ “การประเมินสมรรถนะทางด้านเทคนิคและเศรษฐศาสตร์ของระบบผลิตไฟฟ้าด้วยเซลล์เชื้อเพลิงแบบอิสระ” จึงเป็นหัวข้อที่น่าสนใจในการศึกษาวิจัยสำหรับประเทศไทย

บทที่ 3

วิธีดำเนินการวิจัย

การศึกษาวิจัยนี้ผู้วิจัยได้ทำการประเมินสมรรถนะทางด้านเทคนิคและเศรษฐศาสตร์ของระบบเซลล์เชื้อเพลิงแบบอิสระ ขนาด 1.2 kW ที่ถูกพัฒนาขึ้นเพื่อใช้สำหรับพื้นที่เฉพาะ เช่น พื้นที่ห่างไกล พื้นที่ทาง หรือสำหรับผลิตไฟฟ้าให้กับเครื่องใช้ไฟฟ้าภายในเรือ เป็นต้น ในงานวิจัยนี้ผู้วิจัยได้แบ่งเนื้องานออกเป็น 3 ตอน ได้แก่

1. การประเมินสมรรถนะทางด้านเทคนิคของระบบเซลล์เชื้อเพลิงแบบอิสระ
2. การพัฒนาแบบจำลองทางคณิตศาสตร์ของระบบเซลล์เชื้อเพลิง
3. การประเมินทางด้านเศรษฐศาสตร์ของระบบเซลล์เชื้อเพลิงแบบอิสระ

ตอนที่ 1 การประเมินสมรรถนะทางด้านเทคนิคของระบบเซลล์เชื้อเพลิงแบบอิสระ

ระบบเซลล์เชื้อเพลิงแบบอิสระ

ระบบผลิตเซลล์เชื้อเพลิงแบบอิสระที่พัฒนาขึ้นสำหรับงานวิจัยนี้มีส่วนประกอบหลัก ประกอบด้วย เซลล์เชื้อเพลิง (Fuel Cell, FC) ขนาด 1,200 วัตต์ เครื่องแปลงกระแสไฟฟ้า (DC/AC inverter) ขนาด 1,000 วัตต์ และภาระไฟฟ้าแบบปรับค่าได้ (Variable AC Load) ส่วนประกอบหลักของระบบฯ แสดงดังรูปที่ 10



รูปที่ 10 ระบบเซลล์เชื้อเพลิงแบบอิสระ

เซลล์เชื้อเพลิง

เซลล์เชื้อเพลิงที่ใช้สำหรับงานวิจัยนี้เป็นเซลล์เชื้อเพลิงชนิดเยื่อแลกเปลี่ยนโปรตอน (Proton Exchange Membrane Fuel Cell, PEMFC) ของบริษัท Ballard รุ่น Nexa Power Module ขนาด 1,200 วัตต์ ซึ่งเซลล์เชื้อเพลิงดังกล่าวมี DC/DC Converter อยู่ในตัวซึ่งทำหน้าที่ปรับแรงดันไฟฟ้าของเซลล์เชื้อเพลิงให้เหมาะสมกับเครื่องแปลงกระแสไฟฟ้า คุณสมบัติทางไฟฟ้าของเซลล์เชื้อเพลิงแสดงดังตารางที่ 1

ตารางที่ 1 คุณสมบัติทางไฟฟ้าของเซลล์เชื้อเพลิง

พารามิเตอร์	ค่า
กำลังไฟฟ้าสูงสุดของเซลล์เชื้อเพลิง	1,200 W
ช่วงของแรงดันไฟฟ้า	22 – 50 VDC
แรงดันไฟฟ้าที่สภาวะทำงาน	26 VDC
กระแสไฟฟ้าที่สภาวะทำงาน	46 ADC
ปริมาณไออกเจนที่กำลังไฟฟ้าสูงสุด	18.5 sl/min

เครื่องแปลงกระแสไฟฟ้า

เครื่องแปลงกระแสไฟฟ้าในระบบเซลล์เชื้อเพลิง (รูปที่ 11) นั้นทำหน้าที่แปลงไฟฟ้ากระแสตรงที่ผลิตได้จากเซลล์เชื้อเพลิงเป็นไฟฟ้ากระแสสลับ เครื่องแปลงกระแสไฟฟ้าที่ใช้ในโครงการนี้เป็นเครื่องแปลงกระแสไฟฟ้าที่ใช้สำหรับระบบ 24 V คุณสมบัติทางไฟฟ้าของเครื่องแปลงกระแสไฟฟ้าแสดงดังตารางที่ 2



รูปที่ 11 เครื่องแปลงกระแสไฟฟ้า

ตารางที่ 2 คุณสมบัติทางไฟฟ้าของเครื่องแปลงกระแสไฟฟ้า

พารามิเตอร์

ค่า

แรงดันไฟฟ้าขาเข้า	21 - 32 VDC
แรงดันไฟฟ้าที่สกัดการทำงาน	24 VDC
แรงดันไฟฟ้าขาออก	220 VAC
ยาโนนิกส์	4%
Power Factor	>0.98
กระแสไฟฟ้าสูงสุด	110%
อุณหภูมิทำงาน	0 - 45°C

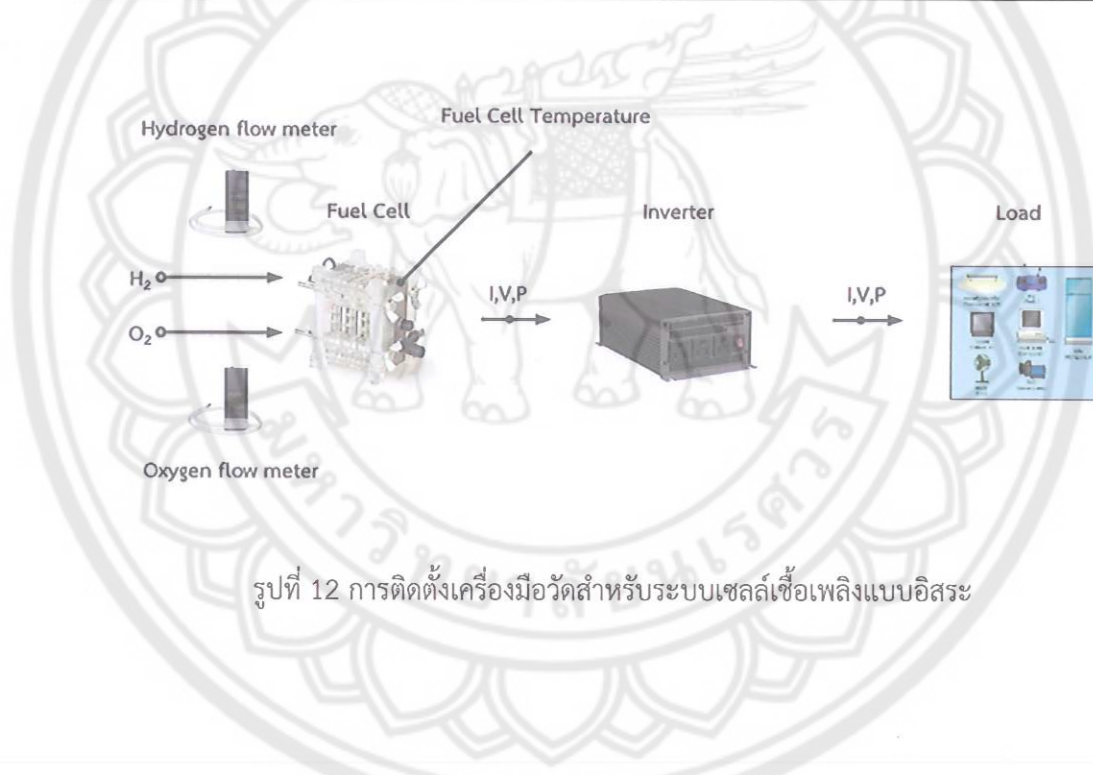
ระบบตรวจวัดและบันทึกข้อมูล

การตรวจวัดและจัดเก็บข้อมูลเพื่อใช้ในการประเมินสมรรถนะทางด้านเทคนิคของระบบเซลล์เชื้อแบบอิสระ จำแนกออกเป็น 2 ด้านได้แก่ ด้านไฟฟ้า เช่น แรงดันไฟฟ้าที่เซลล์เชื้อเพลิงผลิตได้ กำลังไฟฟ้าที่เซลล์เชื้อเพลิงผลิตได้ กำลังไฟฟ้าที่จ่ายให้ภาระไฟฟ้า เป็นต้น และด้านเคมี เช่น ปริมาณไฮโดรเจน ปริมาณออกซิเจน เป็นต้น โดยข้อมูลที่กล่าวมาข้างต้นจะถูกจัดเก็บลงในเครื่องบันทึกข้อมูล อัตโนมัติทุกๆ 5 นาที (ตารางที่ 3) และตำแหน่งการติดตั้งอุปกรณ์ที่ใช้สำหรับการตรวจวัด (รูปที่ 12 และรูปที่ 13)

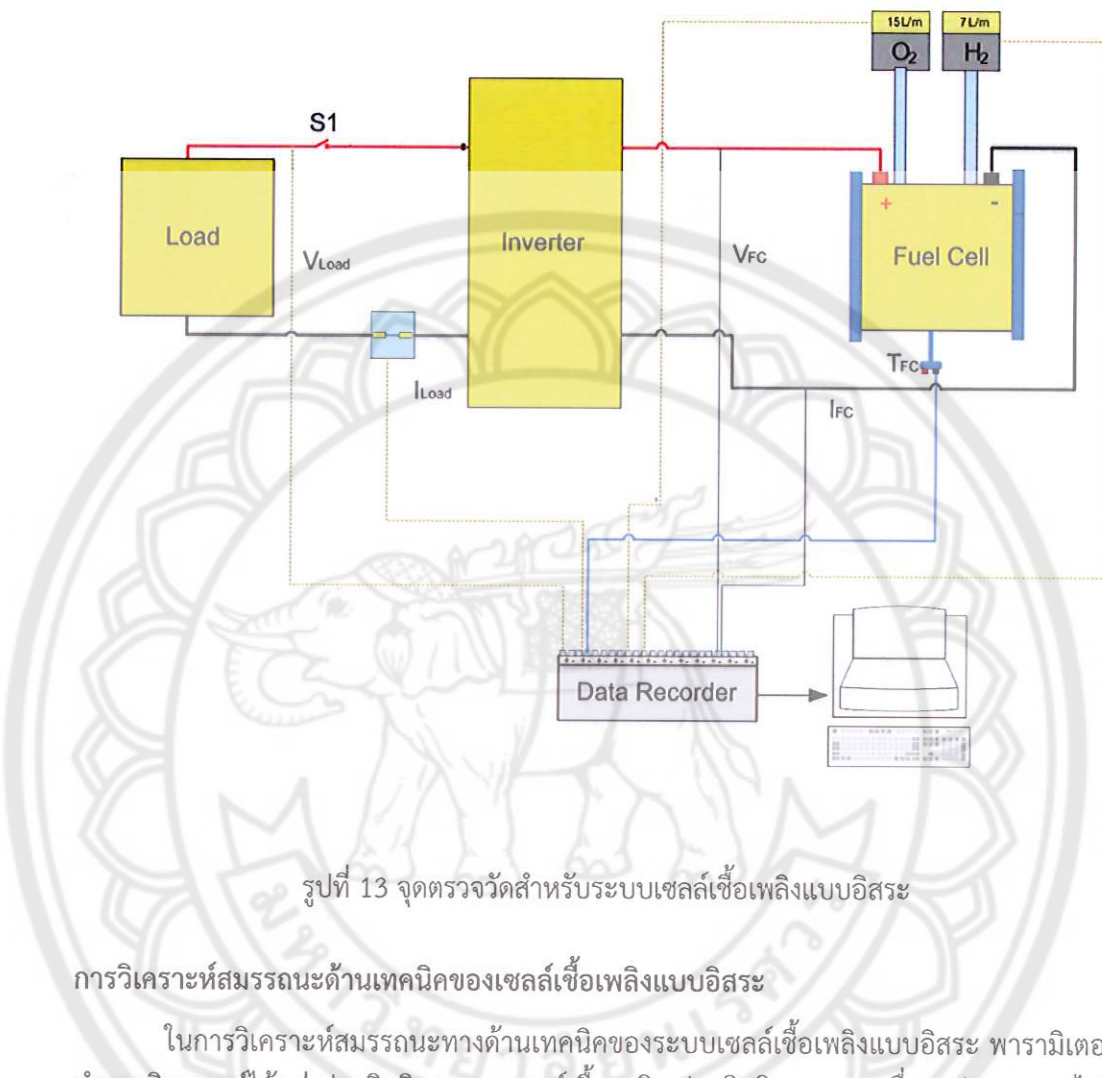
ตารางที่ 3 การจัดเก็บข้อมูลและตัวแปรที่ใช้สำหรับการทดสอบ

พารามิเตอร์	สัญลักษณ์	единheit	หน่วย	หมายเหตุ
อุณหภูมิเซลล์เชื้อเพลิง	T _{FC}	5 นาที	°C	Temp. Sensor
แรงดันไฟฟ้าที่เซลล์เชื้อเพลิงผลิตได้	V _{FC}	5 นาที	V	Power Meter
กระแสไฟฟ้าที่เซลล์เชื้อเพลิงผลิตได้	I _{FC}	5 นาที	A	Power Meter
กำลังไฟฟ้าที่เซลล์เชื้อเพลิงผลิตได้	P _{FC}	5 นาที	A	Power Meter

พารามิเตอร์	สัญลักษณ์	เฉลี่ย	หน่วย	หมายเหตุ
แรงดันไฟฟ้าที่จ่ายให้ภาระไฟฟ้า	V_{Load}	5 นาที	V	Power Meter
กระแสไฟฟ้าที่จ่ายให้ภาระไฟฟ้า	I_{Load}	5 นาที	A	Power Meter
กำลังไฟฟ้าที่จ่ายให้ภาระไฟฟ้า	P_{Load}	5 นาที	A	Power Meter
ปริมาณไฮโดรเจน	V_{H_2}	5 นาที	L/min	Flow meter
ปริมาณออกซิเจน	V_{O_2}	5 นาที	L/min	Flow meter



รูปที่ 12 การติดตั้งเครื่องมือวัดสำหรับระบบเซลล์เชื้อเพลิงแบบอิสระ



การวิเคราะห์สมรรถนะด้านเทคนิคของเซลล์เชื้อเพลิงแบบอิสระ

ในการวิเคราะห์สมรรถนะทางด้านเทคนิคของระบบเซลล์เชื้อเพลิงแบบอิสระ พารามิเตอร์ที่ทำการวิเคราะห์ได้แก่ ประสิทธิภาพของเซลล์เชื้อเพลิง ประสิทธิภาพของเครื่องแปลงกระแสไฟฟ้า ประสิทธิภาพของระบบฯ และการหาการสูญเสียพลังงานของเซลล์เชื้อเพลิงในรูปความร้อน

การหาค่าประสิทธิภาพของเซลล์เชื้อเพลิง, [16]

ประสิทธิภาพของเซลล์เชื้อเพลิง หาได้จากกฎข้อที่หนึ่งของฟาราเดีย แสดงดังสมการที่ 1

$$\eta_{FC} = \mu_F \frac{V_C}{1.48} \times 100 \quad (1)$$

เมื่อ

η_{FC}	คือ	ประสิทธิภาพของเซลล์เชื้อเพลิง (%)
μ_F	คือ	การใช้งานของเชื้อเพลิงไฮโดรเจน (0.95)
V_C	คือ	แรงดันไฟฟ้าของเซลล์เชื้อเพลิง 1 เซลล์ (V)

การหาประสิทธิภาพเครื่องแปลงกระแสไฟฟ้า

ประสิทธิภาพของเครื่องแปลงกระแสไฟฟ้าสามารถหาได้จากสัดส่วนระหว่างกำลังไฟฟ้าที่จ่ายให้กับ ภาระไฟฟ้า ต่อกำลังไฟฟ้าที่ผลิตได้จากเซลล์เชื้อเพลิง แสดงดังสมการที่ 2

$$\eta_{INV} = \frac{I_{Load} x V_{Load} \cos \varphi}{I_{FC} x V_{FC}} \times 100 \quad (2)$$

เมื่อ

I_{Load}	คือ กระแสไฟฟ้าที่จ่ายให้แก่ภาระไฟฟ้า (A)
I_{FC}	คือ กระแสไฟฟ้าที่ผลิตได้จากเซลล์เชื้อเพลิง (A)
V_{Load}	คือ แรงดันไฟฟ้าที่จ่ายให้แก่ภาระไฟฟ้า (V)
V_{FC}	คือ แรงดันไฟฟ้าที่ผลิตได้จากเซลล์เชื้อเพลิง (V)

การหาประสิทธิภาพของระบบ,

ประสิทธิภาพของระบบเซลล์เชื้อเพลิงแบบอิสระสามารถหาได้จากสมการที่ 3

$$\eta_{SYS} = \eta_{FC} x \eta_{INV} \quad (3)$$

การหาการสูญเสียพลังงานด้านความร้อนของเซลล์เชื้อเพลิง, (Thermal Loss; Eloss) [16]

การสูญเสียพลังงานทางด้านความร้อนของเซลล์เชื้อเพลิงสามารถหาได้จากสมการที่ 4

$$E_{loss} = P_{FC} \left(\frac{1.25}{V_C} - 1 \right) \cdot t \quad (4)$$

เมื่อ

E_{loss}	คือ การสูญเสียพลังงานทางด้านความร้อนของเซลล์เชื้อเพลิง (Wh)
P_{FC}	คือ กำลังไฟฟ้าที่เซลล์เชื้อเพลิงผลิตได้ (W)
t	เวลา (hr)

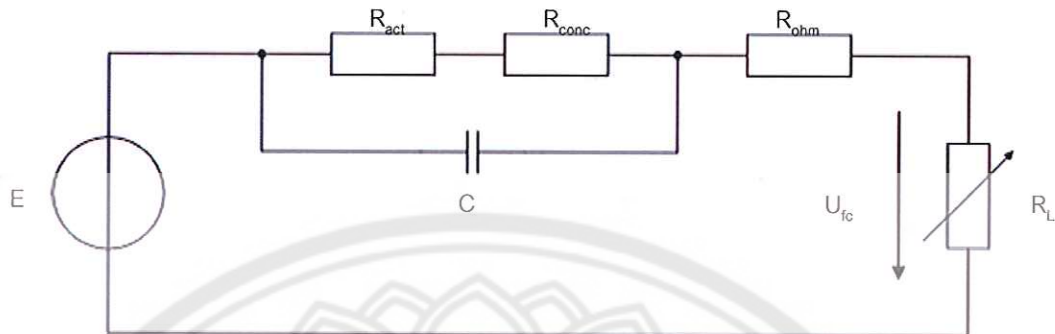
ตอนที่ 2 การพัฒนาแบบจำลองทางคณิตศาสตร์ของระบบเซลล์เชื้อเพลิง

สำหรับเนื้องานในส่วนของการพัฒนาแบบจำลองทางคณิตศาสตร์ของระบบเซลล์เชื้อเพลิงจะประกอบไปด้วย 2 ส่วนได้แก่ แบบจำลองทางคณิตศาสตร์ของเซลล์เชื้อเพลิง และแบบจำลองทางคณิตศาสตร์ของเครื่องแปลงกระแสไฟฟ้า สำหรับงานวิจัยนี้ โปรแกรม Matlab/Simulink จะถูกนำมาใช้ในการพัฒนาแบบจำลองทางคณิตศาสตร์และใช้สำหรับการพัฒนาโปรแกรมสำหรับการประเมินผลทางด้านเทคนิคของระบบเซลล์เชื้อเพลิงแบบอิสระสำหรับการประเมินผลแบบระยะยาว (Long Term Performance Evaluation)

Matlab เป็นภาษาคอมพิวเตอร์ระดับสูงที่มาพร้อมด้วยสภาพแวดล้อมการทำงานเชิงโต้ตอบซึ่งสามารถคำนวณคณิตศาสตร์ที่ซับซ้อนได้อย่างรวดเร็วมากกว่าภาษาคอมพิวเตอร์สมัยก่อน เช่นภาษา C, C++ หรือ Fortran Matlab เป็นภาษาคอมพิวเตอร์ระดับสูงที่ใช้สำหรับคำนวณเชิงตัวเลข (Numerical Computing) แสดงผลกราฟฟิก และเขียนแอพพลิเคชัน ทำให้สามารถคำนวณผลลัพธ์พัฒนาอักษรลิทีม สร้างแบบจำลอง และแอพพลิเคชันได้ง่ายและรวดเร็วมาก ภายใต้ Matlab ประกอบด้วยภาษาคอมพิวเตอร์ ทูลบ็อกซ์ (Toolbox : กลุ่มฟังก์ชันสำเร็จรูปในแต่ละสาขาวิชา) และฟังก์ชันพื้นฐานจำนวนมาก ทำให้การวิเคราะห์ทำได้หลากหลายวิธี พร้อมกับคำตอบที่รวดเร็วกว่าโปรแกรมตารางคำนวณ(Spreadsheet) หรือภาษาคอมพิวเตอร์สมัยก่อน เช่น C, C++, Fortran, Java และอื่นๆ นอกจากนี้ Matlab ยังสามารถนำไปประยุกต์ใช้งานได้หลายสาขามาก ทั้ง การประมวลผลสัญญาณ(Signal Processing) การสื่อสาร(Communication) การประมวลผลภาพและวิดีโอ(Image and Video Processing) ระบบควบคุม(Control System) การวัดและควบคุม(Instruments and Control) การคำนวณทางเศรษฐศาสตร์(Economic) การคำนวณทางชีววิทยา(Biology) และอื่นๆ มีนักวิทยาศาสตร์และวิศวกรหลายล้านคนทั่วโลกที่ใช้ Matlab ในการคำนวณเชิงตัวเลข และนอกจากนี้ Simulink จะถูกนำมาใช้ในการพัฒนาบล็อกสำหรับอุปกรณ์ประกอบในระบบเซลล์เชื้อเพลิงแบบอิสระ

แบบจำลองทางคณิตศาสตร์ของเซลล์เชื้อเพลิง

โดยทั่วๆ ไปแบบจำลองทางคณิตศาสตร์ของเซลล์เชื้อเพลิงที่ถูกพัฒนาขึ้นมานั้นมี 4 แบบจำลอง ซึ่งประกอบไปด้วย แบบจำลองทางคณิตศาสตร์ของ stack voltage, the anode flow, the cathode flow และ the membrane hydration แต่สำหรับงานวิจัยนี้สนใจในการพัฒนาแบบจำลองทางคณิตศาสตร์ของ stack voltage ซึ่ง block diagram ของแบบจำลองทางคณิตศาสตร์ของ stack voltage แสดงดังรูปที่ 14 โดยแรงดันไฟฟ้าของเซลล์เชื้อเพลิง (U_{FC}) จะเป็นพิสัยซึ่งของ กระแสไฟฟ้าของเซลล์เชื้อเพลิง ความดันที่ข้ามแคโทด อุณหภูมิของเซลล์เชื้อเพลิง และความชื้นภายในเมมเบรน ซึ่งสามารถถูกนำเสนอด้วยการสูญเสียของเซลล์เชื้อเพลิง 3 ส่วน ได้แก่ The activation loss, ohmic loss และ concentration loss.



รูปที่ 14 วงจรสมมูลของเซลล์เชื้อเพลิง

เซลล์เชื้อเพลิงสามารถเปลี่ยนรูปจากพลังงานทางเคมีเป็นพลังงานไฟฟ้าได้โดยตรง ซึ่ง พลังงานเคมีของเซลล์เชื้อเพลิงสามารถคำนวณได้จากการเปลี่ยนแปลงของพลังงานอิสระกิบส์ Gibbs free energy (Δg_f) สำหรับไฮโดรเจนและออกซิเจนซึ่งเป็นก้าชที่ใช้สำหรับเซลล์เชื้อเพลิงนั้น เปลี่ยนแปลงของพลังงานอิสระกิบส์สามารถหาได้จาก [16]

$$\Delta g_f = g_f \text{ of products} - g_f \text{ of reactants} = (g_f)_{H_2O} - (g_f)_{H_2} - (g_f)_{O_2} \quad (5)$$

การเปลี่ยนแปลงใน Gibbs free energy นั้นเปลี่ยนแปลงตามพารามิเตอร์หลักสองตัวได้แก่ อุณหภูมิและความดัน

$$\Delta g_f = \Delta g_f^0 - \bar{R}T_{fc} \ln \left[\frac{p_{H_2} p_{O_2}^{\frac{1}{2}}}{p_{H_2O}} \right] \quad (6)$$

Δg_f^0 คือ การเปลี่ยนของ Gibbs free energy ที่สภาวะความดันมาตรฐาน (1 bar) ซึ่ง มีการเปลี่ยนแปลงของอุณหภูมิของเซลล์เชื้อเพลิง (T_{fc}) ในหน่วยของเคลวิน ในส่วนของความดันของไฮโดรเจน (p_{H_2}) ออกซิเจน (p_{O_2}) และน้ำ (p_{H_2O}) อยู่ในหน่วยของ \bar{R} คือค่าคงที่ของก้าช

สำหรับในการเปลี่ยนรูปจาก Gibbs free energy เป็น พลังงานไฟฟ้า (electrical energy) ซึ่งงานของไฟฟ้าที่ใช้ในการเคลื่อนที่ของประจุในวงจรไฟฟ้าแสดงดังสมการ

$$\text{Electrical work done} = -2FE \quad (7)$$

F คือ ค่าคงที่ของฟาราเดีย และ E คือค่าแรงดันไฟฟ้าของเซลล์เชื้อเพลิง และสามารถเปลี่ยนรูปของงานของไฟฟ้าเป็น Gibbs free energy ถ้าระบบนั้นเป็นระบบผันกลับได้แสดงดังสมการ

$$\Delta g_f = -2FE \quad (8)$$

นำสมการที่ (8) แทนที่ในสมการที่ (6) เพื่อหาแรงดันไฟฟ้าของเซลล์เชื้อเพลิง E ได้ดังนี้

$$E = \frac{-\Delta g_f}{2F} = \frac{-\Delta g_f^0}{2F} + \frac{RT_{fc}}{2F} \ln \left[\frac{p_{H_2} p_{O_2}^{\frac{1}{2}}}{p_{H_2O}} \right] \quad (9)$$

ในการใช้งานจริงเซลล์เชื้อเพลิงนั้นไม่เป็นระบบผันกลับได้ การเปลี่ยนแปลงของ Gibbs free energy นั้นเปลี่ยนแปลงจากภาวะมาตรฐาน ที่อุณหภูมิ 25 °C และความดัน 1 atm ค่าแรงดันไฟฟ้าขั้วอิจของเซลล์เชื้อเพลิงมีค่าเท่ากับ 1.229 V ซึ่งแปรผันตามอุณหภูมิตั้งสมการที่ (10)

$$-\frac{\Delta g_f^0}{2F} = 1,229 + (T_{fc} - T_0) \left(\frac{\Delta S^0}{2F} \right) \quad (10)$$

เนื่องจากการเปลี่ยนแปลงของความร้อนจำเพาะกับการเปลี่ยนแปลงอุณหภูมิที่สอดคล้องกับกับการเปลี่ยนแปลงของอัตราปั๊มน้ำ (ΔS⁰) ของปฏิกิริยาเรือกชั้นแสดงกังสมการที่ (11)

$$-\frac{\Delta g_f^0}{2F} = 1,229 - \frac{298,15 * \Delta S^0}{2F} + \left(\frac{\Delta S^0}{2F} \right) T_{fc} \quad (11)$$

แรงดันไฟฟ้าของเซลล์เชื้อเพลิงในอุดมคติสามารถหาได้สมการที่ (12)

$$E = 1,229 - 8,5 * 10^{-4} (T_{fc} - 298,15) + 4,308 * 10^{-5} T_{fc} (\ln(p_{H_2}) + 0,5 \ln(p_{O_2})) \quad (12)$$

โดยทั่วๆไปแรงดันไฟฟ้าของเซลล์เชื้อเพลิงที่ใช้งานจริง (actual fuel cell voltage, U_{fc}) นั้นจะมีค่าน้อยกว่าที่คำนวณได้จากสมการที่ 12 ผลของการแตกต่างนั้นเนื่องมาจากการสูญเสียของเซลล์เชื้อเพลิง ซึ่งประกอบไปด้วย โพลาไรเซชันทางเคมี (R_{act}) โพลาไรเซชันเนื่องจากความต้านทาน (R_{ohm}) และ โพลาไรเซชันเนื่องจากความเข้มข้น (R_{conc}) จากการสูญเสียดังกล่าวของแรงดันไฟฟ้าในเซลล์เชื้อเพลิงสามารถเขียนสมการใหม่ได้ดังสมการที่ 13

$$U_{fc} = E - U_{act} - U_{ohm} - U_{conc} \quad (13)$$

โพลาไรเซชันทางเคมี (chemical polarization)

โพลาไรเซชันทางเคมี (chemical polarization) หรือ activation polarization (U_{act}) จะเกิดในช่วงแรกของการลดลงของความต่างศักย์คร่อมเซลล์เชือเพลิง โดยเกิดขึ้นเนื่องจากอัตราเร็วของการเกิดปฏิกิริยา (reaction rate) มีค่าต่างดังปฏิกิริยาที่ข้าวอาโนด ความสัมพันธ์ระหว่าง U_{act} และความหนาแน่นของกระแส (i) สามารถหาได้จาก Tafel equation [16].

$$U_{act} = \alpha \ln\left(\frac{i}{i_0}\right) \quad (14)$$

สมการของ Tafel สามารถใช้ได้จาก $i > i_0$ สำหรับเซลล์เชือเพลิงแบบอุณหภูมิต่ำ เช่น เซลล์เชือเพลิงแบบเยื่อแลกเปลี่ยนโปรตرون (PEMFC) เป็นต้น, ค่าเริ่มต้นของ i_0 มีค่าประมาณ 0.1 mA/cm^2 [16]. อย่างไรก็ตามในแบบจำลองทางคณิตศาสตร์นี้ U_{act} สามารถหาได้จากการสมการ

$$U_{act} = u_0 + u_a (1 - e^{-c_1 i}) \quad (15)$$

เมื่อ

u_0 คือ การลดลงของแรงดันไฟฟ้าที่ความหนาแน่นของกระแสไฟฟ้ามีค่าเท่ากับ 0
 u_a และ c_1 เป็นค่าคงที่สามารถหาได้จากการทดลอง

โพลาไรเซชันเนื่องจากความต้านทาน (The ohmic loss)

โพลาไรเซชันเนื่องจากความต้านทานนี้เกิดขึ้นจากความต้านทานของเซลล์เชือเพลิงเกิดเนื่องมาจากองค์ประกอบของตัวเซลล์เอง ซึ่งประกอบด้วย ความต้านทานของขั้วไฟฟ้า สารละลาย อิเล็กโทรไลท์ และองค์ประกอบที่เป็นอิเล็กทรอนิกส์ของเซลล์ โดยเฉพาะกรณีเซลล์เชือเพลิงแบบเมมเบรนแลกเปลี่ยนโปรตอนองค์ประกอบที่มีความต้านทานมาก คือ เมมเบรนที่ทำหน้าที่เป็นอิเล็กโทรไลท์ ซึ่งนำไอออนได้น้อยกว่าสารละลายกรดหรือเบส โพลาไรเซชันเนื่องจากความต้านทานเกิดในช่วงกลางของกราฟโพลาไรเซชัน แสดงสมการที่ (16) ซึ่งมีความสัมพันธ์แบบเส้นตรง กับความหนาแน่นของกระแส (current density) [17]

$$U_{ohm} = i \times R_{ohm} \quad (16)$$

โพลาไรเซชันเนื่องจากความต้านทานเป็นพังก์ชันของการนำไฟฟ้าของเมมเบรน (σ_m) และความหนาของเมมเบรน (t_m) [17].

$$R_{ohm} = \frac{t_m}{\sigma_m} \quad (17)$$

การนำไฟฟ้าของเมมเบรน (σ_m) เป็นพังส์ชั้นของปริมาณน้ำภายในเมมเบรน (λ_m) และอุณหภูมิของเซลล์เชื้อเพลิงซึ่งสามารถแสดงได้ดังสมการที่ (18) ส่วนค่าของ λ_m มีค่าระหว่าง 0 ถึง 14 ซึ่งแทนค่าความชื้นสัมพัทธ์ระหว่าง 0% ถึง 100% [17]

$$\sigma_m = (b_{11}\lambda_m - b_{12}) * e^{\left(b_2\left(\frac{1}{303} - \frac{1}{T_f}\right)\right)} \quad (18)$$

ค่าคงที่ b_{11} , b_{12} and b_2 สามารถหาได้จากการทดลอง (empirically) [17].

โพลาไรเซชันเนื่องจากความเข้มข้น (The Concentration losses)

โพลาไรเซชันเนื่องจากความเข้มข้น (U_{conc}) เกิดในช่วงท้ายสุดของกราฟโพลาไรเซชัน ซึ่งเป็นช่วงที่เกิดความหนาแน่นของกระแสไฟฟ้าสูง การลดลงของความต่างศักย์เนื่องมาจากการข้อจำกัดในการจ่ายเชื้อเพลิงหรือตัวออกซิไดซ์ให้กับเซลล์เชื้อเพลิงซึ่งจำเป็นต้องใช้เป็นจำนวนมาก ทั้งนี้ขึ้นอยู่กับความสามารถในการแพร่ (diffusion) ก้าวไปยังขั้วไฟฟ้า เพื่อใช้ในการผลิตกระแสไฟฟ้าในช่วงที่มีความหนาแน่นของกระแสไฟฟ้าสูง และผลของปฏิกิริยา (product) ซึ่งเกิดที่ขั้วไฟฟ้ามีผลให้ความเข้มข้นของสารตั้งต้นลดลงหรืออีกนัยหนึ่งคือ ความดันของสารตั้งต้นลดลง เป็นผลให้ศักย์ไฟฟ้าลดลง ตามสมการของเนินส์ต์ สำหรับการลดลงของแรงดันไฟฟ้าเนื่องจากความเข้มข้นสามารถหาได้จากสมการ [17]

$$U_{conc} = i \left(c_2 \frac{i}{i_{max}} \right)^{c_3} \quad (19)$$

เมื่อ c_2 และ c_3 คือค่าคงที่ ซึ่งค่าคงที่ดังกล่าวสามารถหาได้จากการทดลอง และ i_{max} คือค่าสูงสุดของความหนาแน่นของกระแส ซึ่งค่าของ c_2 , c_3 และ i_{max} ขึ้นอยู่กับอุณหภูมิและความดันของเซลล์เชื้อเพลิง [17].

นำสมการที่ (15), (16) และ (19) แทนลงในสมการที่ (16) ได้ดังนี้

$$U_{fc} = E - [u_0 + u_a (1 - e^{-c_1 i})] - [i R_{ohm}] - \left[i \left(c_2 \frac{i}{i_{max}} \right)^{c_3} \right] \quad (20)$$

1683961X

15 ก.ย. 2558



สำนักหอสมุด

ตอนที่ 3 การประเมินด้านเศรษฐศาสตร์ของระบบเซลล์เชือเพลิงแบบอิสระ

การประเมินทางเศรษฐศาสตร์ของระบบเซลล์เชือเพลิงแบบอิสระมีขั้นตอนดังนี้

ขั้นตอนการวิเคราะห์ทางเศรษฐศาสตร์แบ่งออกเป็น 2 ส่วนคือ

1. การประเมินปริมาณพลังงานไฟฟ้าที่ผลิตได้รายปี จากตอนที่ 1 (กิโลวัตต์ชั่วโมง)
2. การหาค่าสมมูลรายปีของระบบฯ ตลอดช่วงอายุการใช้งานของระบบ

การประเมินค่าไฟฟ้าต่อหน่วยของระบบผลิตไฟฟ้าด้วยเซลล์เชือเพลิง จะพิจารณาจากการลงทุนของระบบต่าง ๆ ดังต่อไปนี้

ก. เงินลงทุนเริ่มแรกประกอบด้วย

- 1) เซลล์เชือเพลิง
- 2) แบตเตอรี่
- 3) เครื่องแปลงกระแสไฟฟ้า
- 4) อุปกรณ์ติดตั้งอื่นๆ เช่น สายไฟ สวิตช์ไฟฟ้า ฯลฯ
- 5) ค่าแรงในการติดตั้ง

ข. เงินลงทุนประจำปีได้แก่

- 1) ค่าซ่อมบำรุง
- 2) ค่าไฟฟ้า

ข้อมูลที่ใช้ในสมการคำนวณการหาราคาค่าไฟฟ้าต่อหน่วยของระบบผลิตไฟฟ้าด้วยเซลล์เชือเพลิงประกอบด้วย

- 1) ราคาเริ่มต้นของการติดตั้งระบบฯ (Capital Cost, C_C)
- 2) ค่าเดินระบบและซ่อมบำรุงประจำปี (Operation & Maintenance Cost, C_{om})
- 3) ต้นทุนทดแทนของเซลล์เชือเพลิง (Fuel Cell Replacement Cost, C_{rm})
- 4) ต้นทุนทดแทนของระบบย่อย (Subsystem Replacement Cost, C_{rs})
- 5) อายุการใช้งานของเซลล์เชือเพลิง (PV Array Life Time, Y_m)
- 6) อายุการใช้งานของระบบย่อย (Subsystem Life Time, Y_s)
- 7) ปริมาณพลังงานไฟฟ้าที่ระบบผลิตได้ตลอดทั้งปี (PV System Energy Output, E_y)

ในการคำนวณจะทำการพิจารณาในช่วงระยะเวลา Y ปี ข้อตราช่วงลด (Discount Rate) เท่ากับ $d\%$ อัตราเงินเฟ้อ (Inflation Rate) เท่ากับ i เปอร์เซ็นต์

การวิเคราะห์ประกอบด้วย

1. การหามูลค่าปัจจุบันของต้นทุนทดแทนทั้งหมด (C_r) ของเซลล์เชือเพลิงและระบบย่อยจากสมการ

$$C_r = C_{rm} \sum_{i=1}^{n_m} \left[\frac{(1+i)^{y-1}}{(1+d)^{iy_m}} \right] + C_{rs} \sum_{i=1}^{n_s} \left[\frac{(1+i)^{y-1}}{(1+d)^{iy_s}} \right] \quad (21)$$

n_m	คือ	จำนวนชลล์เชื้อเพลิง
n_s	คือ	จำนวนระบบย่อย
C_{rm}	คือ	ราคาชลล์เชื้อเพลิงที่เปลี่ยนทดแทน (บาท)
C_{rs}	คือ	ราคาระบบย่อยที่เปลี่ยนทดแทน (บาท)

2. การหาค่าปัจจุบันการเดินระบบและซ่อมบำรุง

$$C_B = C_{rm} \times P_a \quad (22)$$

P_a คือ ตัวปรับค่าเข้าสู่ค่าปัจจุบันของระบบ (Present Worth Factor)
แสดงดังตาราง 4

$$P_a = \frac{(1+d)^Y + 1}{d(1+d)^Y} \quad (23)$$

ตารางที่ 4 ตัวคูณปรับค่าเข้าสู่ค่าปัจจุบัน

อัตราส่วนลด (%)	ตัวคูณปรับค่าเข้าสู่ปัจจุบันสำหรับจำนวนปีที่พิจารณา					
	5	10	15	20	25	30
0	5.0	10.0	15.0	20.0	25.0	30.0
5	4.3	7.7	10.4	12.5	14.1	15.4
10	3.8	6.1	7.6	8.5	9.1	9.4
15	3.3	5.0	5.9	6.3	6.5	6.6
20	3.0	4.2	4.7	4.9	5.0	5.0

3. การคำนวณราคาตลอดช่วงอายุการใช้งานของระบบ (Life Cycle Cost, LCC)

$$LCC = C_c + C_r + C_a - C_s \quad (24)$$

C_c คือ ราคาเริ่มต้นของการติดตั้งระบบฯ (บาท)
 C_s คือ ค่าซากของระบบฯ (บาท)

4. การคำนวณค่าสมมูลประจำปีของราคาระบบทั้งช่วงอายุการใช้งานของระบบ (Annual Equivalent of the Life Cycle Cost, ALCC)

$$ALCC = LCC/P_a \quad (25)$$

5. การคำนวณราคาค่าไฟฟ้าต่อหน่วยของระบบเซลล์เชื้อเพลิงจากการสมการ

$$C_w = ALCC/E_y \quad (26)$$

Q_y คือ ปริมาณพลังงานไฟฟ้าที่ระบบผลิตได้ตลอดทั้งปี ต่อหน่วยตารางเมตร

4.2 การศึกษาทางเศรษฐศาสตร์ของระบบผลิตไฟฟ้าจากเซลล์เชื้อเพลิง

การพิจารณาทางด้านเศรษฐศาสตร์ของระบบผลิตไฟฟ้าจากเซลล์เชื้อเพลิงฯ ในงานวิจัยนี้มีเงื่อนไขในการพิจารณาดังต่อไปนี้

1. ราคาเซลล์เชื้อเพลิงเท่ากับ 50,000 บาท/กิโลวัตต์
2. ราคาก่อสร้างอุปกรณ์ประกอบต่างๆ ในระบบคิดรวมภาษีมูลค่าเพิ่ม 7 เปอร์เซ็นต์
3. อัตราส่วนลดเท่ากับ 7.10 เปอร์เซ็นต์ต่อปี
4. อัตราเงินเฟ้อเท่ากับ 2.16 เปอร์เซ็นต์ต่อปี (อ้างอิงจาก ธนาคารแห่งประเทศไทย ณ เดือนกรกฎาคม 2557)
5. มูลค่าซากของระบบฯ คิดที่ 5 เปอร์เซ็นต์ของเงินลงทุนติดตั้งระบบ
6. ใช้มูลค่าเงินในปี 2557

ตารางที่ 5 อายุการใช้งานของอุปกรณ์และค่าบำรุงรักษาต่อปี

อุปกรณ์	อายุการใช้งาน (ปี)	ค่าบำรุงรักษาคิดเป็น % ของราคาก่อสร้าง
เซลล์เชื้อเพลิง	10	1.00
เครื่องแปลงกระแสไฟฟ้า	10	1.00
แบตเตอรี่	5	1.00
สายไฟฟ้าและอุปกรณ์ไฟฟ้าอื่นๆ	10	1.00

บทที่ 4

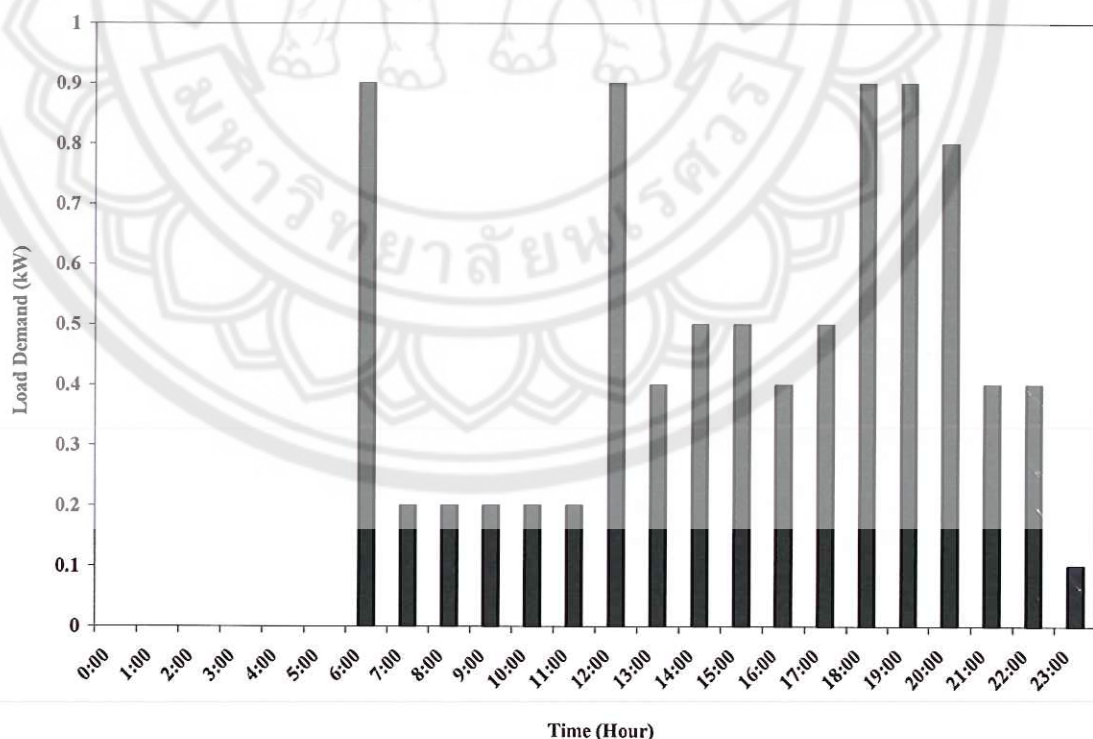
ผลการทดสอบ และการวิเคราะห์ข้อมูล

ผลการทดสอบของการศึกษาวิจัยการประเมินสมรรถนะทางด้านเทคนิคและเศรษฐศาสตร์ของระบบผลิตไฟฟ้าด้วยเซลล์เชือกเพลิงแบบอิสระนั้นแบ่งออกเป็น 3 ตอนได้แก่ 1) การประเมินสมรรถนะทางด้านเทคนิคของระบบเซลล์เชือกเพลิงแบบอิสระ 2) การพัฒนาแบบจำลองทางคณิตศาสตร์ของระบบเซลล์เชือกเพลิง 3) การประเมินทางด้านเศรษฐศาสตร์ของระบบเซลล์เชือกเพลิงแบบอิสระ

ตอนที่ 1 ผลการประเมินสมรรถนะทางด้านเทคนิคของระบบเซลล์เชือกเพลิงแบบอิสระ

การใช้ไฟฟ้าสำหรับการศึกษาวิจัย

การใช้กำลังไฟฟ้าในแต่ละพื้นที่นั้นมีการใช้ที่ค่อนข้างแตกต่างกันทั้งนี้ ขึ้นอยู่กับหลายปัจจัย ได้แก่ สภาพภูมิอากาศ ราคาค่าไฟฟ้า รวมไปถึงการนำไปใช้งานในแต่ละรูปแบบ เช่น การใช้งานเพื่อเป็นแหล่งจ่ายไฟฟ้าให้กับสถานีสื่อสาร การใช้งานสำหรับบ้านเรือน หรือการใช้งานสำหรับเครื่องเตือนภัยสีนามิ เป็นต้น สำหรับงานวิจัยนี้ได้จำลองสภาพการภาระไฟฟ้าภายในอาคารทดสอบ ของวิทยาลัย พลังงานทดแทน (ดังรูปที่ 15)

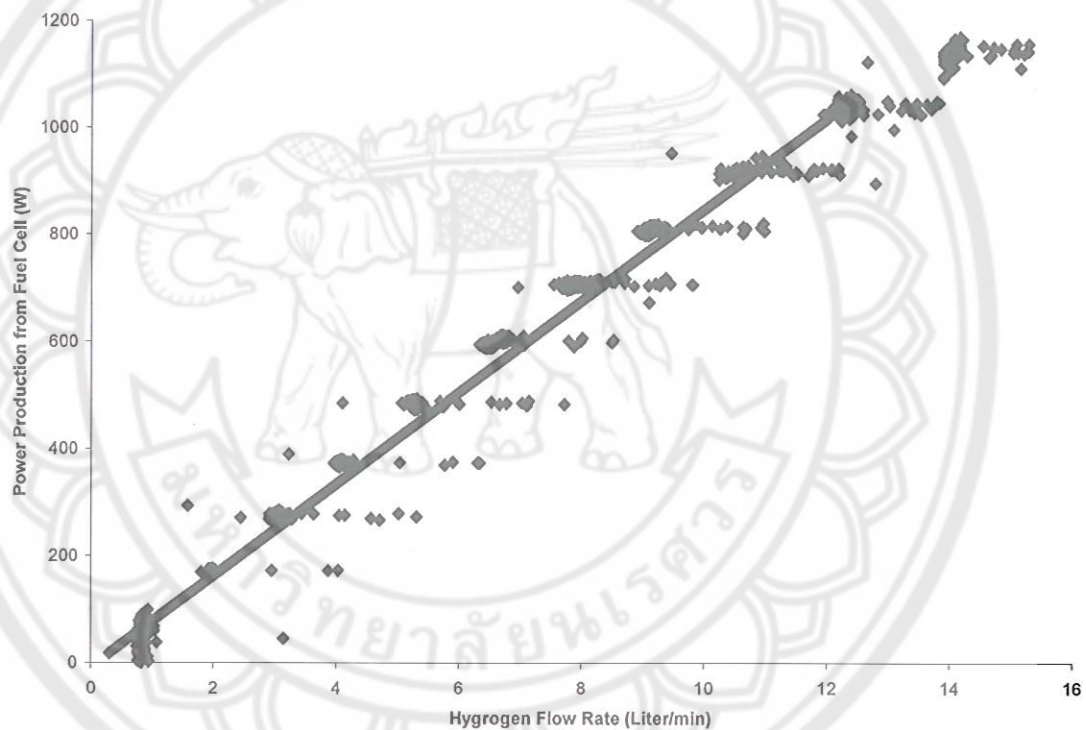


รูปที่ 15 การจำลองสภาพของภาระไฟฟ้า

จากรูปที่ 15 จะเห็นได้ว่าความต้องการไฟฟ้าสูงสุดของวันมีค่าเท่ากับ 900 วัตต์ ช่วงเช้า เที่ยง และตอนเย็นเนื่องจากในช่วงเวลาดังกล่าวเป็นของการประกอบอาหารจึงทำให้มีความต้องการไฟฟ้าค่อนข้างสูง ในขณะที่ความต้องการไฟฟ้าต่ำสุดนั้นเท่ากับ 100 วัตต์ โดยค่าความต้องการพลังงานไฟฟ้าต่อวันมีค่าเท่ากับ 8,600 วัตต์ชั่วโมงต่อวัน หรือคิดเป็น 3,139 กิโลวัตต์ชั่วโมงต่อปี

ความสัมพันธ์ระหว่างปริมาณการใช้ไฮโดรเจนกับกำลังไฟฟ้าที่ผลิตได้จากเซลล์เชื้อเพลิง

จากผลการทดสอบพบว่าความสัมพันธ์ระหว่างกำลังไฟฟ้าที่ผลิตได้จากเซลล์เชื้อเพลิงแปรผันตรงกับปริมาณการใช้ไฮโดรเจนแสดงดังรูปที่ 16

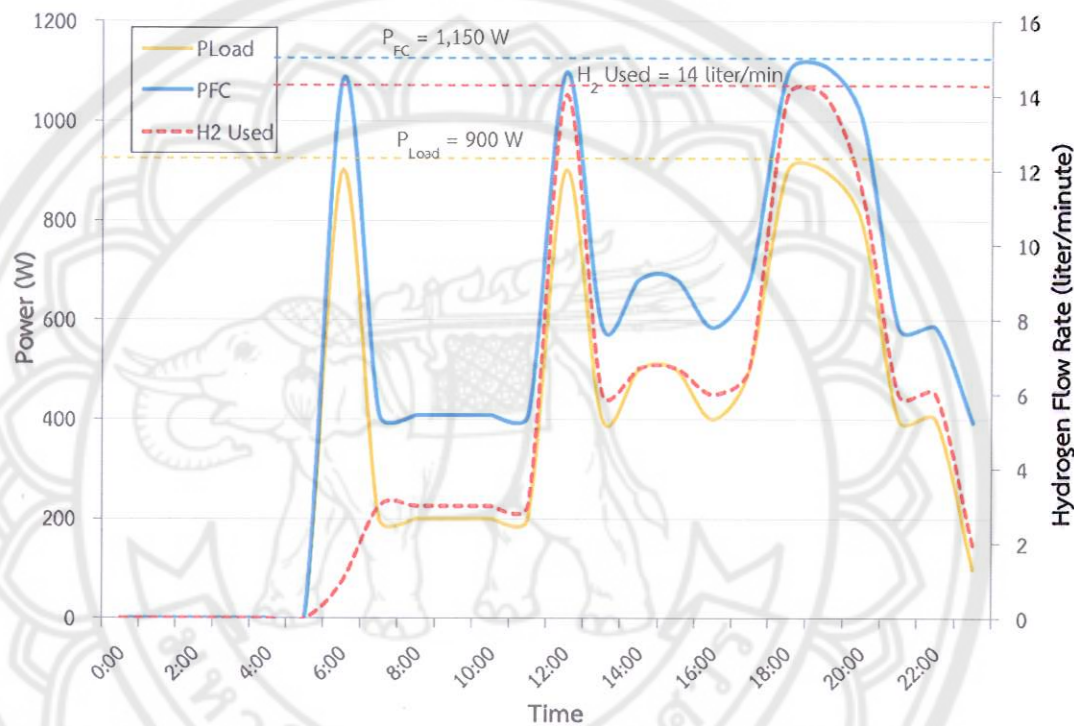


รูปที่ 16 ความสัมพันธ์ระหว่างปริมาณการใช้ไฮโดรเจนกับกำลังไฟฟ้าที่ผลิตได้จากเซลล์เชื้อเพลิง

จากรูป 16 จะเห็นได้ว่าที่กำลังไฟฟ้าสูงสุดเท่ากับ 1,200 วัตต์นั้นมีอัตราการใช้ไฮโดรเจนประมาณ 16 liter/minute เมื่อเทียบกับข้อกำหนดทางด้านเทคนิคจากบริษัทผู้ผลิตจากตารางที่ 3.1 นั้นพบว่าอัตราการใช้เชื้อเพลิงไฮโดรเจนสำหรับการผลิตกระแสไฟฟ้าที่กำลังสูงสุดนั้นอยู่กว่าประมาณ 2 liter/minute และปริมาณการใช้ไฮโดรเจนและการผลิตไฟฟ้าของเซลล์เชื้อเพลิงนั้นสามารถเขียนเป็นสมการเชิงเส้นได้ดังนี้ $y = 83.218x + 23.499$ เมื่อ y คือกำลังไฟฟ้าที่เซลล์เชื้อเพลิงผลิตได้ และ x คือปริมาณไฮโดรเจนที่ใช้สำหรับเซลล์เชื้อเพลิง จากสมการพบว่าหากใช้ไฮโดรเจน 1 liter/minute เซลล์เชื้อเพลิงจะสามารถผลิตกระแสไฟฟ้าได้ประมาณ 100 วัตต์

ความสัมพันธ์ระหว่างกำลังไฟฟ้าที่ผลิตได้จากเซลล์เชื้อเพลิง กำลังไฟฟ้าที่จ่ายให้กับไฟฟ้าและปริมาณการใช้ไฮโดรเจน

ความสัมพันธ์ระหว่างกำลังไฟฟ้าที่ผลิตได้จากเซลล์เชื้อเพลิง กำลังไฟฟ้าที่จ่ายให้กับไฟฟ้าและปริมาณการใช้ไฮโดรเจน แสดงดังรูปที่ 17

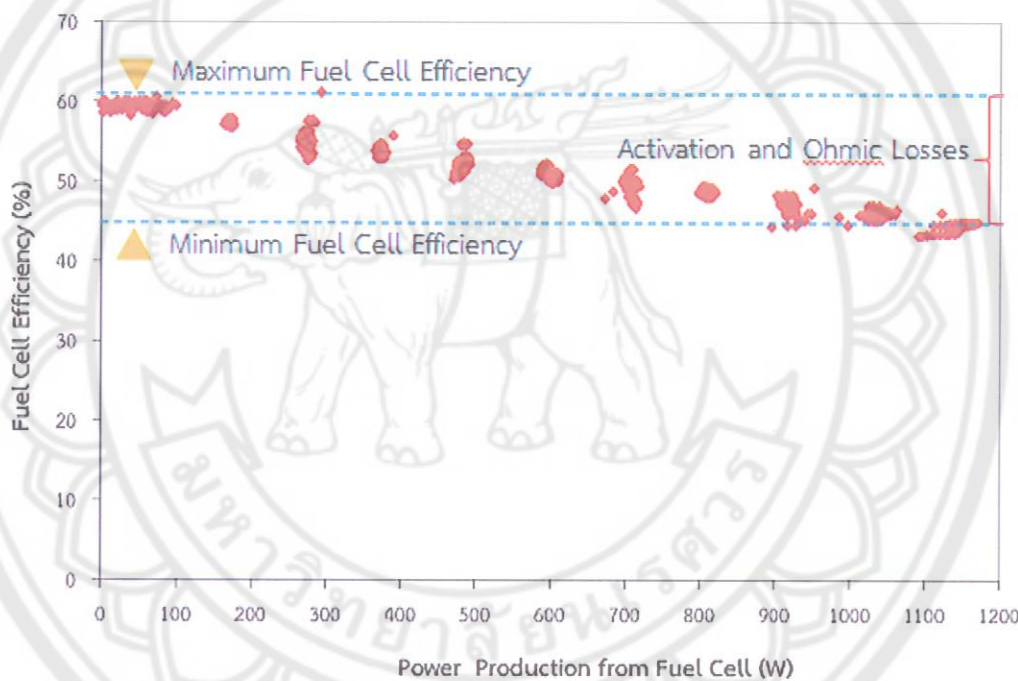


รูปที่ 17 ความสัมพันธ์ระหว่างกำลังไฟฟ้าที่ผลิตได้จากเซลล์เชื้อเพลิง กำลังไฟฟ้าที่จ่ายให้กับไฟฟ้าและปริมาณการใช้ไฮโดรเจน

จากรูปที่ 17 จะเห็นได้ว่าปริมาณไฟฟ้าที่ผลิตได้จากเซลล์เชื้อเพลิงนั้นมีค่าสูงสุดที่ 1,150 วัตต์ เมื่อแบล็คเป็นไฟฟ้ากระแสสลับเพื่อจ่ายให้กับไฟฟ้าที่ 900 วัตต์ ซึ่งมีการใช้ปริมาณไฮโดรเจนเท่ากับ 14 ลิตรต่อนาที โดยตลอดทั้งวันพบว่าเซลล์เชื้อเพลิงมีการผลิตพลังงานไฟฟ้าทั้งสิ้น 12.2 กิโลวัตต์ชั่วโมงต่อวัน เพื่อจ่ายให้กับไฟฟ้า 8.6 กิโลวัตต์ชั่วโมงต่อวัน จะเห็นได้ว่าในการเปลี่ยนรูปพลังงานจากไฟฟ้ากระแสตรงที่เซลล์เชื้อเพลิงผลิตได้เป็นไฟฟ้ากระแสสลับในการจ่ายให้กับไฟฟ้านั้นมีการสูญเสียพลังงาน 3.6 กิโลวัตต์ชั่วโมงต่อวัน

ประสิทธิภาพของเซลล์เชื้อเพลิง

ความสัมพันธ์ระหว่างค่ากำลังไฟฟ้าที่ผลิตได้จากเซลล์เชื้อเพลิงกับประสิทธิภาพของเซลล์เชื้อเพลิงแสดงดังรูปที่ 18 จากรูปพบว่าเซลล์เชื้อเพลิงมีประสิทธิภาพสูงที่สุดคิดเป็นร้อยละ 60 ณ สถานะแรงดันไฟฟ้าງจาร เปิด หรือไม่มีกระแสไฟฟ้า ขณะที่เมื่อเซลล์เชื้อเพลิงจ่ายไฟฟ้าที่กำลังไฟฟ้า สูงสุดเท่ากับ 1,200 วัตต์นั้นจะมีประสิทธิภาพเท่ากับร้อยละ 45 เนื่องมาจากการสูญเสียภายในของเซลล์เชื้อเพลิงในส่วนของ Activation Loss และ Ohmic Loss ในการทำปฏิกิริยาในเซลล์เชื้อเพลิง นั้นเอง ดังที่กล่าวไว้ในบทที่ 3 ในกรณีที่ต้องการให้เซลล์เชื้อเพลิงทำงานได้มีประสิทธิภาพสูงมากขึ้นในส่วนของการออกแบบนั้นควรมีการออกแบบให้เซลล์เชื้อเพลิงทำงานที่ประมาณร้อยละ 80 ของกำลังไฟฟ้าสูงสุดที่ระบุไว้ใน Specification

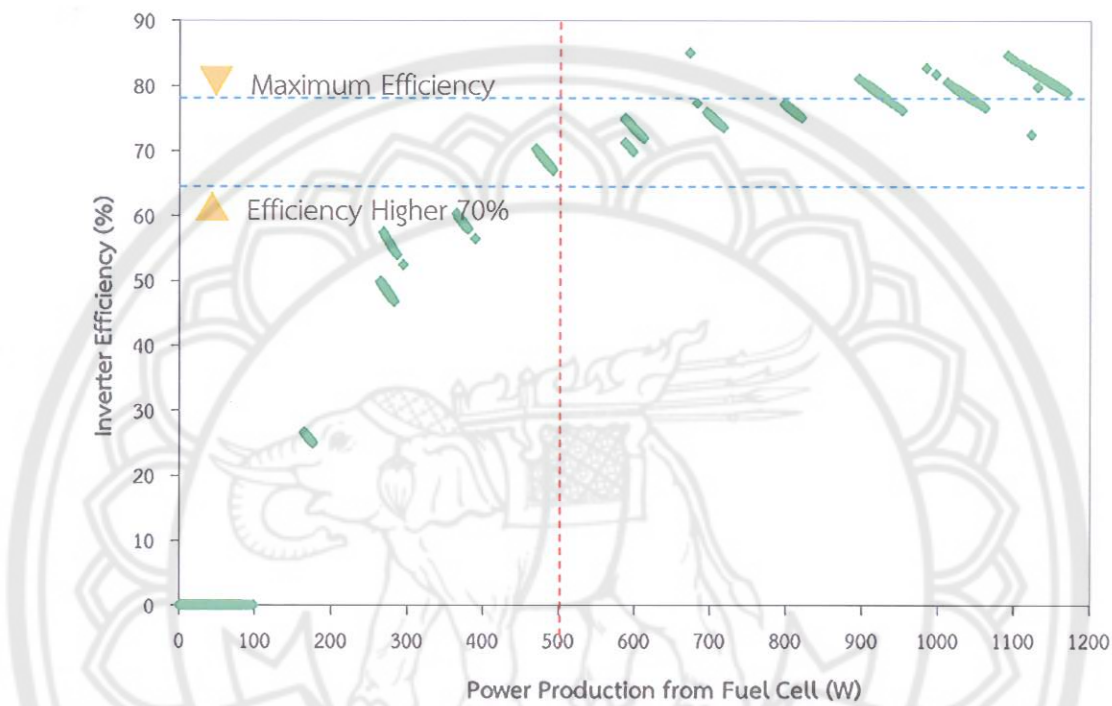


รูปที่ 18 ความสัมพันธ์ระหว่างค่ากำลังไฟฟ้าที่ผลิตได้จากเซลล์เชื้อเพลิง กับประสิทธิภาพของเซลล์เชื้อเพลิง

ประสิทธิภาพของเครื่องแปลงกระแสไฟฟ้า

ความสัมพันธ์ระหว่างค่ากำลังไฟฟ้าที่ผลิตได้จากเซลล์เชื้อเพลิงกับประสิทธิภาพของเครื่องแปลงกระแสไฟฟ้าแสดงดังรูปที่ 19 จากรูปแสดงผลการทดสอบเครื่องแปลงกระแสไฟฟ้าสำหรับเซลล์เชื้อเพลิงแบบอิสระพบว่าเครื่องแปลงกระแสไฟฟ้าดังกล่าวมีประสิทธิภาพสูงสุดคิดเป็นร้อยละ 82 เมื่อเซลล์เชื้อเพลิงจ่ายไฟฟ้าที่กำลังไฟฟ้าสูงสุดเท่ากับ 1,200 วัตต์ ในขณะที่ประสิทธิภาพของเครื่องแปลงกระแสไฟฟ้าจะมีประสิทธิภาพมากกว่าร้อยละ 70 เมื่อเซลล์เชื้อเพลิงจ่ายไฟฟ้าที่กำลังไฟฟ้าสูงกว่า 500 วัตต์ ดังนั้นในการออกแบบระบบเซลล์เชื้อเพลิงแบบอิสระควรมีการออกแบบให้มีการใช้กำลังไฟฟ้า

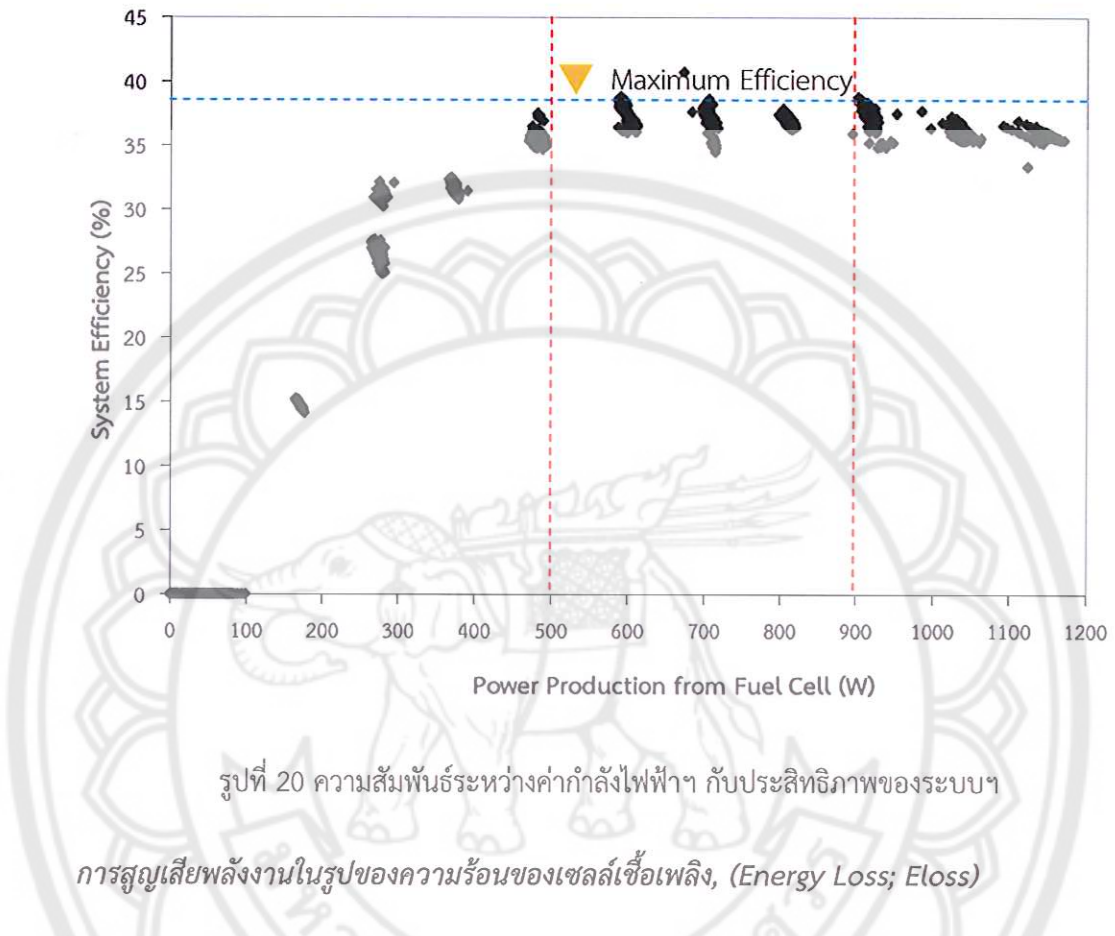
จากเซลล์เชื่อเพลิงสูงมากกว่าร้อยละ 40 ของกำลังไฟฟ้าสูงสุดที่ระบุใน Specification เพื่อให้มีความเหมาะสมกับการเชื่อมต่อกับเครื่องแปลงกระแสไฟฟ้านิดดังกล่าว อีกทั้งจะส่งผลให้เกิดการใช้งานระบบเซลล์เชื่อเพลิงแบบอิสระอย่างมีประสิทธิภาพสูงที่สุดอีกด้วย



รูปที่ 19 ความสัมพันธ์ระหว่างค่ากำลังไฟฟ้า กับประสิทธิภาพของเครื่องแปลงกระแสไฟฟ้า

ประสิทธิภาพของระบบเซลล์เชื่อเพลิงแบบอิสระ

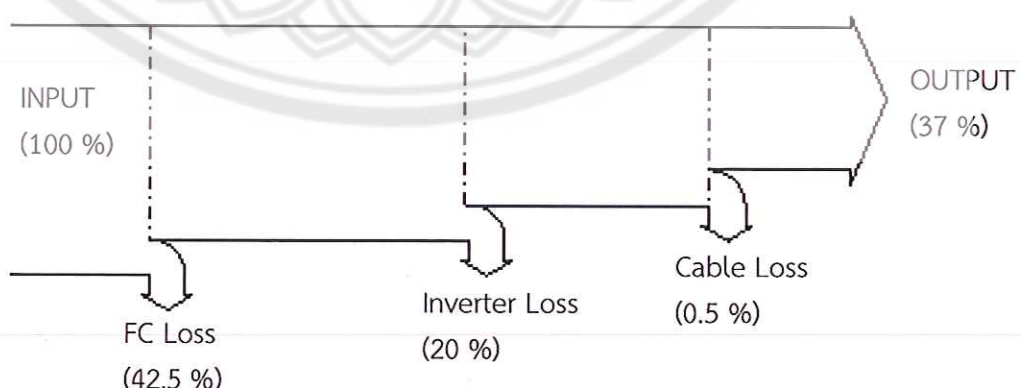
ความสัมพันธ์ระหว่างค่ากำลังไฟฟ้าที่ผลิตได้จากเซลล์เชื่อเพลิงกับประสิทธิภาพของระบบฯแสดงดังรูปที่ 20 จากผลการทดสอบระบบเซลล์เชื่อเพลิงแบบอิสระพบว่าระบบฯดังกล่าวมีประสิทธิภาพสูงสุดคิดเป็นร้อยละ 37 เมื่อเซลล์เชื่อเพลิงจ่ายไฟฟ้าที่กำลังไฟฟ้าระหว่าง 500 - 900 วัตต์ ในขณะที่ประสิทธิภาพของระบบจะประสิทธิภาพลดลงเมื่อเซลล์เชื่อเพลิงจ่ายไฟฟ้าที่กำลังไฟฟ้าสูงกว่า 900 วัตต์ เนื่องจากผลกระทบของ Ohmic loss ภายในเซลล์เชื่อเพลิงนั้นเอง ดังนั้นในการออกแบบระบบเซลล์เชื่อเพลิงแบบอิสระควรมีการออกแบบให้มีการใช้กำลังไฟฟ้าจากเซลล์เชื่อเพลิงอยู่ระหว่างร้อยละ 40 - 90 ของกำลังไฟฟ้าสูงสุดที่ระบุใน Specification เพื่อให้เกิดการใช้งานระบบเซลล์เชื่อเพลิงแบบอิสระอย่างมีประสิทธิภาพสูงที่สุด



รูปที่ 20 ความสัมพันธ์ระหว่างค่ากำลังไฟฟ้าฯ กับประสิทธิภาพของระบบฯ

การสูญเสียพลังงานในรูปของความร้อนของเซลล์เชื้อเพลิง, (Energy Loss; Eloss)

การสูญเสียพลังงานในระบบเซลล์เชื้อเพลิงแบบอิสระแสดงดังรูปที่ 21 จากผลการคำนวณพบว่าระบบเซลล์เชื้อเพลิงฯ นั้นมีการสูญเสียพลังงานในรูปความร้อนเฉลี่ยอยู่ที่ 7.6 หรือคิดเป็นร้อยละ 63 ที่การผลิตพลังงานไฟฟ้าของเซลล์เชื้อเพลิง 12.2 กิโลวัตต์ชั่วโมงต่อวัน



รูปที่ 21 การสูญเสียพลังงานในรูปของระบบเซลล์เชื้อเพลิงฯ

การสูญเสียของพลังงานของระบบเซลล์เชือเพลิงแบบอิสระสามารถจำแนกการสูญเสียจากอุปกรณ์หลักดังนี้

1. เซลล์เชือเพลิงนั้นเกิดจากปฏิกิริยาภายในเซลล์เชือเพลิงในการเปลี่ยนรูปจากพลังงานเคมีเป็นพลังงานไฟฟ้าพบว่ามีการสูญเสียประมาณร้อยละ 42.5
2. การสูญเสียจากการแปลงไฟฟ้าจากไฟฟ้ากระแสตรงเป็นไฟฟ้ากระแสสลับของเครื่องแปลงกระแสไฟฟ้าพบว่ามีการสูญเสียประมาณร้อยละ 20
3. การสูญเสียจากการความต้านทานภายในสายไฟฟ้าที่เลือกใช้ พนบว่ามีการสูญเสียประมาณร้อยละ 0.5

ตอนที่ 2 การพัฒนาแบบจำลองทางคณิตศาสตร์ของระบบเซลล์เชือเพลิง

แบบจำลองทางคณิตศาสตร์ของเซลล์เชือเพลิงนั้นจะเป็นการคำนวณแรงดันไฟฟ้าของเซลล์เชือเพลิงที่การทำงานในลักษณะการใช้งาน เช่นที่ ความดัน อุณหภูมิของเซลล์เชือเพลิง และความชื้นของเซลล์เชือเพลิงที่ค่าต่างๆกันตามลักษณะการใช้งานจริง โดยการพัฒนาแบบจำลองทางคณิตศาสตร์ในงานวิจัยนี้จะเน้นการพัฒนาแบบจำลองทางคณิตศาสตร์ในส่วนของเซลล์เชือเพลิงเท่านั้น โดยแบบจำลองทางคณิตศาสตร์ที่พัฒนาขึ้นนี้เป็นแบบวิธีเชมิ อิเมิ่มเพริคัล (Semi-empirical method) ซึ่งสมการที่ใช้สำหรับ Semi-empirical แสดงได้ดังนี้

$$U_{fc} = E - [u_0 + u_a(1 - e^{-c_1 i})] - [iR_{ohm}] - \left[i \left(c_2 \frac{i}{i_{max}} \right)^{c_3} \right] \quad (4.1)$$

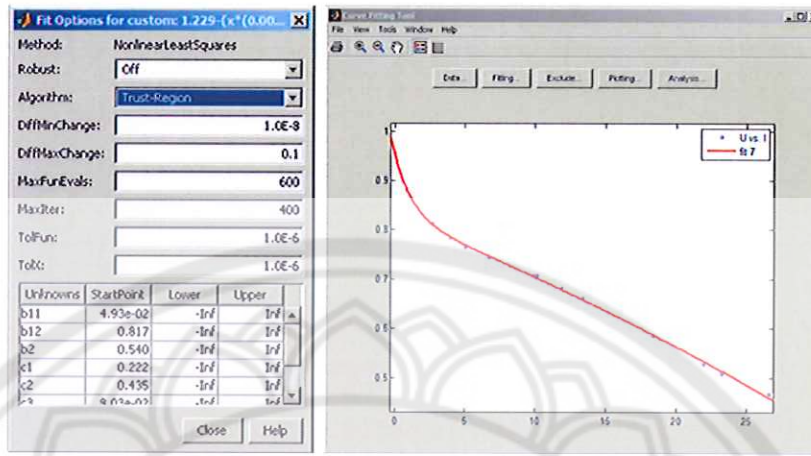
ความต้านทานภายในของเซลล์เชือเพลิงในส่วนของ Ohmic loss นั้นเป็นสัดส่วนระหว่างความหนาของเมมเบรนกับ Membrane Conductivity สามารถหาได้จากการสมการที่ 4.2

$$R_{ohm} = \frac{t_m}{\sigma_m} \quad (4.2)$$

และ Membrane Conductivity สามารถหาได้จาก สมการที่ 4.3

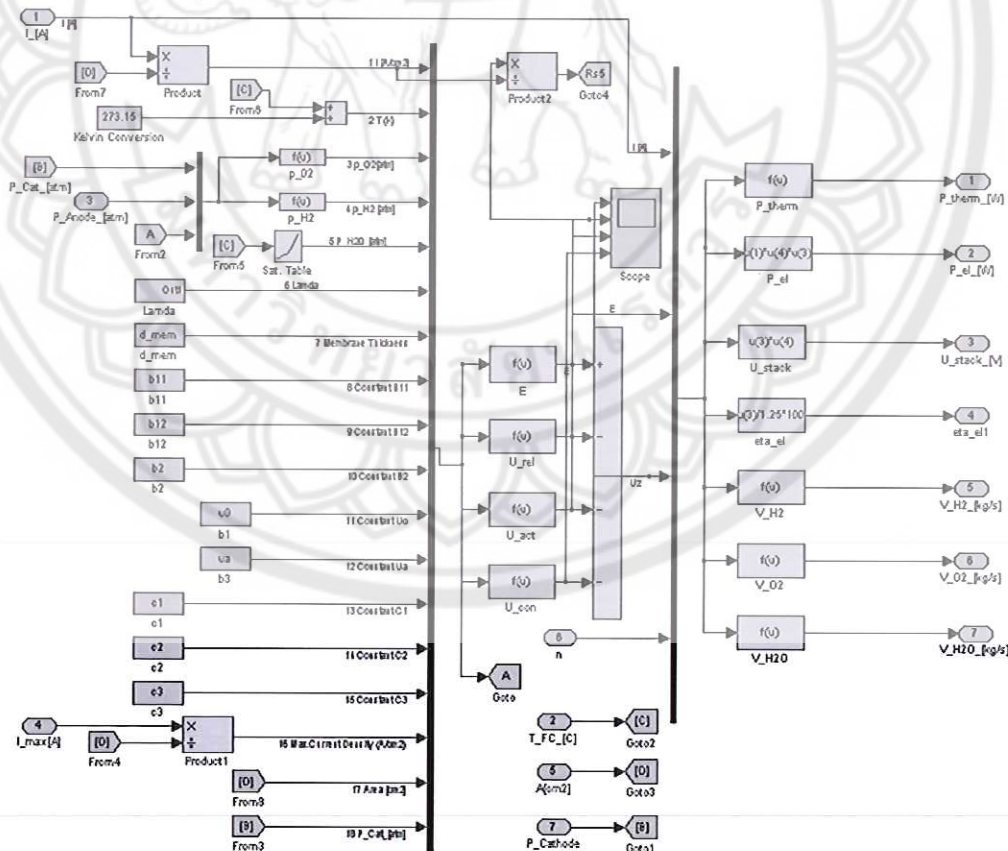
$$\sigma_m = (b_{11}\lambda_m - b_{12}) * e^{\left(b_2 \left(\frac{1}{303} - \frac{1}{T_{fc}} \right) \right)} \quad (4.3)$$

จากสมการจะเห็นได้ว่ามีพารามิเตอร์ที่เป็นค่าคงที่หลายตัวดังนี้ Uo, Ua, C1, C2, C3 B11, B12 and B2 ในงานวิจัยนี้พารามิเตอร์ที่เป็นค่าคงที่ต่างๆ นั้นจะทำการทำ Curve Fitting ด้วย Curve Fitting Tool จาก MATLAB โปรแกรม โดยจะใช้ข้อมูลในตอนที่ 1 เป็นข้อมูลขาเข้าในการทำ Curve Fitting โดยการทำ Curve Fitting แสดงดังรูปที่ 22



รูปที่ 22 การหาพารามิเตอร์คงที่ด้วยวิธีการทำ Curve Fitting

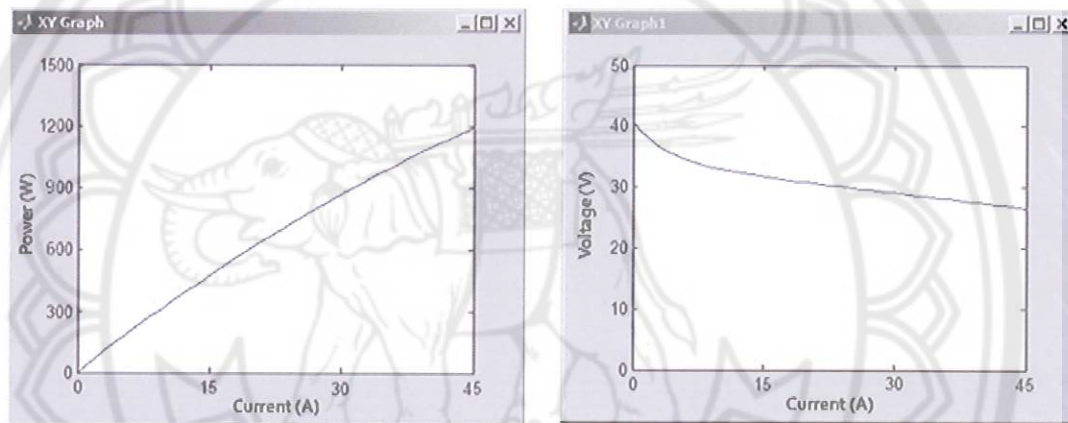
จากนั้นแบบจำลองที่ถูกพัฒนาขึ้นจะถูกนำมาใช้สำหรับการเขียนโปรแกรมด้วยโปรแกรม MATLAB/SIMULINK เพื่อผลลัพธ์ที่ได้ไปเปรียบเทียบผลการศึกษาในตอนที่ 1 ซึ่งโปรแกรมที่พัฒนาขึ้นแสดงดัง รูปที่ 23



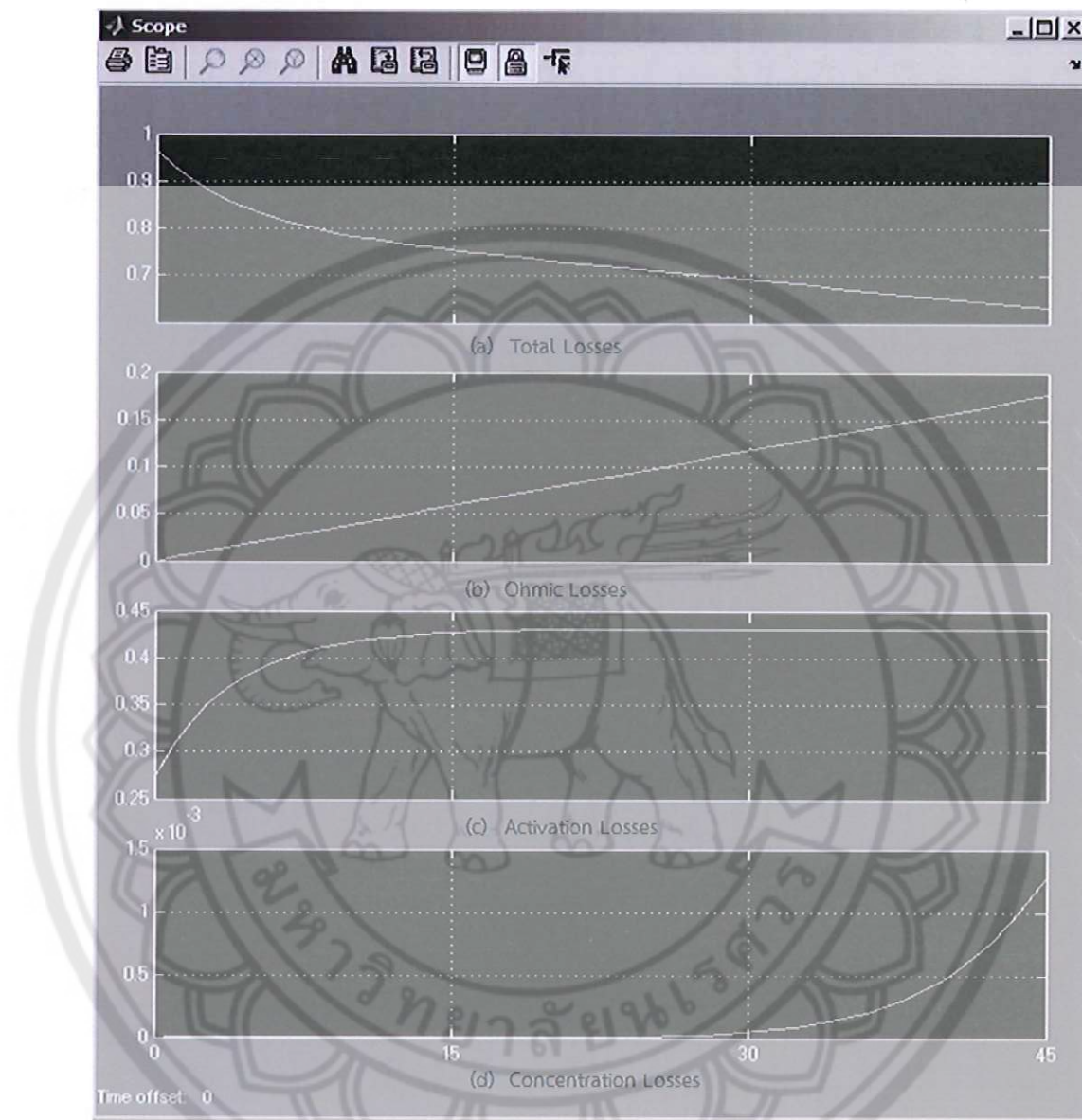
รูปที่ 23 MATLAB/SIMULINK สำหรับเซลล์เชื้อเพลิง

ผลของการจำลองการทำงานจากแบบจำลองทางคณิตศาสตร์ของเซลล์เชือเพลิงแสดงได้ด้วย polarization curve และ คุณลักษณะทางไฟฟ้า P-I (P-I characteristic curve) แสดงได้ดังรูปที่ 24 จากผลการจำลองการทำงานที่อุณหภูมิเซลล์เชือเพลิง 50 และที่ความชื้นของเมมเบรนมีค่าเท่ากับ 100 พบร้า กำลังไฟฟ้าที่ผลิตได้จากเซลล์เชือเพลิงมีค่าเท่ากับ 1,200 วัตต์ ที่แรงดันไฟฟ้า 26.67 V และกระแสไฟฟ้ามีค่าเท่ากับ 45 A

รูปที่ 25 แสดงให้เห็นถึงความพันธะระหว่างแรงดันและกระแสไฟฟ้าของเซลล์เชือเพลิงกราฟแสดงแรงดันไฟฟ้าที่ลดลง (Voltage Drop) ที่เกิดจาก Activation Loss, Ohmic Loss และ Concentration Loss ของเซลล์เชือเพลิง 1 เซลล์ แสดงดัง

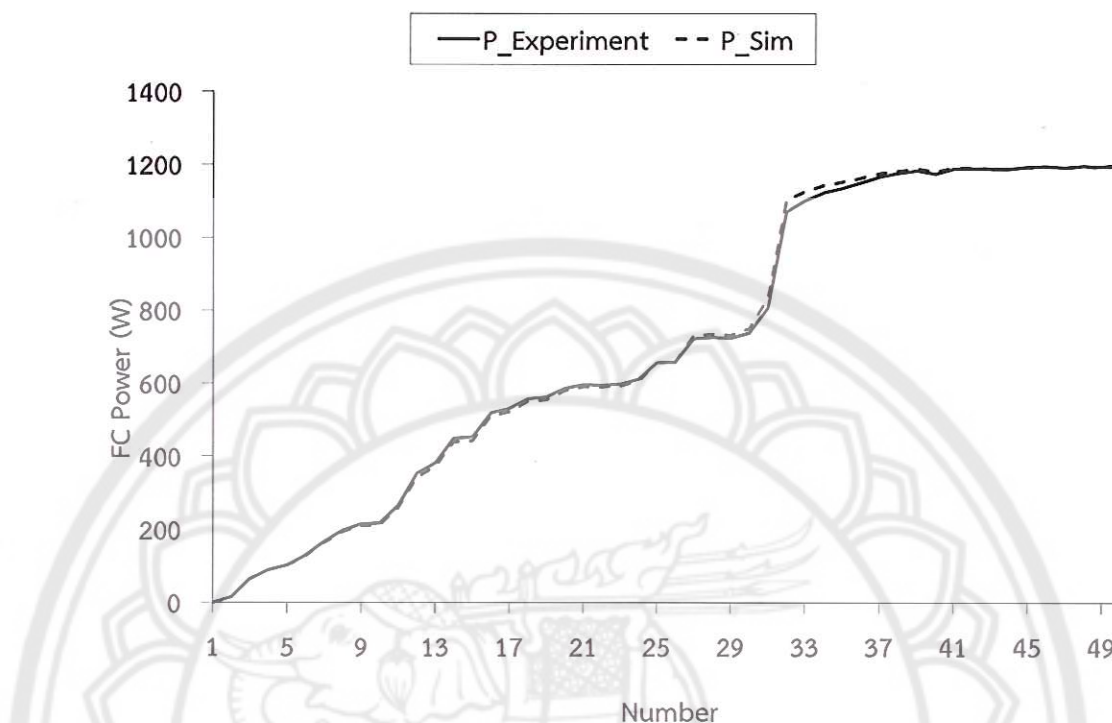


รูปที่ 24 polarization curve และ P-I characteristic curve ของเซลล์เชือเพลิง



รูปที่ 25 Voltage drops ที่เกิดจากการสูญเสียในการเปลี่ยนรูปพลังงานของเซลล์เชือเพลิง

การเปรียบเทียบผลที่ได้จากแบบจำลองทางคณิตศาสตร์และผลที่ได้จากการทดสอบของเซลล์เชือเพลิงแสดงดังรูปที่ 26 จากรูปแสดงให้เห็นว่าผลของกำลังไฟฟ้าที่ผลิตได้จากการทดสอบและแบบจำลองทางคณิตศาสตร์นั้นมีความแตกต่างกันไม่เกินร้อยละ 5 ซึ่งถือว่าอยู่ในเกณฑ์ที่ดี ผลที่แตกต่างกันนั้นมีสาเหตุมาจากการผู้วิจัยไม่สามารถวัดค่าปริมาณความชื้นภายในเมมเบรนได้จึงทำให้ผลในส่วนของค่า loss ที่เกิดจาก Ohmic loss มีความคลาดเคลื่อนบางเล็กน้อย



รูปที่ 26 การเปรียบเทียบกำลังไฟฟ้าที่ผลิตได้จากเซลล์เชือเพลิงระหว่างการทดสอบและแบบจำลอง

ตอนที่ 3 การประเมินทางด้านเศรษฐศาสตร์ของระบบเซลล์เชือเพลิงแบบอิสระ

การพิจารณาทางด้านเศรษฐศาสตร์ของระบบผลิตไฟฟ้าจากเซลล์เชือเพลิงฯ ในงานวิจัยนี้มีเงื่อนไขในการพิจารณาดังต่อไปนี้

1. ราคาเซลล์เชือเพลิงเท่ากับ 50,000 บาท/กิโลวัตต์
2. ราคาก่อสร้างและอุปกรณ์ประกอบต่างๆ ในระบบคิดรวมภาชนะมูลค่าเพิ่ม 7 เปอร์เซ็นต์
3. อัตราส่วนลดเท่ากับ 7.10 เปอร์เซ็นต์ต่อปี
4. มูลค่าซากของระบบฯ คิดที่ 5 เปอร์เซ็นต์ของเงินลงทุนติดตั้งระบบ
5. ใช้มูลค่าเงินในปี 2557

ตารางที่ 6 การลงทุนระบบเซลล์เชือเพลิงแบบอิสระ

รายการ	ราคาต่อหน่วย (บาท)	ราคารวม (บาท)
เซลล์เชือเพลิง	100,000.00	100,000.00
เครื่องแปลงกระแสไฟฟ้า	40,000.00	40,000.00
อุปกรณ์ประกอบร่วมในระบบ (สายไฟฟ้า เบρคเกอร์ ฯลฯ)	7,000.00	7,000.00
ค่าแรงในการติดตั้ง	10,000.00	10,000.00
ราคารวมทั้งสิ้น		157,000.00

ตารางที่ 7 การประเมินทางด้านเศรษฐศาสตร์ของระบบเซลล์เชือเพลิงแบบอิสระ

Year	Capital Cost	O&M	Discount Factor	NPV
0	157,000.00		1.000	158,570.00
1		1,570.00	1.000	1,570.00
2		1,570.00	0.934	1,465.92
3		1,570.00	0.872	1,368.74
4		1,570.00	0.814	1,278.00
5		1,570.00	0.760	1,193.28
6		1,570.00	0.710	1,114.17
7		1,570.00	0.663	1,040.31
8		1,570.00	0.619	971.34
9		1,570.00	0.578	906.95
10	- 7,850.00	1,570.00	0.539	846.83
			0.504	- 3,953.44
			Totol NPV	166,372.10

ALCC	23,797.26	Baht/Year
Energy Production	3,139.00	kWh/Year
Cost of Energy (COE)	7.58	Baht/kWh

จากการศึกษาทางด้านเศรษฐศาสตร์ของระบบเซลล์เชือเพลิงแบบอิสระพบว่าระบบเซลล์เชือเพลิงแบบอิสระขนาด 1.2 กิโลวัตต์ ต้องใช้งบประมาณในการลงทุน 157,000 บาท ค่าสมมูลประจำปีของราคาระบบทลอดช่วงอายุการใช้งานของระบบ (ALCC) มีค่าเท่ากับ 23,797 บาท โดยระบบฯ มีต้นทุนการผลิตไฟฟ้า (COE) 7.58 บาทต่อกิโลวัตต์ชั่วโมง ซึ่งหากเทียบกับราคาค่าไฟฟ้าในปัจจุบันที่มีอัตราอยู่ที่ประมาณ 3.5 บาทนั้น พบว่าต้นทุนในการผลิตไฟฟ้าของระบบเซลล์เชือเพลิงแบบอิสระสูงกว่าอัตราค่าไฟฟ้าในปัจจุบันประมาณ 2 เท่า แต่อย่างไรก็ตามระบบผลิตไฟฟ้าด้วยเซลล์เชือเพลิงแบบอิสระก็ยังเป็นที่น่าสนใจสำหรับในอนาคตอันใกล้เนื่องจากแนวโน้มของราคาเซลล์เชือเพลิงนั้นลดลงอย่างต่อเนื่องในปัจจุบัน และหากมีการใช้งานที่เพิ่มมากขึ้นจะเกิดการแข่งขันทางด้านราคาเหมือนกับเซลล์แสงอาทิตย์ในปัจจุบัน นอกจากเซลล์เชือเพลิงยังเป็นเทคโนโลยีในการผลิตไฟฟ้าที่ไม่มีการปลดปล่อยก๊าซเรือนกระจก อีกทั้งยังทำงานโดยปราศจากเสียงรบกวน และมีประสิทธิภาพในการเปลี่ยนรูปพลังงานเป็นไฟฟ้าสูงเมื่อเทียบกับเทคโนโลยีพลังงานหมุนเวียนชนิดอื่นๆ

บทที่ 5

สรุปและข้อเสนอแนะ

การศึกษาวิจัยการประเมินสมรรถนะทางด้านเทคนิคและเศรษฐศาสตร์ของระบบผลิตไฟฟ้าด้วยเซลล์เชือเพลิงแบบอิสระนั้นค่อนข้างวิจัยได้แบ่งผลการทดลองออกเป็น 3 ตอนได้แก่ 1) การประเมินสมรรถนะทางด้านเทคนิคของระบบเซลล์เชือเพลิงแบบอิสระ 2) การพัฒนาแบบจำลองทางคณิตศาสตร์ของระบบเซลล์เชือเพลิงแบบอิสระ 3) การประเมินทางด้านเศรษฐศาสตร์ของระบบเซลล์เชือเพลิงแบบอิสระ

- ประเมินสมรรถนะทางด้านเทคนิคของระบบผลิตไฟฟ้าด้วยเซลล์เชือเพลิงแบบอิสระ พบร่างระบบผลิตไฟฟ้าด้วยเซลล์เชือเพลิงแบบอิสระมีประสิทธิภาพสูงสุดคิดเป็นร้อยละ 37 เมื่อเซลล์เชือเพลิงจ่ายไฟฟ้าที่กำลังไฟฟาระหว่าง 500 - 900 วัตต์ ในขณะที่ประสิทธิภาพของระบบจะประสิทธิภาพลดลงเมื่อเซลล์เชือเพลิงจ่ายไฟฟ้าที่กำลังไฟฟ้าสูงกว่า 900 วัตต์ เนื่องจากผลกระทบของ Ohmic loss ภายใต้เซลล์เชือเพลิงนั้นเอง ดันนั้นในการออกแบบระบบเซลล์เชือเพลิงแบบอิสระควรมีการออกแบบให้มีการใช้กำลังไฟฟ้าจากเซลล์เชือเพลิงอยู่ระหว่างร้อยละ 40 - 90 ของกำลังไฟฟ้าสูงสุดที่ระบุใน Specification เพื่อให้เกิดการใช้งานระบบเซลล์เชือเพลิงแบบอิสระอย่างมีประสิทธิภาพสูงที่สุด การสูญเสียของพลังงานของระบบผลิตไฟฟ้าด้วยเซลล์เชือเพลิงแบบอิสระสามารถจำแนกการสูญเสียจากอุปกรณ์หลัก 3 ส่วนได้แก่ 1) เซลล์เชือเพลิงนั้นเกิดจากปฏิกิริยาภายในเซลล์เชือเพลิงในการเปลี่ยนรูปจากพลังงานเคมีเป็นพลังงานไฟฟ้าพบว่ามีการสูญเสียประมาณร้อยละ 42.5 2) การสูญเสียจากการแปลงไฟฟ้าจากไฟฟ้ากระแสตรงเป็นไฟฟ้ากระแสสลับของเครื่องแปลงกระแสไฟฟ้าพบว่ามีการสูญเสียประมาณร้อยละ 20 และ 3) การสูญเสียจากการความต้านทานภายในสายไฟฟ้าที่เลือกใช้ พบว่ามีการสูญเสียประมาณร้อยละ 0.5

- งานวิจัยนี้พัฒนาแบบจำลองทางคณิตศาสตร์ในส่วนของเซลล์เชือเพลิงด้วย วิธีเชมิ-เอ็มไพริคัล (Semi-empirical method) ซึ่งสมการที่ใช้สำหรับ Semi-empirical พบร่างแบบจำลองทางคณิตศาสตร์แสดงได้ดังนี้

$$U_{fc} = E - \left[0.2755 + 0.1556(1 - e^{-29.5i}) \right] - \left[i \frac{0.0125}{\sigma_m} \right] - \left[i \left(1.1483 \frac{i}{i_{max}} \right)^{7.1848} \right] \quad (5.1)$$

และ Membrane Conductivity, σ_m แสดงได้ดังนี้

$$\sigma_m = (0.005139 \lambda_m - 0.00326) * e^{\left(\frac{350}{303} - \frac{1}{T_k} \right)} \quad (5.2)$$

เมื่อการเปรียบเทียบค่ากำลังไฟฟ้าที่ผลิตได้จากเซลล์เชือเพลิงจากแบบจำลองทางคณิตศาสตร์และผลทดลอง พบร่างผลที่ได้ไปในทิศทางเดียวกันและมีความแตกต่างกันไม่เกินร้อยละ 5 ซึ่งถือว่าอยู่ในเกณฑ์ที่ดี สำหรับผลที่แตกต่างกันนั้นมีสาเหตุมาจากการผิดพลาดค่าปริมาณ

ความชื้นภายในเมมเบรนได้จึงทำให้ผลในส่วนของค่า loss ที่เกิดจาก Ohmic loss มีความคลาดเคลื่อนบางเล็กน้อย

- ประเมินสมรรถนะทางด้านเศรษฐศาสตร์ของระบบผลิตไฟฟ้าด้วยเซลล์เชือเพลิงแบบอิสระพบว่าระบบฯ ดังกล่าวใช้งบประมาณในการลงทุน 157,000 บาท ค่าสมมูลประจำปีของราคาระบบทั่วโลกซึ่งอายุการใช้งานของระบบ (ALCC) มีค่าเท่ากับ 23,797 บาท โดยระบบฯ มีต้นทุนการผลิตไฟฟ้า (COE) 7.58 บาทต่อ กิโลวัตต์ชั่วโมง ซึ่งหากเทียบกับราคาค่าไฟฟ้าในปัจจุบันที่มีอัตราอยู่ที่ประมาณ 3.5 บาทนั้น พบว่าต้นทุนในการผลิตไฟฟ้าของระบบเซลล์เชือเพลิงแบบอิสระสูงกว่าอัตราค่าไฟฟ้าในปัจจุบันประมาณ 2 เท่า แต่อย่างไรก็ตามระบบผลิตไฟฟ้าด้วยเซลล์เชือเพลิงแบบอิสระก็ยังเป็นที่น่าสนใจสำหรับในอนาคตอันใกล้เนื่องจากแนวโน้มของราคากำลังที่มีลดลงอย่างต่อเนื่องในปัจจุบัน และหากมีการใช้งานที่เพิ่มมากขึ้นจะเกิดการแข่งขันทางด้านราคามีมูลค่าเซลล์แสงอาทิตย์ในปัจจุบัน นอกจากราคาเซลล์เชือเพลิงยังเป็นเทคโนโลยีในการผลิตไฟฟ้าที่ไม่มีการปลดปล่อยก๊าซเรือนกระจก อีกทั้งยังทำงานโดยปราศจากเสียงรบกวน และมีประสิทธิภาพในการเปลี่ยนรูปพลังงานเป็นไฟฟ้าสูงเมื่อเทียบกับเทคโนโลยีพัฒนาหมุนเวียนชนิดอื่นๆ

ข้อเสนอแนะ

1. ควรมีการศึกษาวิจัยถึงความชื้นภายในเมมเบรนเพื่อความถูกต้องมากยิ่งขึ้นของแบบจำลองทางคณิตศาสตร์ของเซลล์เชือเพลิง
2. ควรมีการศึกษาการทำงานของระบบเซลล์เชือเพลิงแบบอิสระในระยะยาวเพื่อพิจารณาการลดลงของสมรรถนะของเซลล์เชือเพลิงในสภาวะการใช้งานจริง

บรรณานุกรม

- [1] Kammen, D. M. (2002). The role of fuel cells in the renewable roadmap to energy independence. Testimony for the United States House Subcommittee on Energy, February 21.
- [2] Stambouli, B. A., and Traversa, E. (2002). Fuel cells, an alternative to standard sources of energy. *Renewable and Sustainable Energy Reviews*, 6, page 297-306.
- [3] Bewag Fuel Cell Innovation Park,
<http://www.innovation-brennstoffzelle.de/e/index.html>
- [4] Erdmann, G. (2003). Future economics of the fuel cell housing market. *International Journal of Hydrogen*, 28, page 685-694.
- [5] US Department of Energy: <http://www.energy.gov>
- [6] Fuel Cell Market Survey: Portable Application, <http://www.fuelcelltoday.com>
- [7] Fuel Cell Market Survey: small stationary, <http://www.fuelcelltoday.com>
- [8] Picture courtesy of NASA, <http://www.fuelcelltoday.com>
- [9] Chatchai Sirisamphanwong, Wattanapong Rakwichian, Sukruedee Sukchai, Nipon Ketjoy. (2010). Fuel Cell Model base on Proton Exchange Membrane (PEM). IIRE International Journal of Renewable Energy. Vol.5 No.2.
- [10] เทอド้ไทย วัฒนธรรม (2552). ต้นแบบเซลล์เชื้อเพลิงแ夸สำหรับใช้งานประจำบ้าน. รายงานวิจัยฉบับสมบูรณ์. ภาควิชาชีวกรรมเคมี มหาวิทยาลัยเกษตรศาสตร์, กรุงเทพมหานคร, ประเทศไทย
- [11] เทอド้ไทย วัฒนธรรม (2552). ต้นแบบเซลล์เชื้อเพลิงแ夸ขนาด 1 กิโลวัตต์. รายงานวิจัยฉบับสมบูรณ์. ภาควิชาชีวกรรมเคมี มหาวิทยาลัยเกษตรศาสตร์, กรุงเทพมหานคร, ประเทศไทย
- [12] มนกต ชาญสำราญ (2551). การสร้างต้นแบบพลังงานเซลล์เชื้อเพลิง [Fuel Cell] ชนิด PEMFC เพื่อนำไปใช้ขับเคลื่อนรถพลังงานไฟฟ้า. รายงานวิจัยฉบับสมบูรณ์, บริษัท คลีนฟูエル อี็นเนอร์ยี เอ็นเตอร์ไพรส์, ปทุมธานี, ประเทศไทย
- [13] พรพิมล เพ็ชร์วัฒนา (2548). ระบบจัดการน้ำในสแต็กของเซลล์เชื้อเพลิงชนิดเมมเบรนແเกเปลี่ยนโปรดอน. วิทยานิพนธ์วิทยาศาสตรมหาบัณฑิต. มหาวิทยาลัยเชียงใหม่

- [14] สายชล ลิทธิพงศ์ (2548). การออกแบบระบบควบคุมการทำงานสำหรับสเต็กเซลล์ เชื้อเพลิงชีนิดเมม
เบรนแลกเปลี่ยนโปรดอน. วิทยานิพนธ์วิศวกรรมศาสตรมหาบัณฑิต. มหาวิทยาลัยเชียงใหม่
- [15] วรารณ์ เทปิน และคณะ (2543). การพัฒนาระบบควบคุมด้วยคอมพิวเตอร์สำหรับระบบผลิตไฟฟ้า
ด้วยเซลล์เชื้อเพลิง. ปริญญาดุษฎี, มหาวิทยาลัยเทคโนโลยีพระจอมเกล้าธนบุรี, ประเทศไทย
- [16] James Larminie and Andrew Dicks. (2003). Fuel cell systems explained
(2nd ed.). N.P.: John Wiley & Sons.
- [17] Jay Pukrushpan, Anna Stefanopoulou and Huei Peng. (2004). Control of fuel cell
power systems. London: Springer-Verlag.



สมรรถนะทางด้านเทคนิคของระบบเซลล์เชื้อเพลิงแบบอิสระ
สุขฤทธิ์ สุขใจ* พัตรชัย ศิริสามพันธุ์วงศ์ รัฐพร เกินเมศรี และ คงฤทธิ์ แม้นศิริ

Technical Performance of Stand Alone Fuel Cell System

Sukruedee Sukchai*, Chatchai Sirisamphanwong, Rattaporn Ngoenmeesri and Kongrit Mansiri

วิทยาลัยพลังงานทดแทน มหาวิทยาลัยนเรศวร

School of renewable energy technology, Naresuan University

*Corresponding author. E-mail: sukruedee@hotmail.com

บทคัดย่อ

การศึกษาวิจัยนี้มีวัตถุประสงค์เพื่อศึกษาสมรรถนะทางด้านเทคนิคของระบบผลิตไฟฟ้าด้วยเซลล์เชื้อเพลิงแบบอิสระ ซึ่งระบบผลิตเซลล์เชื้อเพลิงฯ มีล่วงประกอบหลักประกอบด้วย เซลล์เชื้อเพลิง (Fuel Cell, FC) ขนาด 1,200 วัตต์ เครื่องแปลงกระแสไฟฟ้า (DC/AC inverter) และภาระไฟฟ้าแบบปรับตัวได้ (Variable AC Load) ในงานวิจัยนี้ทำการประเมิน 4 พารามิเตอร์ ได้แก่ ประสิทธิภาพของเซลล์เชื้อเพลิง ประสิทธิภาพของเครื่องแปลงกระแสไฟฟ้า ประสิทธิภาพของระบบฯ และการสูญเสียทางด้านความร้อนของเซลล์เชื้อเพลิง จากผลการศึกษาพบว่า ประสิทธิภาพของเซลล์เชื้อเพลิง ประสิทธิภาพของเครื่องแปลงกระแสไฟฟ้า ประสิทธิภาพของระบบฯ มีค่าสูงสุดเท่ากับร้อยละ 60, ร้อยละ 80 และ ร้อยละ 40 ตามลำดับ ในขณะที่เซลล์เชื้อเพลิงมีการสูญเสียทางด้านความร้อนคิดเป็น 6.7 กิโลวัตต์ชั่วโมงต่อวันหรือคิดเป็นร้อยละ 54.9

คำสำคัญ: สมรรถนะทางด้านเทคนิค เซลล์เชื้อเพลิง ระบบอิสระ

Abstract

The aims of this research were to evaluate the technical performance of standalone fuel cell system. The main component of system consists of 1,200 W fuel cell stack, DC/AC inverter and variable load. There are 4 parameters that were evaluated as follows; the efficiency of fuel cell stack, the efficiency of inverter, the efficiency of system and the thermal loss of fuel cell. From the results, it was found that the efficiency of fuel cell stack, the efficiency of inverter, and the efficiency of system are 60%, 80%, and 40%, respectively. In addition, the thermal loss of fuel cell is 6.7 kWh/day or 54.9%.

Keywords: Technical Performance, Fuel Cell, Standalone system

บทนำ

สภาพอากาศเปลี่ยนแปลง (Climate Change) รุนแรงอย่างต่อเนื่อง ส่งผลให้เกิดความแปรปรวนของสภาพภูมิอากาศทั่วโลก (Richard and Tuckett, 2009) ส่งผลให้เกิดความหาย茫อย่างใหญ่หลวงหลายครั้งในรอบ 10 ปีที่ผ่านมา นอกจากปัญหาสภาวะอากาศเปลี่ยนแปลงแล้ว ปัญหาเหล่งพัล้งงานสำรองจากฟอสซิลที่ลดลงและจะหมดไปในอนาคต ยังเป็นปัญหาหลักของโลกอีกประการหนึ่ง นักวิทยาศาสตร์ทั่วโลกจึงได้มีการศึกษาด้านคว้าและพัฒนาเทคโนโลยีพัล้งงานใหม่ที่เป็นมิตรต่อสิ่งแวดล้อมและหมุนเวียนได้โดยไม่มีวันหมดลื้น เพื่อนำมาใช้ทดแทนเซลล์เชื้อเพลิงจากฟอสซิล

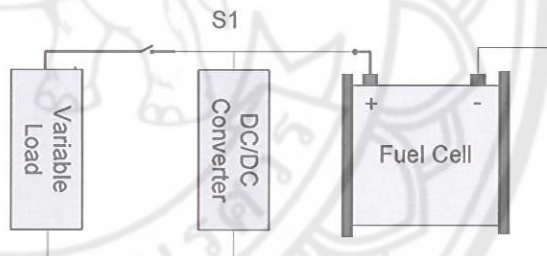
เทคโนโลยีพัล้งงานทดแทนนั้นมีอยู่หลายชนิด การเลือกใช้ต้องมีความเหมาะสมกับสภาพภูมิประเทศ และศักยภาพของพื้นที่ สำหรับประเทศไทยเทคโนโลยีที่มีความเหมาะสมกับศักยภาพมีอยู่หลายเทคโนโลยี ได้แก่ เทคโนโลยีผลิตไฟฟ้าจากพัล้งงานจากแสงอาทิตย์ พัล้งงานลม พัล้งงานน้ำ เป็นต้น ซึ่งเทคโนโลยีที่กล่าวมานั้นมีข้อจำกัดอยู่ 2 ประการ คือ พื้นที่ในการติดตั้งระบบมีขนาดใหญ่ เนื่องจากประสิทธิภาพในการเปลี่ยนรูปพัล้งงานต่ำ และความไม่แน่นอนของแหล่งกำเนิดพัล้งงานซึ่งไม่สามารถกำหนดได้ ดังนั้น จึงแสวงหาเทคโนโลยีอื่นที่มีความเหมาะสมกับ



สภาพพื้นที่มีอยู่อย่างจำกัดในอนาคต เชลล์เชือเพลิงเป็นอีกเทคโนโลยีหนึ่งที่น่าสนใจเนื่องจากเป็นเทคโนโลยีที่มีประสิทธิภาพในการเปลี่ยนรูปพลังงานสูงถึงร้อยละ 90 ตอบสนองต่อการไฟฟ้าได้อย่างรวดเร็ว ทำงานโดยไม่มีการเคลื่อนที่ของอุปกรณ์ (Singh et al., 2012; Scrivano et al., 2009) และสามารถประยุกต์ใช้ได้อย่างหลากหลายเช่น ระบบไฟฟ้าสำหรับพื้นที่ชนบทห่างไกล ในครัวเรือน หรือในอาคารสำนักต่างๆ รวมถึงในโรงงานอุตสาหกรรม ระบบไฟฟ้าสำหรับรถยนต์ไฟฟ้า คอมพิวเตอร์ โทรศัพท์มือถือ วิทยุ หรืออุปกรณ์ไฟฟ้าขนาดเล็กอื่นๆ อุปกรณ์ทางการทหาร เป็นต้น โดยหลายหน่วยงานทั่วโลกให้ความสนใจในการศึกษาการศึกษา เช่น R. Johnson และคณะ (Johnson et.al., 2001) ทดสอบสมรรถนะของเซลล์เชือเพลิงชนิด PEM ขนาด 3 kWe จากการทดสอบพบว่าประสิทธิภาพของเซลล์เชือเพลิงมีค่าร้อยละ 55 (วราภรณ์ เตปิน และคณะ, 2543) ได้พัฒนาโปรแกรมคอมพิวเตอร์สำหรับควบคุมระบบเซลล์เชือเพลิง (นฤกต ชาญสำราญ, 2551) ได้พัฒนาเซลล์เชือเพลิงสำหรับเป็นแหล่งจ่ายไฟฟ้าในการขับเคลื่อนรถไฟฟ้าขนาดเล็ก ดังนั้น ในบทความวิจัยฉบับนี้จะกล่าวถึงการประเมินสมรรถนะทางด้านเทคนิคของระบบเซลล์เชือเพลิงแบบอิสระ

ระบบเชลล์เชื้อเพลิงแบบอิสระ

ระบบผลิตเชลล์เชื้อเพลิงแบบอิสระที่พัฒนาขึ้นสำหรับงานวิจัยนี้มีส่วนประกอบหลักประกอบด้วย เชลล์เชื้อเพลิง (Fuel Cell, FC) ขนาด 1,200 วัตต์ เครื่องแปลงกระแสไฟฟ้า (DC/AC inverter) และการไฟฟ้าแบบปรับค่าได้ (Variable AC Load) ส่วนประกอบหลักของระบบฯ แสดงดังรูปที่ 1



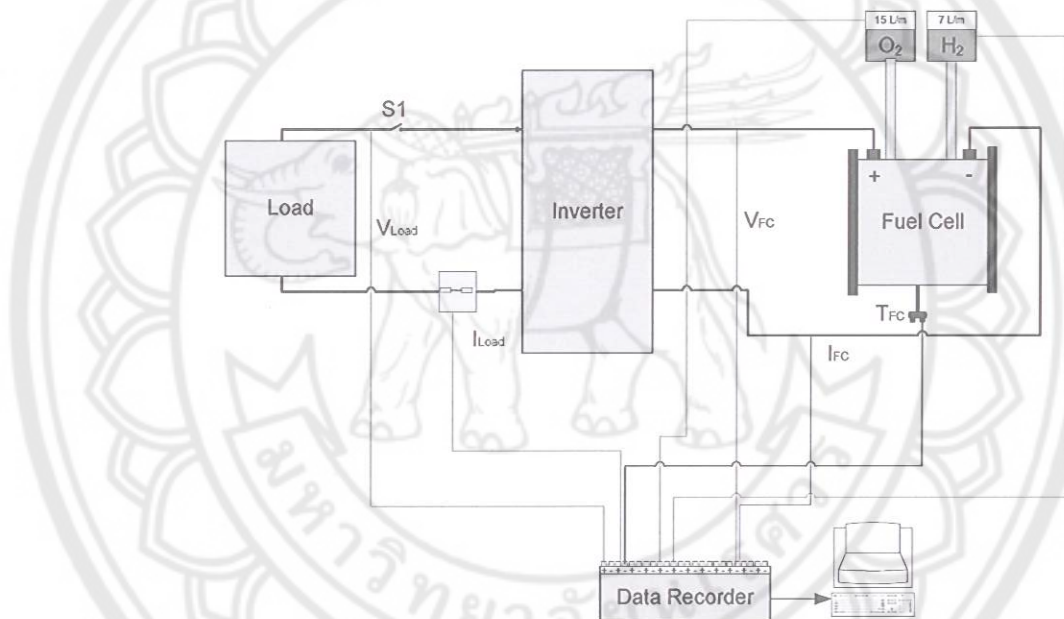
รูปที่ 1 ระบบเซลล์เชื้อเพลิงแบบอิสระ

วิธีการดำเนินการวิจัย

การตรวจวัดและจัดเก็บข้อมูลเพื่อใช้ในการประเมินสมรรถนะทางด้านเทคนิคของระบบเซลล์เชื้อเพลิงแบบอิสระ จำแนกออกเป็น 2 ด้านได้แก่ ด้านไฟฟ้า เช่น แรงดันไฟฟ้าที่เซลล์เชื้อเพลิงผลิตได้ กำลังไฟฟ้าที่เซลล์เชื้อเพลิงผลิตได้ กำลังไฟฟ้าที่จ่ายให้กับไฟฟ้า เป็นต้น และด้านเคมี เช่น ปริมาณไฮโดรเจน ปริมาณออกซิเจน เป็นต้น โดยข้อมูลที่กล่าวมาข้างต้นจะถูกจัดเก็บลงในเครื่องบันทึกข้อมูลอัตโนมัติทุก ๆ 5 นาที (ตารางที่ 1) และดำเนินการติดตั้งอุปกรณ์ที่ใช้สำหรับการตรวจวัด (รูปที่ 2)

ตารางที่ 1 การจัดเก็บข้อมูลและตัวแปรที่ใช้สำหรับการทดสอบ

พารามิเตอร์	สัญลักษณ์	единheit	หน่วย	หมายเหตุ
อุณหภูมิเซลล์เชื้อเพลิง	T_{FC}	5 นาที	°C	Temperature Sensor
แรงดันไฟฟ้าที่เซลล์เชื้อเพลิงผลิตได้	V_{FC}	5 นาที	V	Power Meter
กระแสไฟฟ้าที่เซลล์เชื้อเพลิงผลิตได้	I_{FC}	5 นาที	A	Power Meter
กำลังไฟฟ้าที่เซลล์เชื้อเพลิงผลิตได้	P_{FC}	5 นาที	A	Power Meter
แรงดันไฟฟ้าที่จ่ายให้กับกระแสไฟฟ้า	V_{Load}	5 นาที	V	Power Meter
กระแสไฟฟ้าที่จ่ายให้กับกระแสไฟฟ้า	I_{Load}	5 นาที	A	Power Meter
กำลังไฟฟ้าที่จ่ายให้กับกระแสไฟฟ้า	P_{Load}	5 นาที	A	Power Meter
ปริมาณไออกซิเจน	V_{H_2}	5 นาที	L/min	Flow meter
ปริมาณออกซิเจน	V_{O_2}	5 นาที	L/min	Flow meter



รูปที่ 2 การติดตั้งเครื่องมือวัดสำหรับระบบเซลล์เชื้อเพลิงแบบอิสระ

การประเมินสมรรถนะของระบบฯ

ในการวิเคราะห์สมรรถนะทางด้านเทคนิคของระบบเซลล์เชื้อเพลิงแบบอิสระ พารามิเตอร์ที่ทำการวิเคราะห์ได้แก่ ประสิทธิภาพของเซลล์เชื้อเพลิง ประสิทธิภาพของเครื่องแปลงกระแสไฟฟ้า ประสิทธิภาพของระบบฯ และการหาการสูญเสียพลังงานของเซลล์เชื้อเพลิงในรูปความร้อน

การหาค่าประสิทธิภาพของเซลล์เชื้อเพลิง, η_{FC} (Lamminie et al., 2003)

ประสิทธิภาพของเซลล์เชื้อเพลิง หาได้จากกฎข้อที่หนึ่งของฟาราเดย์ แสดงดังสมการที่ 1

$$\eta_{FC} = \mu_F \frac{V_C}{1.48} \times 100 \quad (1)$$

เมื่อ

η_{FC} คือ ประสิทธิภาพของเซลล์เชื้อเพลิง (%)

μ_F	คือ การใช้งานของเซลล์เชือเพลิงไฮโดรเจน (0.95)
V_C	คือ แรงดันไฟฟ้าของเซลล์เชือเพลิง 1 เซลล์ (V)

การหาประสิทธิภาพเครื่องแปลงกระแสไฟฟ้า η_{INV}

ประสิทธิภาพของเครื่องแปลงกระแสไฟฟ้าสามารถหาได้จากสัดส่วนระหว่างกำลังไฟฟ้าที่จ่ายให้กับกระแสไฟฟ้าต่อกำลังไฟฟ้าที่ผลิตได้จากเซลล์เชือเพลิง แสดงดังสมการที่ 2

$$\eta_{INV} = \frac{I_{Load} \times V_{Load} \times \cos\varphi}{I_{FC} \times V_{FC}} \times 100 \quad (2)$$

เมื่อ

I_{Load}	คือ กระแสไฟฟ้าที่จ่ายให้แก่ภาระไฟฟ้า (A)
I_{FC}	กระแสไฟฟ้าที่ผลิตได้จากเซลล์เชือเพลิง (A)
V_{Load}	แรงดันไฟฟ้าที่จ่ายให้แก่ภาระไฟฟ้า (A)
V_{FC}	แรงดันไฟฟ้าที่ผลิตได้จากเซลล์เชือเพลิง (A)

การหาประสิทธิภาพของระบบฯ, η_{SYS}

ประสิทธิภาพของระบบเซลล์เชือเพลิงแบบอิสระสามารถหาได้จากสมการที่ 3

$$\eta_{SYS} = \eta_{FC} \times \eta_{INV} \quad (3)$$

การหาการสูญเสียพลังงานด้านความร้อนของเซลล์เชือเพลิง, (Thermal Loss; E_{loss}) [4]

การสูญเสียพลังงานทางด้านความร้อนของเซลล์เชือเพลิงสามารถหาได้จากสมการที่ 4

$$E_{loss} = P_{FC} \left(\frac{1.25}{V_C} - 1 \right) \cdot t \quad (4)$$

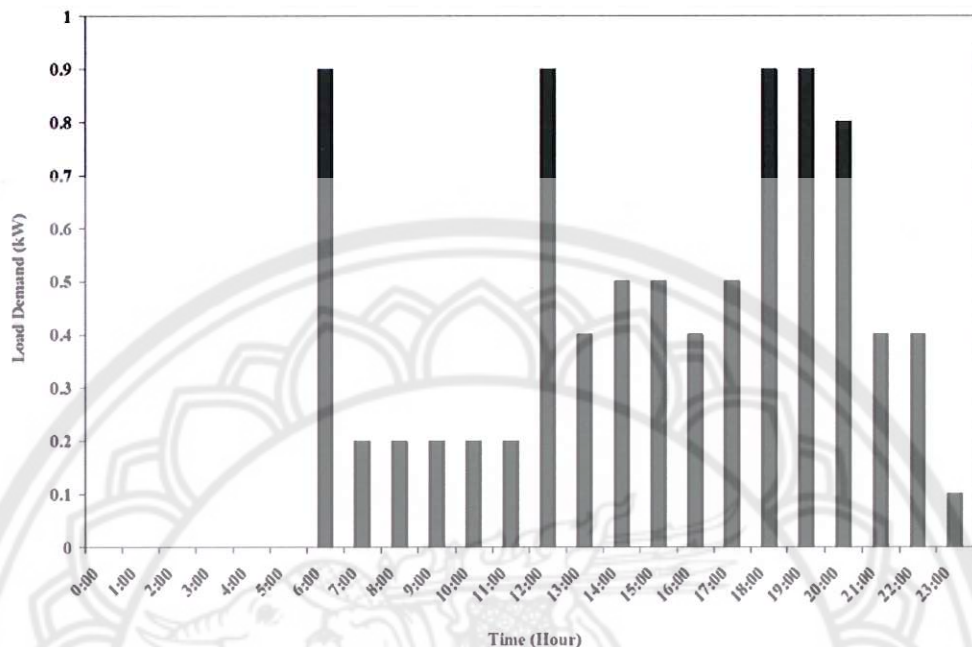
เมื่อ

E_{loss}	คือ การสูญเสียพลังงานทางด้านความร้อนของเซลล์เชือเพลิง (Wh)
P_{FC}	กำลังไฟฟ้าที่เซลล์เชือเพลิงผลิตได้ (W)
t	เวลา (hr)

ผลการประเมินสมรรถนะทางด้านเทคนิคของระบบฯ

กระแสไฟฟ้าสำหรับการศึกษาวิจัย

การใช้กำลังไฟฟ้าในแต่ละพื้นที่นั้นมีการใช้ที่ค่อนข้างแตกต่างกันทั้งนี้ ขึ้นอยู่กับหลายปัจจัย ได้แก่ สภาพภูมิอากาศ ราคาค่าไฟฟ้า รวมไปถึงการนำไปใช้งานในแต่ละรูปแบบ เช่น การใช้งานเพื่อเป็นแหล่งจ่ายไฟฟ้าให้กับสถานีสื่อสาร การใช้งานสำหรับบ้านเรือน หรือการใช้งานสำหรับเครื่องเตือนภัยสีนามิ เป็นต้น สำหรับงานวิจัยนี้ได้จำลองสภาพการใช้ไฟฟ้าสำหรับพื้นที่ไม่มีไฟฟ้าสำหรับที่พักอาศัย (ดังรูปที่ 3)

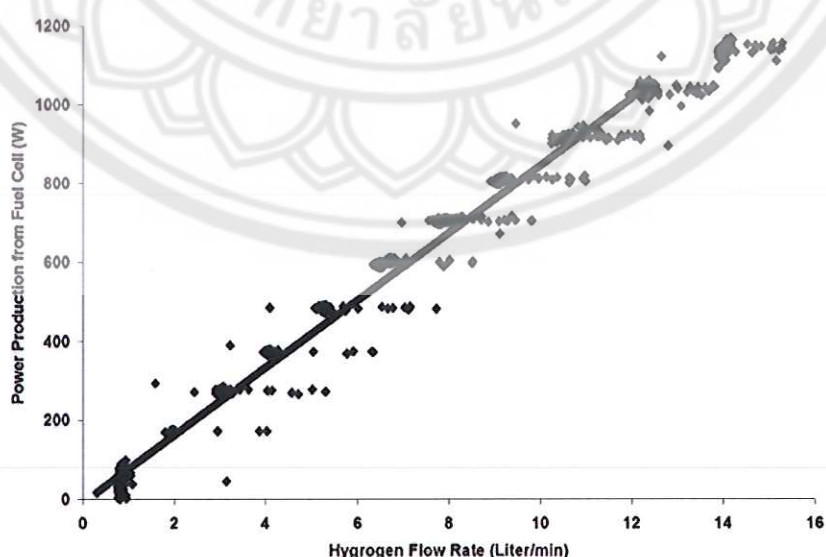


รูปที่ 3 การจำลองสภาพของการไฟฟ้า

จากรูปที่ 3 จะเห็นได้ว่าความต้องการไฟฟ้าสูงสุดของวันมีค่าเท่ากับ 0.9 กิโลวัตต์ ในขณะที่ความต้องการไฟฟ้าต่ำสุดนั้นเท่ากับ 0.1 กิโลวัตต์ โดยความต้องการพลังงานไฟฟ้าต่อวันมีค่าเท่ากับ 8.6 กิโลวัตต์ชั่วโมงต่อวัน หรือคิดเป็น 3,139 กิโลวัตต์ชั่วโมงต่อปี

ความสัมพันธ์ระหว่างปริมาณการใช้ไฮโดรเจนกับกำลังไฟฟ้าที่ผลิตได้จากเซลล์เชื้อเพลิง

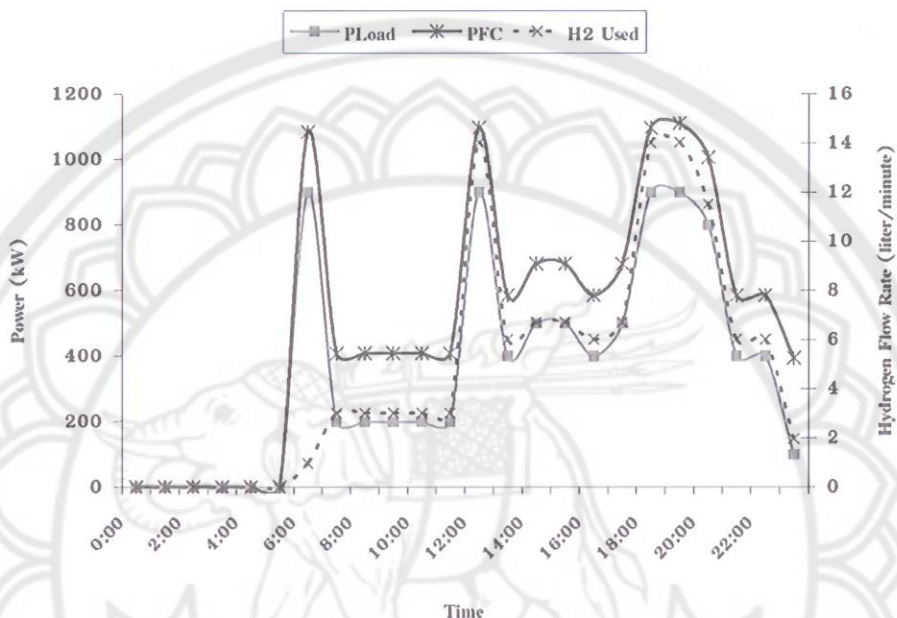
จากผลการทดลองพบว่าความสัมพันธ์ระหว่างกำลังไฟฟ้าที่ผลิตได้จากเซลล์เชื้อเพลิงแปรผันตรงกับปริมาณการใช้ไฮโดรเจนแสดงดังรูปที่ 4



รูปที่ 4 ความสัมพันธ์ระหว่างปริมาณการใช้ไฮโดรเจนกับกำลังไฟฟ้าที่ผลิตได้จากเซลล์เชื้อเพลิง

ความสัมพันธ์ระหว่างกำลังไฟฟ้าที่ผลิตได้จากเซลล์เชื้อเพลิง กำลังไฟฟ้าที่จ่ายให้ภาระไฟฟ้าและปริมาณการใช้ไฮโดรเจน

ความสัมพันธ์ระหว่างกำลังไฟฟ้าที่ผลิตได้จากเซลล์เชื้อเพลิง กำลังไฟฟ้าที่จ่ายให้ภาระไฟฟ้าและปริมาณการใช้ไฮโดรเจน แสดงดังรูปที่ 5

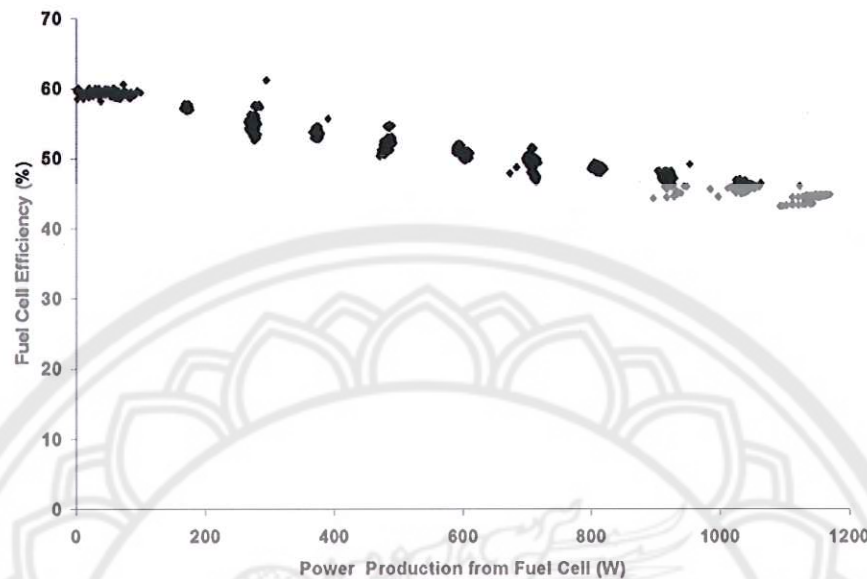


รูปที่ 5 ความสัมพันธ์ระหว่างกำลังไฟฟ้าที่ผลิตได้จากเซลล์เชื้อเพลิง กำลังไฟฟ้าที่จ่ายให้ภาระไฟฟ้าและปริมาณการใช้ไฮโดรเจน

จากรูปที่ 5 จะเห็นได้ว่าปริมาณไฟฟ้าที่ผลิตได้จากเซลล์เชื้อเพลิงนั้นจะมีค่าสูงสุดที่ 1,150 วัตต์ เมื่อเวลาเป็นไฟฟ้ากระแสสลับเพื่อจ่ายให้กับภาระไฟฟ้าที่ 900 วัตต์ ซึ่งมีการใช้ปริมาณไฮโดรเจนเท่ากับ 14 ลิตรต่อนาที โดยตลอดทั้งวันพบว่าเซลล์เชื้อเพลิงมีการผลิตพลังงานไฟฟ้าทั้งสิ้น 12.2 กิโลวัตต์ชั่วโมงต่อวัน เพื่อจ่ายให้กับภาระไฟฟ้า 8.6 กิโลวัตต์ชั่วโมงต่อวัน จะเห็นได้ว่าในการเปลี่ยนรูปพลังงานจากไฟฟ้ากระแสตรงที่เซลล์เชื้อเพลิงผลิตได้เป็นไฟฟ้ากระแสสลับในการจ่ายให้กับภาระไฟฟ้านั้นมีการสูญเสียพลังงาน 3.6 กิโลวัตต์ชั่วโมงต่อวัน

ประสิทธิภาพของเซลล์เชื้อเพลิง

ความสัมพันธ์ระหว่างค่ากำลังไฟฟ้าที่ผลิตได้จากเซลล์เชื้อเพลิงกับประสิทธิภาพของเซลล์เชื้อเพลิงแสดงดังรูปที่ 6

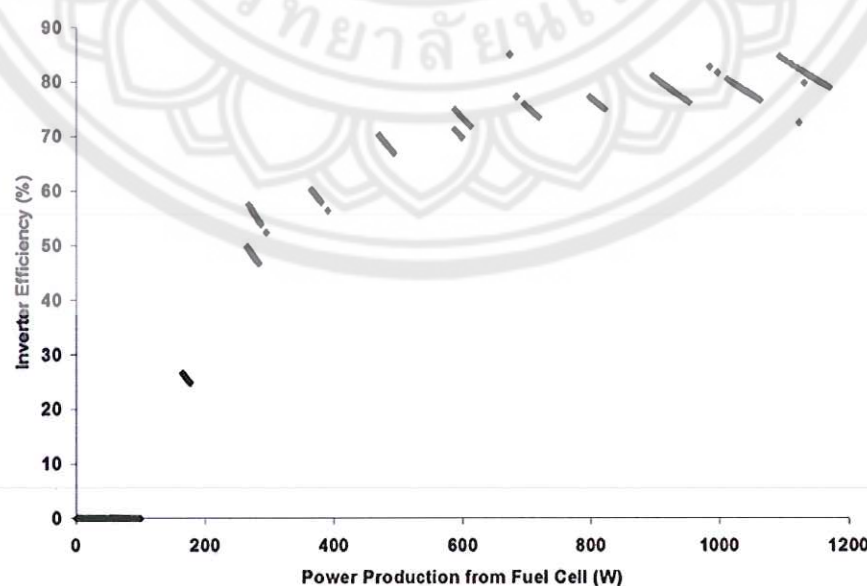


รูปที่ 6 ความสัมพันธ์ระหว่างค่ากำลังไฟฟ้าที่ผลิตได้จากเซลล์เชื้อเพลิงกับประสิทธิภาพของเซลล์เชื้อเพลิง

จากรูปที่ 6 แสดงให้เห็นว่าเซลล์เชื้อเพลิงมีประสิทธิภาพสูงที่สุดคิดเป็นร้อยละ 60 ณ สภาวะแรงดันไฟฟ้าງวด เปิด หรือไม่มีกระแสไฟฟ้า ขณะที่เมื่อเซลล์เชื้อเพลิงจ่ายไฟฟ้าที่กำลังไฟฟ้าสูงสุดเท่ากับ 1,200 วัตต์นั้นจะมีประสิทธิภาพ ต่ำที่สุดเท่ากับร้อยละ 45 เนื่องมาจากการสูญเสียภายในของเซลล์เชื้อเพลิงในส่วนของ Concentration loss ในการทำปฏิกิริยาในเซลล์เชื้อเพลิงนั้นเอง (James Larminie and Andrew Dicks, 2003)

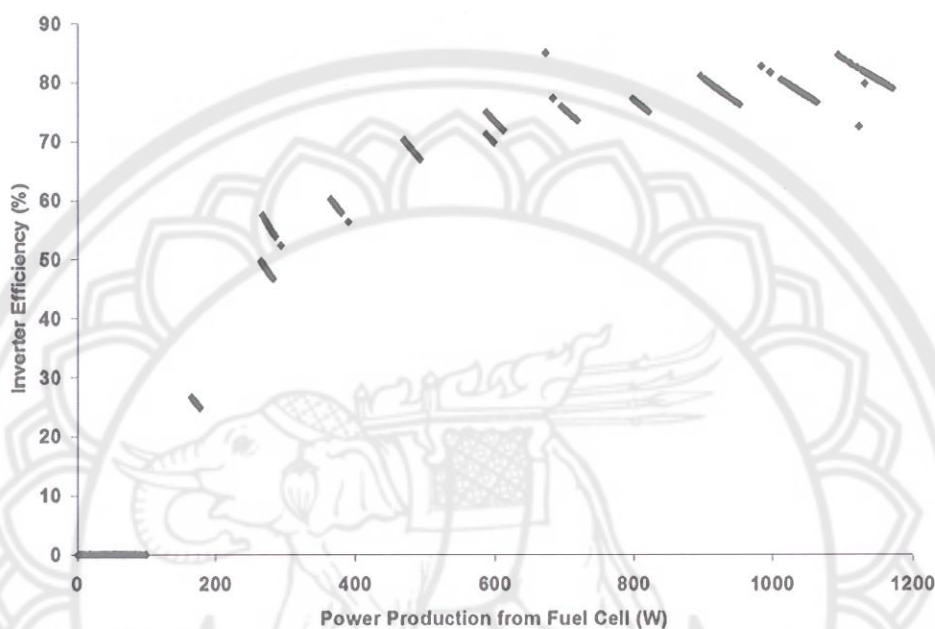
ประสิทธิภาพของเครื่องแปลงกระแสไฟฟ้า

ความสัมพันธ์ระหว่างค่ากำลังไฟฟ้าที่ผลิตได้จากเซลล์เชื้อเพลิงกับประสิทธิภาพของเครื่องแปลงกระแสไฟฟ้า แสดงดังรูปที่ 7



รูปที่ 7 ความสัมพันธ์ระหว่างค่ากำลังไฟฟ้าที่ผลิตได้จากเซลล์เชื้อเพลิงกับประสิทธิภาพของเครื่องแปลงกระแสไฟฟ้า

จากรูปที่ 7 แสดงให้เห็นว่าประสิทธิภาพของเครื่องแปลงกระแสไฟฟ้าสูงที่สุดคิดเป็นร้อยละ 80 เมื่อเซลล์เชือเพลิงจ่ายไฟฟ้าที่กำลังไฟฟ้าสูงสุดเท่ากับ 1,200 วัตต์นั้น ในขณะที่ประสิทธิภาพของเครื่องแปลงกระแสไฟฟ้าจะมีประสิทธิภาพมากกว่าร้อยละ 70 เมื่อเซลล์เชือเพลิงจ่ายไฟฟ้าที่กำลังไฟฟ้าสูงกว่า 500 วัตต์



รูปที่ 8 ความสัมพันธ์ระหว่างค่ากำลังไฟฟ้าที่ผลิตได้จากเซลล์เชือเพลิงกับประสิทธิภาพของระบบฯ

จากรูปที่ 8 แสดงให้เห็นว่าประสิทธิภาพของระบบสูงที่สุดคิดเป็นร้อยละ 40 เมื่อเซลล์เชือเพลิงจ่ายไฟฟ้าที่กำลังไฟฟ้าเท่ากับ 600 วัตต์ และเมื่อกำลังไฟฟ้าที่ผลิตได้จากเซลล์เชือเพลิงสูงขึ้นจนถึง 1,200 วัตต์นั้นจะเห็นได้ว่าประสิทธิภาพโดยรวมของระบบนั้นจะลดลงตามลำดับอันเนื่องมาจากการสูญเสียในส่วนของ Concentration loss ที่กล่าวมาข้างต้นนั้นเอง

การสูญเสียพลังงานในรูปของความร้อนของเซลล์เชือเพลิง, (Energy Loss; E_{loss})

ตารางที่ 2 แสดงการสูญเสียพลังงานในรูปของความร้อนของเซลล์เชือเพลิงนั้นมีค่าเฉลี่ยอยู่ที่ 6.7 กิโลวัตต์ชั่วโมงต่อวัน ที่การผลิตพลังงานไฟฟ้าของเซลล์เชือเพลิง 12.2 กิโลวัตต์ชั่วโมงต่อวัน ซึ่งคิดเป็นร้อยละ 54.9

ตารางที่ 2 การสูญเสียพลังงานในรูปของความร้อนของเซลล์เชือเพลิง

	Energy Production	Energy Loss	Energy Loss (%)
Energy Loss	12.2 kWh/day	6.7 kWh/day	54.9 %

สรุปผลการทดลอง

การศึกษาวิจัยการการประเมินสมรรถนะทางด้านเทคนิคของระบบเซลล์เชือเพลิงแบบอิสระพบว่า ความต้องการไฟฟ้าสูงสุดของวันมีค่าเท่ากับ 900 วัตต์ ในขณะที่ความต้องการไฟฟ้าต่ำสุดนั้นเท่ากับ 100 วัตต์ โดยค่าความต้องการพลังงานไฟฟ้าต่อวันมีค่าเท่ากับ 8.6 กิโลวัตต์ชั่วโมงต่อวัน หรือคิดเป็น 3,139 กิโลวัตต์ชั่วโมงต่อปี โดยระบบเซลล์

เชื้อเพลิงจะมีการใช้ปริมาณไฮโดรเจนเท่ากับ 14 ลิตรต่อนาทีเพื่อใช้การผลิตไฟฟ้าและจ่ายให้กับความต้องการไฟฟ้าสูงสุด 900 วัตต์ โดยจากการศึกษาพบว่าเซลล์เชื้อเพลิงมีการสูญเสียพลังงานในรูปความร้อนคิดเป็นร้อยละ 54.9

ประสิทธิภาพของระบบสูงที่สุดคิดเป็นร้อยละ 40 เมื่อเซลล์เชื้อเพลิงจ่ายไฟฟ้าที่กำลังไฟฟ้าเท่ากับ 600 วัตต์ และเมื่อกำลังไฟฟ้าที่ผลิตได้จากเซลล์เชื้อเพลิงสูงขึ้นจนถึง 1,200 วัตต์นั้นจะเห็นได้ว่าประสิทธิภาพโดยรวมของระบบนั้นจะลดลงตามลำดับ จะเห็นได้ว่าหากต้องการที่จะเพิ่มสมรรถนะของระบบเซลล์เชื้อเพลิงนั้นควรจะมีการใช้งานเซลล์เชื้อเพลิงที่ร้อยละ 50 ของกำลังไฟฟ้าสูงสุดจะทำให้ได้ประสิทธิภาพของระบบสูงที่สุด

กิตติกรรมประกาศ

คณะกรรมการวิจัยฯขอขอบคุณ สำนักงานคณะกรรมการวิจัยแห่งชาติที่อนุมัติเงินอุดหนุนการวิจัย พัฒนา สาขาวิชาชีวิทยาศาสตร์กายภาพและคณิตศาสตร์ งบประมาณแผ่นดินประจำปี 2557 ขอขอบคุณมหาวิทยาลัย นเรศวรที่สนับสนุนงานวิจัยอย่างต่อเนื่องมาโดยตลอด และขอขอบคุณคณาจารย์และเจ้าหน้าที่ของวิทยาลัยพลังงาน ทุกท่านทุกท่าน ที่ให้การช่วยเหลือจนทำให้งานวิจัยสำเร็จลุล่วงด้วยดี

เอกสารอ้างอิง

- นรกต ชาญสำราญ. (2551). การสร้างต้นแบบพลังงานเซลล์เชื้อเพลิง [Fuel Cell] ชนิด PEMFC เพื่อนำไปใช้ขับเคลื่อน รถพลังงานไฟฟ้า. รายงานวิจัยฉบับสมบูรณ์. ปัฐมนิเทศ: บริษัท คลีนฟูเอล อี็นเนอร์ยี อี็นเตอร์พ্রีส.
- วรรณรัตน์ เตปิน และคณะ. (2543). การพัฒนาระบบควบคุมด้วยคอมพิวเตอร์สำหรับระบบผลิตไฟฟ้าด้วยเซลล์ เชื้อเพลิง. ปริญญาโทพนธ์, มหาวิทยาลัยเทคโนโลยีพระจอมเกล้าธนบุรี.
- S.N.Singh, Preeta John and Navneet Prabhakar. (2012). Technical feasibility of photovoltaic fuel cell: a model of green home power supply for rural India. International Journal of Emerging Trends & Technology in Computer Science (IJETTCS), 1(2), 216–220.
- G. Scrivano*, A. Piacentino, F. Cardona. (2009). Experimental characterization of PEM fuel cells by micro- models for the prediction of on-site performance. Renewable Energy Journal, 34(2009), 634–639.
- Richard P and Tuckett. (2009). Chapter 1 – The Role of Atmospheric Gases in Global Warming. Climate Change, 3–19.
- James Larminie and Andrew Dicks. (2003). Fuel cell systems explained (2nd ed.). N.P.: John Wiley & Sons.
- R. Johnson, C. Morgan, et.al. (2001). Performance of a proton exchange membrane fuel cell stack, Institute of Northern Engineering, University of Alaska Fairbanks Energy Center.
- Tingting Guan, Per Alvfors, Goran Lindbergh. (2014). Investigation of the prospect of energy self-sufficiency and technical performance of an integrated PEMFC (proton exchange membrane fuel cell), dairy farm and biogas plant system. Applied Energy Journal, xxx.
- Han Xu, Zheng Dang, Bo-Feng Bai. (2013). Analysis of a 1 kW residential combined heating and power system based on solid oxide fuel cell. Applied Thermal Engineering Journal, (50), 1101–1110.
- Lúcia Bollini Braga, et.al. (2014). Comparative analysis between a PEM fuel cell and an internal combustion engine driving an electricity generator: Technical, economical and ecological aspects. Applied Thermal Engineering Journal, (63), 354–361.



เลขทะเบียน 113

หนังสืออินย้อมการเผยแพร่ผลงานทางวิชาการบนเว็บไซต์
ฐานข้อมูล NU Digital Repository (<http://obj.lib.nu.ac.th/media/>)
สำนักหอสมุด มหาวิทยาลัยนเรศวร

ตามที่ข้าพเจ้า ดร.สุขฤดี สุขใจ (วิทยาลัยพลังงานทดแทน) ได้ส่งผลงานทางวิชาการการรายงาน
การวิจัย (เรื่อง) รายงานวิจัยฉบับสมบูรณ์การประเมินสมรรถนะทางด้านเทคนิคและเศรษฐศาสตร์ของระบบ
ผลิตไฟฟ้าด้วยเซลล์เชื้อเพลิงแบบอิสระ

ปีที่พิมพ์ 2558

ข้าพเจ้าขอรับรองว่า ผลงานทางวิชาการเป็นลิขสิทธิ์ของข้าพเจ้า ดร.สุขฤดี สุขใจ
(ผู้วิจัยร่วม) และท่านอื่น ๆ เป็นเจ้าของลิขสิทธิ์ร่วม และเพื่อให้ผลงานทางวิชาการของข้าพเจ้าเป็น
ประโยชน์ต่อการศึกษาและสาธารณะ จึงอนุญาตให้เผยแพร่ผลงาน ดังนี้

- อนุญาตให้เผยแพร่
 ไม่อนุญาตให้เผยแพร่ เนื่องจาก.....

ลงชื่อ 

(.....๐๙.๗๖๘.๗๔๖.....)

วันที่ 30 ๐๙.๖๘.

หมายเหตุ ลิขสิทธิ์ใดๆ ที่ปรากฏอยู่ในผลงานนี้เป็นความรับผิดชอบของเจ้าของผลงาน ไม่ใช่ของสำนักหอสมุด